



ผลของคลื่นอัลตร้าโซนิกและรังสีอัลตร้าไวโอดิเลตต่อปริมาณสารประกอบ
พอลิฟินอลและสมบัติต้านอนุมูลอิสระจากสารสกัดกล้วยข้าวพันธุ์ญี่ปุ่นทัย 1



วิทยานิพนธ์นี้เป็นส่วนหนึ่งของความสนใจของการศึกษาตามหลักสูตร
ปริญญาวิทยาศาสตรมหาบัณฑิต สาขาวิชาวิทยาศาสตร์และเทคโนโลยีการอาหาร

บัณฑิตวิทยาลัย มหาวิทยาลัยแม่โจ้

พ.ศ. 2557



ในรับรองวิทยานิพนธ์
บัณฑิตวิทยาลัย มหาวิทยาลัยแม่โจ้
ปริญญาวิทยาศาสตร์บัณฑิต สาขาวิชาชีวศาสตร์และเทคโนโลยีการอาหาร

ชื่อเรื่อง

ผลของคลื่นอัลตราโซนิกและรังสีอัลตราไวโอดต่อปริมาณสารประกอบ
พอลิฟินอลและสารบัตต้านอนุมูลอิสระจากสารสกัดกล้าข้าวพันธุ์สูงทัย 1

โดย

นัตรชฎา แก้วเมืองนา

พิจารณาเห็นชอบโดย

อาจารย์ที่ปรึกษาหลัก

(ผู้ช่วยศาสตราจารย์ ดร.สุนยา พิมพ์ไถ)
วันที่ ๕ เดือน ก.ย. พ.ศ. ๕๗

(รองศาสตราจารย์ ดร.สมเดช ศรีชัยรัตนกุล)
วันที่ ๕ เดือน ก.ย. พ.ศ. ๕๙

อาจารย์ที่ปรึกษาร่วม

(ผู้ช่วยศาสตราจารย์ ดร.สมเกียรติ จตุรงค์สิริโนลีกุล)
วันที่ ๕ เดือน ก.ย. พ.ศ. ๕๗

ประธานอาจารย์ประจำหลักสูตร

(รองศาสตราจารย์ ดร.วิจิตร แดงปรง)
วันที่ ๕ เดือน ก.ย. พ.ศ. ๕๗

บัณฑิตวิทยาลัยรับรองแล้ว

(ผู้ช่วยศาสตราจารย์ ดร.ชาตุพงษ์ วาฤทธิ์)
คณบดีบัณฑิตวิทยาลัย
วันที่ ๘ เดือน ต. พ.ศ. ๕๗

ชื่อเรื่อง	ผลของคลื่นอัลตร้าโซนิกและรังสีอัลตร้าไวโอลেตต่อปริมาณสารประกอบพอลิฟีนอลและสมบัติด้านอนุมูลอิสระจากสารสกัดกล้าข้าวพันธุ์สูงทัย 1
ชื่อผู้เขียน	นางสาวฉัตรชฎา แก้วเมืองมา
ชื่อปริญญา	วิทยาศาสตรมหาบัณฑิต สาขาวิชาชีวเคมีและเทคโนโลยีอาหาร
อาจารย์ที่ปรึกษาหลัก	ผู้ช่วยศาสตราจารย์ ดร.สุนทร พิมพ์พิไล

บทคัดย่อ

กล้าข้าวสอดมีสมบัติด้านอนุมูลอิสระของสารประกอบพอลิฟีนอลต่างๆ และสารอาหารที่มีคุณค่าทางโภชนาการ แต่คุณค่าเหล่านี้มักสูญเสียไปในระหว่างการเก็บรักษา การคงไว้หรือทำให้เกิดการสูญเสียน้อยที่สุดทั้งหนึ่งคือการแปรรูปให้อยู่ในรูปของสารสกัด การนำเทคโนโลยีคลื่นอัลตร้าโซนิกและรังสีอัลตร้าไวโอลেตร่วมกับตัวทำละลายที่อุณหภูมิต่างๆ ใน การสกัดเป็นแนวทางที่คาดว่าจะสามารถเพิ่มประสิทธิภาพการสกัดสารสกัดจากกล้าข้าวได้ โดยกล้าข้าวพันธุ์สูงทัย 1 ได้ถูกเลือกให้เป็นวัตถุนิยมสำหรับการศึกษานี้ จากการศึกษาพบว่า การผลิตสารสกัดด้วยคลื่นอัลตร้าโซนิกร่วมกับอุ่น 95% ส่งผลต่อสมบัติการด้านอนุมูลอิสระ ปริมาณสารประกอบพอลิฟีนอล และปริมาณคลอโรฟิลล์มากกว่าการสกัดด้วยวิธีแบบเบย์ร่วมกับการใช้ตัวทำละลายอื่นๆ ($p<0.05$) ในการศึกษาความถี่ที่เหมาะสมของคลื่นอัลตร้าโซนิกต่อการสกัดพบว่า คลื่นความถี่ที่ 28kHz หรือ 45kHz ร่วมกับอุ่น 95% ส่งผลต่อสมบัติการด้านอนุมูลอิสระมากกว่าคลื่นความถี่ที่ 100kHz ($p<0.05$) จากการศึกษาผลของอุณหภูมิและเวลาที่ใช้ในการสกัดพบว่า การสกัดที่อุณหภูมิ 98 องศาเซลเซียส เป็นเวลา 120 นาที โดยการใช้คลื่นอัลตร้าโซนิกช่วยในการสกัดเป็นสภาวะที่เหมาะสมต่อการสกัด อย่างไรก็ตามการให้รังสีอัลตร้าไวโอลেตแก่กล้าข้าวสอด ก่อนการสกัดมีผลให้สมบัติการด้านอนุมูลอิสระ ปริมาณสารประกอบพอลิฟีนอล รวมทั้งปริมาณคลอโรฟิลล์ในสารสกัดมีแนวโน้มลดลงเมื่อระยะเวลาการให้รังสีอัลตร้าไวโอลেตเพิ่มขึ้น สารสกัดที่ได้จากการสกัดข้างต้นได้ถูกนำมาตรวจวิเคราะห์หาชนิดของสารประกอบในกลุ่มฟีนอล โดยใช้เทคนิค HPLC ซึ่งพบว่ามีสารประกอบในกลุ่มคาเทชินเป็นองค์ประกอบโดยเฉพาะอย่างยิ่ง สาร Epicatechin (EC) สภาวะการสกัดที่ดีที่สุดสำหรับสมบัติด้านอนุมูลอิสระนี้จะเป็นพื้นฐานในการผลิตสารสกัดจากกล้าข้าวสอดต่อไป

Title	Effects of Ultrasonic Waves and Ultraviolet Radiation on Polyphenol Contents and Antioxidant Properties from Rice Seedling Extracts (var. Sukhothai 1)
Author	Miss Chatchada Kaewmuangma
Degree of	Master of Science in Food Science and Technology
Advisory Committee Chairperson	Assistant Professor Suthaya Phimphilai, Ph. D.

ABSTRACT

Fresh rice seedlings contain antioxidant characteristics mainly from phenolic compounds of various nutrients. However, those benefits decrease during storage. In this study that aimed to maintain or minimize the loss, rice seedlings were preserved in an extract from ultrasonic waves and ultraviolet radiation under solvents which were expected to enhance extraction yields from rice seedlings. The rice seedlings (var. Sukhothai 1) were chosen as raw material for this study. Results showed that ultrasonic wave extraction in 95% ethanol increased antioxidant properties, polyphenol contents and chlorophyll contents in comparison to shaking ($p<0.05$). In addition, ultrasonic waves at frequencies of 28kHz and 45kHz with 95% ethanol resulted in higher antioxidant properties over 100kHz ($p<0.05$). Ultrasound-assisted extraction at 98°C for 120 minutes was found to be an optimum condition for extraction. However, irradiation of rice seedlings of ultraviolet rays before extraction tended to lower antioxidant properties, polyphenol contents and chlorophyll contents. The rice seedling extracts were then analyzed for types of phenolic compounds using HPLC. Catechins, more specifically epicatechin (EC), were identified. The optimum extraction conditions for the highest antioxidant characteristic could be used in further scale-up process for fresh rice seedling extraction.

กิตติกรรมประกาศ

ข้าพเจ้าขอทราบขอบพระคุณ ผู้ช่วยศาสตราจารย์ ดร.สุรยา พิมพ์พิไล ประธานกรรมการที่ปรึกษา ที่กรุณาให้ความรู้ คำปรึกษา แนะนำ และช่วยแก้ไขปัญหาต่างๆ ในระหว่างการทำวิจัยครั้งนี้ ตลอดจนการช่วยตรวจสอบแก้ไขงานทั้งงานวิจัยและเรื่องสมบูรณ์

ขอทราบขอบพระคุณ รองศาสตราจารย์ ดร.สมเดช ศรีชัยรัตนกุล และผู้ช่วยศาสตราจารย์ ดร.สมเกียรติ จตุรงค์ถ้าเดิศ อาจารย์ที่ปรึกษา ที่ได้ให้คำปรึกษาและแนะนำในการทำวิจัย ตลอดจนช่วยตรวจสอบแก้ไขงานวิจัยให้มีความสมบูรณ์มากยิ่งขึ้น

ขอขอบคุณคณาจารย์สาขาวิชาภาษาศาสตร์และเทคโนโลยีอาหาร และสาขาวิชาวิศวกรรมอาหาร คณะวิศวกรรมและอุตสาหกรรมเกษตร มหาวิทยาลัยแม่โจ้ ตลอดจนภาควิชาชีวเคมี คณะแพทยศาสตร์ มหาวิทยาลัยเชียงใหม่ทุกท่าน ที่อ่านความสะવกด้านสถานที่วัสดุอุปกรณ์ และเครื่องมือในการดำเนินการทดลอง ขอขอบคุณบริษัทข้าวธรรมชาติ จำกัด จังหวัดสุโขทัย ที่ช่วยสนับสนุนทุนการศึกษาและวัสดุอุปกรณ์ในการทำวิจัยครั้งนี้จนสำเร็จลุล่วงไปได้ด้วยดี

ขอทราบขอบพระคุณ คุณแม่ศรีวรรณ เตปีตตา คุณป้ากันยา ใจกันธิยะ รวมถึงบุคคลในครอบครัวข้าพเจ้าที่ได้ส่งเสริมสนับสนุนทุนการศึกษา ตลอดจนให้ความช่วยเหลือที่ดีเสมอมา และขอขอบคุณพี่ๆ เพื่อนๆ น้องๆ ทุกคนในสาขาวิชาภาษาศาสตร์และเทคโนโลยีอาหาร คณะวิศวกรรมและอุตสาหกรรมเกษตร มหาวิทยาลัยแม่โจ้ ที่ให้ความช่วยเหลือ และเป็นกำลังใจที่ดีมาตลอดการศึกษาในระดับบัณฑิตศึกษา

ฉัตรชฎา แก้วเมืองมา
กันยายน 2557

สารบัญ

	หน้า
บทคัดย่อ	(3)
ABSTRACT	(4)
กิตติกรรมประกาศ	(5)
สารบัญ	(6)
สารบัญตาราง	(8)
สารบัญภาพ	(9)
สารบัญภาพผนวກ	(11)
บทที่ 1 บทนำ	1
ที่มาและความสำคัญของปัญหา	1
วัตถุประสงค์ของการวิจัย	3
ประโยชน์ที่คาดว่าจะได้รับ	3
บทที่ 2 การตรวจเอกสาร	4
ต้นข่าว	4
กระบวนการออกของเม็ดพีช	4
คุณค่าของกล้ามข้าว	6
อนุมูลอิสระ	12
การเกิดอนุมูลอิสระ	13
สารต้านอนุมูลอิสระ	15
ประเภทของสารต้านอนุมูลอิสระ	16
กลไกการทำงานของสารต้านอนุมูลอิสระ	18
สารประกอบฟีโนต	19
ฟลาโวนอยด์	21
เคมีน	23
คลอโรฟิลล์	25

	หน้า
คลื่นอัลตร้าโซนิก	27
กลไกการสกัดของคลื่นอัลตร้าโซนิก	28
การใช้คลื่นอัลตร้าโซนิกในทางอุตสาหกรรมอาหาร	30
รังสีอัลตร้าไวโอเลต	31
การใช้รังสีอัลตร้าไวโอเลตในทางอุตสาหกรรมอาหาร	33
บทที่ 3 อุปกรณ์และวิธีการ	35
วัสดุอุปกรณ์	35
วิธีการทดลอง	38
บทที่ 4 ผลการวิจัยและวิจารณ์	41
การศึกษาเปรียบเทียบประสิทธิภาพของวิธีการสกัดและ	41
ตัวทำละลายในการสกัด	
การศึกษาความถี่คลื่นอัลตร้าโซนิกที่เหมาะสมต่อการสกัด	48
การศึกษาสภาวะที่เหมาะสมในการสกัดกล้าข้าวพันธุ์สูงทัย 1	57
ด้วยคลื่นอัลตร้าโซนิก	
การศึกษาผลของการให้รังสีอัลตร้าไวโอเลตต่อกุณภาพของสารสกัด	66
จากกล้าข้าวพันธุ์สูงทัย 1	
การศึกษานิคและปริมาณสารประกอบในกลุ่มฟินอลของสารสกัด	71
บทที่ 5 สรุปผลการวิจัย	85
สรุปผลการทดลอง	85
ข้อเสนอแนะ	86
บรรณานุกรม	87
ภาคผนวก	103
ภาคผนวก ก วัตถุดิบและเครื่องมือที่ใช้ในการทดลอง	104
ภาคผนวก ข สารสกัดจากกล้าข้าวพันธุ์สูงทัย 1	107
ภาคผนวก ค วิธีการวิเคราะห์สมบัติทางกายภาพและเคมี	111
ภาคผนวก ง ประวัติผู้วิจัย	116
ภาคผนวก ช บทความทางวิชาการ	118

สารบัญตาราง

ตาราง	หน้า
1 ปริมาณกรดอะมิโนจำเป็นแต่ละชนิดที่พบในต้นอ่อนข้าวกล้อง	8
2 โครงสร้างของสารประกอบฟีนอลในกลุ่มต่าง ๆ	20
3 โครงสร้างของสารประกอบฟลาโวนอยด์ในกลุ่มต่าง ๆ	22
4 ค่าความสว่าง (L*) ของสารสกัดจากการสกัดสองวิธี	42
5 ค่าความเป็นสีเขียว-แดง (a*) ของสารสกัดจากการสกัดสองวิธี	42
6 ค่าความเป็นสีน้ำเงิน-เหลือง (b*) ของสารสกัดจากการสกัดสองวิธี	43
7 สมบัติการต้านออกซิเดชัน ปริมาณสารประกอบพอลิฟีนอลและปริมาณคลอโรฟิลล์ของสารสกัดที่สกัดด้วยคลื่นอัลตราโซนิก เปรียบเทียบกับการเบย่า	45
8 ค่าความสว่าง (L*) ของสารสกัดจากการสกัดด้วยคลื่นอัลตราโซนิก ความถี่ 3 ระดับ	49
9 ค่าความเป็นสีเขียว-แดง (a*) ของสารสกัดจากการสกัดด้วยคลื่นอัลตราโซนิก ความถี่ 3 ระดับ	49
10 ค่าความเป็นสีน้ำเงิน-เหลือง (b*) ของสารสกัดจากการสกัดด้วยคลื่นอัลตราโซนิก ความถี่ 3 ระดับ	50
11 สมบัติการต้านออกซิเดชันของสารสกัดจากการสกัดด้วยคลื่นอัลตราโซนิก ความถี่ 3 ระดับ	52
12 ปริมาณสารประกอบพอลิฟีนอลและปริมาณคลอโรฟิลล์ของสารสกัด จากการสกัดด้วยอัลตราโซนิกคลื่นความถี่ 3 ระดับ	53
13 สมการแสดงความสัมพันธ์ของอุณหภูมิและเวลาที่ใช้ในการสกัด	58
14 ผลการทดลองจากการออกแบบโดยใช้วิธีพื้นผิวตอบสนอง	59
14 ผลการทดลองจากการออกแบบโดยใช้วิธีพื้นผิวตอบสนอง (ต่อ)	60
15 ปริมาณสาร Epicatechin (EC) ของสารสกัดจากการถล้าข้าวพันธุ์สูงทัย 1	81

สารบัญภาพ

ภาพ	หน้า
1 การเปลี่ยนแปลงสารชีวเคมีและสารอาหารในระบบต่าง ๆ ของเมล็ดข้าว	5
2 โครงสร้าง 6-aminopurine	7
3 โครงสร้างสารกาบา	8
4 โครงสร้าง 2"-O-glycosylisovitexin	11
5 โครงสร้าง บีเอชที	16
6 โครงสร้าง บีเอชเอ	17
7 โครงสร้างพื้นฐานของสารประกอบกลุ่มฟินอล	17
8 โครงสร้างพื้นฐานของสารฟลาโวนอยด์	21
9 โครงสร้างของสารคาเทชิน	24
10 โครงสร้างของคลอโรฟิลล์	25
11 โครงสร้างของสีมีน	26
12 คลื่นความถี่ของอัลตร้าโซนิกในช่วงต่าง ๆ	27
13 การเกิดฟองอากาศในตัวกลางเนื่องจากคลื่นอัลตร้าโซนิก	28
14 รูปแบบการสกัดคั่วยคลื่นอัลตร้าโซนิก	29
15 ช่วงแอกตัสเปคตรัม (spectrum) ของรังสีอัลตร้าไวโอเลต	31
16 ช่วงความยาวคลื่นของรังสีอัลตร้าไวโอเลตแบบต่าง ๆ	32
17 การทะลุทะลวงผ่านวัสดุของคลื่นรังสีอัลตร้าไวโอเลตแบบต่าง ๆ	33
18 อิทธิพลของอุณหภูมิและเวลาในการสกัดที่มีต่อค่าความสว่าง (L^*)	61
19 อิทธิพลของอุณหภูมิและเวลาในการสกัดที่มีต่อค่าความเป็นสีเขียว-แดง (a^*)	61
20 อิทธิพลของอุณหภูมิและเวลาในการสกัดที่มีต่อค่าความเป็นสีน้ำเงิน-เหลือง (b^*)	62
21 อิทธิพลของอุณหภูมิและเวลาในการสกัดที่มีต่อสมบัติการต้าน ออกซิเดชันด้วยวิธี ABTS ⁺	63
22 อิทธิพลของอุณหภูมิและเวลาในการสกัดที่มีต่อสมบัติการต้าน ออกซิเดชันด้วยวิธี FRAP	63

23	อิทธิพลของอุณหภูมิและเวลาในการสกัดที่มีต่อปริมาณสารประกอบพอลิฟินอล	64
24	อิทธิพลของอุณหภูมิและเวลาในการสกัดที่มีต่อปริมาณคลอโรฟิลล์	64
25	สมบัติการต้านออกซิเดชันวิเคราะห์ด้วยวิธี ABTS ⁺ ของสารสกัดจากกล้าม้าวพันธุ์สูงๆ ใบท้าย 1	67
26	สมบัติการต้านออกซิเดชันวิเคราะห์ด้วยวิธี FRAP ของสารสกัดจากกล้าม้าวพันธุ์สูงๆ ใบท้าย 1	67
27	ปริมาณสารประกอบพอลิฟินอลของสารสกัดจากกล้าม้าวพันธุ์สูงๆ ใบท้าย 1	68
28	ปริมาณคลอโรฟิลล์ของสารสกัดจากกล้าม้าวพันธุ์สูงๆ ใบท้าย 1	68
29	โคมไฟ troponin ของสารมาตรฐานในกลุ่มสารอาหารชั้นต่าง ๆ	71
30	โคมไฟ troponin ของสารสกัดกล้าม้าวจากการสกัดด้วยน้ำ (a) สกัดด้วยวิธีเขย่า (b) คลื่นอัลตร้าโซนิกความถี่ 28kHz	72
30	โคมไฟ troponin ของสารสกัดกล้าม้าวจากการสกัดด้วยน้ำ (ต่อ) (c) คลื่นอัลตร้าโซนิกความถี่ 45kHz (d) คลื่นอัลตร้าโซนิกความถี่ 100kHz	73
31	โคมไฟ troponin ของสารสกัดกล้าม้าวจากการสกัดด้วยเอทานอล 50% (a) สกัดด้วยวิธีเขย่า (b) คลื่นอัลตร้าโซนิกความถี่ 28kHz	74
31	โคมไฟ troponin ของสารสกัดกล้าม้าวจากการสกัดด้วยเอทานอล 50% (ต่อ) (c) คลื่นอัลตร้าโซนิกความถี่ 45kHz (d) คลื่นอัลตร้าโซนิกความถี่ 100kHz	75
32	โคมไฟ troponin ของสารสกัดกล้าม้าวจากการสกัดด้วยเอทานอล 70% (a) สกัดด้วยวิธีเขย่า (b) คลื่นอัลตร้าโซนิกความถี่ 28kHz	76
32	โคอมไฟ troponin ของสารสกัดกล้าม้าวจากการสกัดด้วยเอทานอล 70% (ต่อ) (c) คลื่นอัลตร้าโซนิกความถี่ 45kHz (d) คลื่นอัลตร้าโซนิกความถี่ 100kHz	77
33	โคอมไฟ troponin ของสารสกัดกล้าม้าวจากการสกัดด้วยเอทานอล 95% (a) สกัดด้วยวิธีเขย่า (b) คลื่นอัลตร้าโซนิกความถี่ 28kHz	78
33	โคอมไฟ troponin ของสารสกัดกล้าม้าวจากการสกัดด้วยเอทานอล 95% (ต่อ) (c) คลื่นอัลตร้าโซนิกความถี่ 45kHz (d) คลื่นอัลตร้าโซนิกความถี่ 100kHz	79

สารบัญภาพนวน

ภาพนวน	หน้า
1 กล้าข้าวพันธุ์สูโพทัย 1	105
2 เครื่องอัลตร้าโซนิก (SANPA W-113, Japan)	105
3 ตู้สแตนเลสปิดสนิท ภายในบรรจุหลอดอัลตราไวโอเลต (ultraviolet chamber)	106
4 สารสกัดจากกล้าข้าวพันธุ์สูโพทัย 1 ที่ได้จากการสกัด แบบวิชีเขย่าเทียนกับการใช้คลื่นอัลตร้าโซนิก (a) การสกัดโดยใช้ ตัวทำละลายด้วยน้ำ (b) การสกัดโดยใช้ตัวทำละลายด้วยเอทานอล 50% (c) การสกัดโดยใช้ตัวทำละลายด้วยเอทานอล 70% (d) การสกัดโดยใช้ ตัวทำละลายด้วยเอทานอล 95%	108
5 สารสกัดจากกล้าข้าวพันธุ์สูโพทัย 1 ที่ได้จากการสกัด โดยคลื่นอัลตร้าโซนิก ด้วยความถี่ 3 ระดับ (a) การสกัดโดยใช้ ตัวทำละลายด้วยน้ำ (b) การสกัดโดยใช้ตัวทำละลายด้วยเอทานอล 50% (c) การสกัดโดยใช้ตัวทำละลายด้วยเอทานอล 70% (d) การสกัดโดยใช้ ตัวทำละลายด้วยเอทานอล 95%	109
6 สารสกัดจากกล้าข้าวพันธุ์สูโพทัย 1 ที่ได้จากการออกแบบ โดยใช้วิธีพื้นผิวดอบสูญด้วยการใช้คลื่นอัลตร้าโซนิกความถี่ 28kHz	110

บทที่ 1

บทนำ

ที่มาและความสำคัญของปัญหา

ข้าวเป็นพืชเศรษฐกิจของประเทศไทยและเป็นอาหารหลักในการดำรงชีวิตของประชาชนโลก ปัจจุบันผู้บริโภคไม่เพียงแต่จะน้ำเมล็ดข้าวมาบริโภคเพียงอย่างเดียวยังสามารถนำข้าวมาใช้ประโยชน์ได้ทั้งต้น การพัฒนาผลิตภัณฑ์จากส่วนประกอบของกล้าข้าวเป็นการเพิ่มความหลากหลายในการใช้ประโยชน์และเพิ่มนูน立体ให้แก่ข้าวไทย กล้าข้าวประกอบด้วยสารออกฤทธิ์ที่มีรายงานทางวิชาการในการลดความเสี่ยงในการเกิดโรคไม่ติดต่อเรื้อรังต่างๆ เช่น โรคหลอดเลือดหัวใจ โรคเบาหวาน และโรคมะเร็ง (Donkor et al., 2012) รวมทั้งช่วยส่งเสริมสุขภาพที่ดีให้แก่ผู้บริโภค นอกจากนี้สารพุกชนิดที่พบในข้าว ส่วนใหญ่เป็นสารประกอบกลุ่มฟีโนอล เช่น แอนโทไซยานิน ฟลาโวนอล โพโโคฟิโรล คานเทชิน เบต้าแคโรทีน และกรดフェอร์บูลิก เป็นต้น (Chun et al., 2003) ซึ่งส่งผลให้เกิดกระแสการบริโภคอาหารเสริมหรือเครื่องดื่มสุขภาพที่ได้จากการเพิ่มมากขึ้น

กระแสการบริโภคผลิตภัณฑ์เพื่อสุขภาพที่มาจากการนำกล้าข้าวที่ได้รับความสนใจมากขึ้น โดยจากที่ผ่านมามีกระแสการบริโภคน้ำข้าวกล้องออก น้ำคั้นต้นอ่อนข้าวสาลีซึ่งเป็นอาหารสุขภาพที่ได้รับความนิยมอย่างมากในต่างประเทศ เพราะมีคุณลักษณะของสารอาหารที่โดดเด่น เช่น คลอโรฟิลล์ ซึ่งมีประโยชน์ต่อการทำงานของร่างกาย เช่น ช่วยเสริมระบบภูมิคุ้มกัน ลดระดับน้ำตาลในเลือด บรรจุสารพิษในร่างกาย (ลักษณา, 2551) แต่เนื่องจากต้นอ่อนข้าวสาลีเป็นพันธุ์ข้าวที่มีการนำเข้าจากต่างประเทศจึงมีราคาค่อนข้างสูง ด้วยเหตุนี้จึงเกิดแนวคิดในการพัฒนาผลิตภัณฑ์จากกล้าข้าวที่เป็นพันธุ์ข้าวไทย อีกทั้งยังช่วยเพิ่มศักยภาพของกล้าข้าวไทยให้เทียบเท่ากับต้นอ่อนข้าวสาลีที่นำเข้าจากต่างประเทศได้ จากการศึกษาคุณค่าทางโภชนาการพบว่า น้ำคั้นจากกล้าข้าวไทยมีธาตุแมgnีเซียมและปริมาณธาตุเหล็กสูงกว่าในข้าวสาลี นอกจากนี้ยังพบว่ามีปริมาณสารต้านอนุมูลอิสระและปริมาณวิตามินในกล้าข้าวพันธุ์ข้าวไทยมีค่าสูงกว่าข้าวสาลีที่จำหน่ายทางการค้าอีกด้วย (ลักษณา, 2553)

กล้าข้าวได้มาจากการต้นอ่อนที่เจริญเติบโตมาจากการเมล็ดข้าว ซึ่งในระหว่างที่ข้าวมีการเจริญเติบโตจะมีการเปลี่ยนแปลงทางชีวเคมีในเมล็ดและจะมีการเปลี่ยนแปลงสารอาหารที่อยู่ภายในเมล็ดข้าวระหว่างการพัฒนาไปเป็นต้นอ่อน ทั้งนี้ในระหว่างกระบวนการงอกของเมล็ด (germination) เอนไซม์ในข้าวจะเกิดการกระตุ้นให้มีการทำงาน เมื่อเวลาผ่านไปสารอาหารที่ถูกเก็บ

ไว้จะเกิดการย่อยสลายของสารเคมีในเมล็ดตามกระบวนการทางชีวเคมีได้เป็นน้ำตาลที่มีโมเลกุลเล็กลง (oligosaccharide) และ reducing sugar เช่น น้ำตาลโมเลกุลเดียว กรดอะมิโน กรดไขมัน เป็นต้น และเมื่อเมล็ดข้าวเจริญเติบโตเป็นต้นอ่อนจะมีการสร้างสารที่สำคัญ เช่น คลอโรฟิลล์ สาร oryzadione ที่มีฤทธิ์ในการด้านเชื้อแบคทีเรีย สาร oryzalide B และสาร oryzalic acid เป็นต้น (Konoetal., 2004) อีกทั้งยังมีสารด้านอนุมูลอิสระ เช่น แแกมมาօไรซานอล (gamma-oryzanol) (Juliano et al., 2005) อย่างไรก็ตามกล้าข้าวสดไม่สามารถเก็บรักษาไว้ได้นาน เนื่องจากเกิดการสูญเสียคุณค่าต่างๆ ในระหว่างการเก็บรักษา การแปรรูปวัตถุดินให้เป็นสารสกัด คาดว่าเป็นวิธีการที่สามารถรักษาคุณภาพของสารสกัดทั้งคุณสมบัติทางกายภาพและเคมีรวมทั้งปริมาณสารออกฤทธิ์ซึ่งการพัฒนาวัตถุดินให้อยู่ในรูปสารสกัดจะเป็นแนวทางหนึ่งที่สะดวกต่อการเก็บรักษาเพื่อนำมาเตรียมเป็นผลิตภัณฑ์และทำให้ผลิตภัณฑ์มีรูปแบบที่เหมาะสม จึงเป็นทางเลือกหนึ่งให้กับผู้บริโภคที่ใส่ใจด้านสุขภาพ

จากข้อมูลขององค์การอาหารและยาจากประเทศสหรัฐอเมริกาพบว่าเทคโนโลยีคลื่นอัลตราโซนิกถือเป็นวัตกรรมทางเดือกหนึ่งที่มีศักยภาพในกระบวนการสกัด (U.S. Food and Drug Administration, 2000) อีกทั้งยังเป็นเทคโนโลยีที่ไม่ใช้ความร้อน และใช้ระยะเวลาในการสกัดที่สั้นกว่าการใช้วิธีการแบบดั้งเดิม เช่น วิธีการ夷芽 ซึ่งวิธีการแบบดั้งเดิมนี้จะใช้ระยะเวลาในการสกัดที่นาน (1-20 ชั่วโมง) เพื่อให้ได้สารประกอบที่สำคัญออกมาก (Cartera et al., 2012)

นอกจากนี้ในงานวิจัยของ Gonzalez-Barrio et al. (2009) พบว่าอยุ่นที่มีการใช้รังสีอัลตร้าไวโอเลต (UV-C) ในช่วงคลื่น 200-280 nm. ก่อนกระบวนการผลิตน้ำอยุ่นจะช่วยเพิ่มปริมาณของสาร resveratrol ซึ่งเป็นสารประกอบโพลีฟีโนล มากถึง 35 เท่าเมื่อเทียบกับไม่ใช้ UV-C ดังนั้นในการศึกษาวิจัยครั้งนี้จึงมีความสนใจที่จะนำเทคโนโลยีคลื่นอัลตร้าโซนิกและรังสีอัลตร้าไวโอเลตมาพัฒนากระบวนการสกัดสารสำคัญจากกล้าข้าวพันธุ์สุโขทัย 1 โดยศึกษาอิทธิพลของปัจจัยดังกล่าวที่มีต่อสมบัติทางกายภาพและทางชีวเคมีของสารสกัดเพื่อให้ได้สารสกัดที่มีคุณภาพสามารถคงคุณสมบัติต่างๆ ที่เป็นประโยชน์ต่อร่างกายและมีความปลอดภัยต่อผู้บริโภค ทั้งนี้ยังเป็นการช่วยอนุรักษ์และส่งเสริมให้มีการนำข้าวไทยมาแปรรูปมากยิ่งขึ้นเป็นการสร้างมูลค่าเพิ่มให้กับข้าวไทยตลอดจนสามารถนำไปประยุกต์ใช้ในการพัฒนากระบวนการผลิตเชิงพาณิชย์และต่อไปขอผลิตภัณฑ์จากข้าวไทยสู่ระดับอุตสาหกรรมภายในประเทศไทยและต่างประเทศต่อไป

วัตถุประสงค์ของการวิจัย

1. เพื่อศึกษาเปรียบเทียบประสิทธิภาพของวิธีการสกัดแบบเบี่ยงและการใช้คลื่นอัลตร้าโซนิกร่วมกับตัวทำละลายของน้ำ และเอทานอลที่อัตราส่วนต่างๆ ในการสกัดกล้าข้าวพันธุ์สูโรขทัย 1
2. เพื่อศึกษาผลของความถี่คลื่นอัลตร้าโซนิก ร่วมกับตัวทำละลายของน้ำและเอทานอล ที่อัตราส่วนต่างๆ และการให้รังสีอัลตร้าไวโอลেตแก่กล้าข้าวก่อนการสกัดที่มีต่อปริมาณสารประกอบพอลิฟินอลและสมบัติด้านอนุมูลอิสระของสารสกัดจากกล้าข้าวพันธุ์สูโรขทัย 1
3. เพื่อวิเคราะห์ชนิดและปริมาณสารประกอบในกลุ่มฟีนอลของสารสกัดที่ได้จากการสกัด โดยใช้เทคนิคโกรามาโทกราฟของเหลวสมรรถนะสูง (High Performance Liquid Chromatography)

ประโยชน์ที่คาดว่าจะได้รับ

1. ได้วิธีการและตัวทำละลายที่เหมาะสมต่อการสกัดโดยพิจารณาจากสมบัติการต้านอนุมูลอิสระและสารประกอบพอลิฟินอลที่มีในสารสกัดกล้าข้าวพันธุ์สูโรขทัย 1
2. ได้องค์ความรู้ของการใช้เทคโนโลยีคลื่นอัลตร้าโซนิกร่วมกับตัวทำละลายต่างๆ รวมถึงรังสีอัลตร้าไวโอลেต ในการพัฒนาระบวนการผลิตสารสกัดจากกล้าข้าว
3. ได้ทราบถึงชนิดและปริมาณของสารประกอบในกลุ่มฟีนอล ที่มีในสารสกัดจากกล้าข้าวพันธุ์สูโรขทัย 1 ที่เป็นประโยชน์ต่อสุขภาพ

บทที่ 2

การตรวจเอกสาร

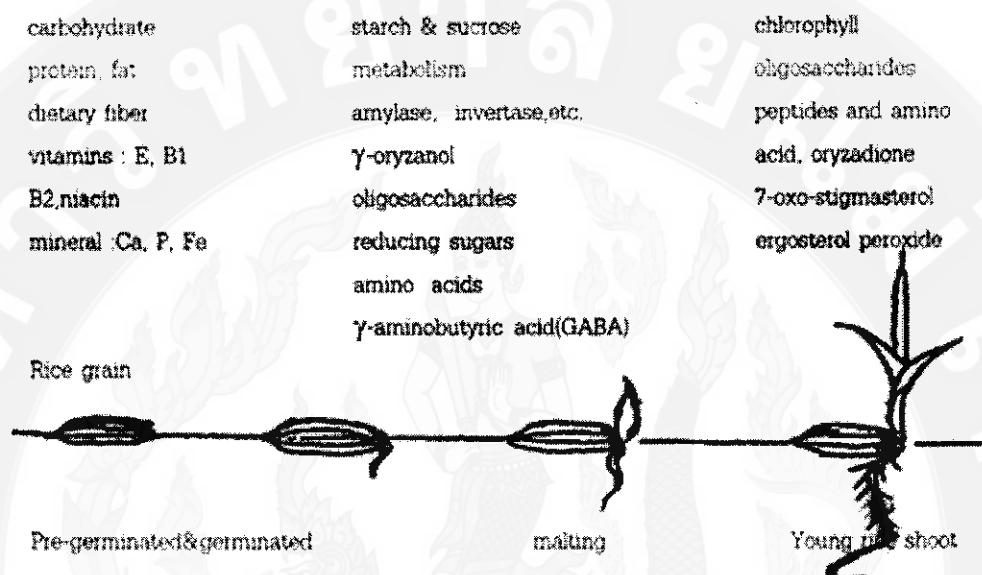
ต้นข้าว

ต้นข้าวเป็นพืชตระกูลหญ้า (Gramineae) ซึ่งจัดอยู่ในสกุลօริชา (Genus *Oryza*) มีลำต้นเป็นไม้เนื้ออ่อน เป็นพืชล้มลุกที่มีอายุเพียงหนึ่งปี มีใบขนาดใบเดียว (monocotyledon) ที่ใบข้าวส่วนใหญ่จะมีขนอ่อนบนใบ ทำให้รู้สึกสาบมือเมื่อสัมผัสที่ใบ และกาบใบจะทำหน้าที่ลำเลียงน้ำและแร่ธาตุจากراكและลำต้นไปยังตัวใบ และลำเลียงอาหารที่สังเคราะห์จากตัวใบไปยังส่วนต่างๆ ของต้นข้าว (บุญคงย์, 2547)

กระบวนการออกของเมล็ดธัญพืช

ในกระบวนการออกของเมล็ดธัญพืชเป็นต้นอ่อน (seedling) จะมีการสร้างวิตามินและแร่ธาตุขึ้น เนื่องจากเกิดกระบวนการสร้างสารอาหารที่เก็บสะสมในเมล็ด เพื่อนำไปใช้ในการออกและเจริญเติบโตของต้นอ่อน การงอก (germination) ของเมล็ด หมายถึง การเกิดกระบวนการต่างๆ ภายในเมล็ดพืชที่มีชีวิต (visible) ที่อยู่ในระยะพักหรือสภาวะสงบนิ่งแล้วได้รับปัจจัยต่างๆ ที่จำเป็นต่อการงอก เช่น ความชื้น อุณหภูมิ อากาศ ส่งผลให้เกิดการเปลี่ยนแปลงภายในเมล็ด กระตุ้นทำให้เกิดรากอ่อนของต้นแหงทะลุปลีกหุ้นเมล็ดออกมานั่นเอง ทางศรีร่วมวิทยาและชีวเคมีกล่าวว่า คือการงอกของเมล็ด ทั้งนี้การเปลี่ยนแปลงสารอาหารที่อยู่ภายในเมล็ด ส่งผลให้อ่อน ไนโตรเจนที่มีอยู่ภายในเมล็ดถูกกระตุ้นให้มีการทำงาน สารอาหารที่ถูกเก็บสะสมไว้ในเมล็ดจะมีการย่อยลายไปตามกระบวนการชีวเคมีให้ได้เป็นคาร์โบไฮเดรตที่มีโมเลกุลเล็กลง (oligosaccharide) และน้ำตาลรีดิวส์ (reducing sugar) โดยการทำงานของเอนไซม์กลุ่มที่ย่อยแป้ง เช่น เอนไซม์อะมายลase (amylase enzymes) เอนไซม์อินเวอร์เทส (invertase enzymes) เป็นต้น นอกจากนี้โปรตีนจะถูกย่อยให้เป็นกรดอะมิโน (amino acid) และเปปไทด์ (peptide) (Rimsten et al., 2003) และยังมีการสะสมสารต่างๆ เช่น สารแ去买อะมิโนบิวทิริกแอซิด หรือกาบा (gamma aminobutyric acid, GABA) ในอาหาร อิโนไซตอล (inositol) กรดเฟอรูลิก (ferulic acid) กรดไฟฟิก (phytic acid) โทโคเฟอรอล (tocopherol) โทโคไตรอีนอล (tocotrienol) แแกมนาร์โอไรซานอล (gamma-orazynol) และโพแทสเซียม (potassium) (Kayahara et al., 2000) เป็นต้น นอกจากรากที่มีการงอกของเมล็ดธัญพืชเมื่อต้นข้าวเจริญเติบโตในระยะที่มีการแตกยอดอ่อนจะมีสร้างสารที่เรียกว่าสารทุติยภูมิ (secondary metabolite) ได้แก่ คลอโรฟิลล์ (chlorophyll) สารประกอบพอลิฟีนอล (polyphenol)

สารสติกมาสเตอรอล (stigmasterol) และสารเออร์โกลสเตอรอล (ergosterol) เป็นต้น การเปลี่ยนแปลงสารชีวเคมีและสารอาหารในระยะต่างๆ ของข้าวตั้งแต่คงในภาพที่ 1



ภาพ 1 การเปลี่ยนแปลงสารชีวเคมีและสารอาหารในระยะต่างๆ ของเมล็ดข้าว
ที่มา: ดัดแปลงจาก จุไรทิพย์ (2551)

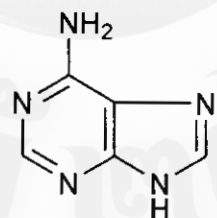
สารชีวเคมีเหล่านี้เป็นสารที่มีความสำคัญต่อการดำรงชีวิตของต้นข้าวโดยผ่านกระบวนการต่อต้านการเกิดโรคของพืช (defense mechanism) และยังมีการสะสมสารต่างๆ เช่น สารแแกมมาอะโนบิวทิริกแอซิด หรือสารกานา (gamma aminobutyric acid, GABA) อะราบินอิไซแลน (arabinoxylan) โทโคเฟอรอล (tocopherol) โทโคไตรอีนอล (tocotrienol) (Juliano et al., 2005) สารประกอบเหล่านี้เป็นสารที่เป็นประโยชน์ต่อร่างกาย รวมทั้งยังมีสารประกอบบางชนิดที่มีคุณสมบัติในการเป็นสารต้านออกซิเดชันหรือสารต้านอนุมูลอิสระ (antioxidant) ที่สามารถป้องกันหรือกำจัดอนุมูลอิสระที่เกิดขึ้นจากการเมแทบอลิซึมในร่างกาย อันเป็นสาเหตุของความผิดปกติในร่างกายทำให้เกิดอาการเจ็บป่วย เช่น โรคมะเร็ง โรคเบาหวาน โรคหัวใจ โรคสมอง รวมทั้งโรคการเสื่อมสภาพของร่างกาย เป็นต้น (Schnabel, 1940; Kulkarni et al., 2006)

คุณค่าของกล้าข้าว

กล้าข้าวเป็นต้นอ่อนที่เจริญเติบโตมาจากการเมล็ดข้าว ซึ่งในระหว่างที่ข้าวมีการเจริญเติบโตจะมีการเปลี่ยนแปลงทางชีวเคมีในเมล็ดและจะมีการเปลี่ยนแปลงสารอาหารที่อยู่ภายในเมล็ดข้าวระหว่างการพัฒนาไปเป็นต้นอ่อน ทั้งนี้ในระหว่างกระบวนการออกของเมล็ด (germination) เอนไซม์ในข้าวจะเกิดการกระตุนให้มีการทำงาน ดังนั้นมีอเวลาผ่านไปสารอาหารที่ถูกเก็บไว้จะเกิดการย่อยสลายของสารเคมีในเมล็ดตามกระบวนการทางชีวเคมีได้เป็นสารอาหารที่มีไม่เดกูลเด็กลงและมีการเพิ่มขึ้นของแร่ธาตุที่จำเป็นและเกิดการลดลงของสารประกอบที่ไม่มีประโยชน์ในการบำรุงร่างกาย (anti-nutrition) (Jimenez et al., 1985; Khalil et al., 2007) อีกทั้งในกระบวนการดังกล่าวจะเกิดการสังเคราะห์สารต้านอนุมูลอิสระ การสังเคราะห์ไอก็อกไซด์ (glycoside) ตลอดจนการสร้างสารประกอบในกลุ่มฟินอลีน (Calzuola et al., 2004) จากการศึกษาของ Rozanet et al. (2000) พบว่าเมล็ดธัญพืชที่ออกเป็นต้นอ่อน (seedlings) มีคุณค่าทางโภชนาการสูงกว่าเมล็ดธัญพืชที่ไม่ออก ในต้นอ่อนธัญพืชพบว่ามีเอนไซม์ P4D1 ซึ่งมีคุณสมบัติในการซ่อมแซมไมเดกูลของ DNA และด้านการก่อมะเร็ง

จากข้อมูลการศึกษาสารอาหารในต้นอ่อนธัญพืช เช่น ข้าว ข้าวสาลี ข้าวไรย์ ข้าวบาร์เลย์ ข้าวโพด พนว่าการออกของเมล็ดดังกล่าวเป็นต้นอ่อนนั้นเป็นการเพิ่มคุณค่าทางโภชนาการให้สูงขึ้น (Chavan and Kadam, 1989) นอกจากนี้ผลผลิตที่ได้จากการออกของเมล็ดธัญพืชที่เจริญมาเป็นต้นอ่อน เช่น ข้าว ข้าวสาลี ข้าวบาร์เลย์ ข้าวไรย์ ข้าวโอ๊ต จัดว่าเป็นแหล่งของสารอาหารที่มีคุณค่า เช่น วิตามิน แร่ธาตุ ไขอาหาร สารต้านอนุมูลอิสระ เช่น เอนไซม์ซูเปอร์ออกไซด์คิสมิวเทส (superoxide dismutase, SOD) ที่มีคุณสมบัติต้านออกซิเดชัน ช่วยลดการคุดซึมคอเลสเทอรอล และช่วยลดระดับน้ำตาลในเลือด นอกจากนี้ยังพบสารงานา ซึ่งนอกจากจะพบมากในเมล็ดธัญพืชที่ผ่านการออกแล้ว ยังสามารถพบได้ในต้นอ่อนด้วย สารดังกล่าวมีสมบัติช่วยป้องกันความดันโลหิตสูง (antihypertensive) (Donkor et al., 2012) และสารสกัดจากต้นข้าวอ่อนยังเพิ่มระดับของฮอร์โมนอินซูลิน (insulin) ส่งผลให้สามารถควบคุมระดับน้ำตาลในเลือดจึงเหมาะสมกับผู้ป่วยที่เป็นโรคเบาหวานได้ นอกจากนี้ยังพบว่าสารสกัดจากต้นอ่อนข้าวบาร์เลย์สามารถช่วยลดการทำงานของเอนไซม์ α -amylase และ α -glucosidase ซึ่งเป็นเอนไซม์ที่ย่อยแป้งให้เป็นน้ำตาลที่ส่งผลต่อการเพิ่มขึ้นของระดับน้ำตาลในเลือด ที่เป็นสาเหตุของการเกิดโรคเบาหวาน ทั้งนี้อาจเนื่องจากในต้นอ่อนข้าวบาร์เลย์นั้นมีสารประกอบในกลุ่มฟินอลสูงจึงสามารถช่วยลดการทำงานของเอนไซม์ดังกล่าวได้ (Yu et al., 2002)

จากการวิจัยของ Verma and Dubey (2003) พบว่าต้นอ่อนข้าวสาลีในช่วงอายุ 5-20 วันมีปริมาณสารและเอนไซม์ต้านอนุมูลอิสระเพิ่มมากขึ้น ซึ่งสอดคล้องกับงานวิจัยของ Burkholder and Mcveigh (1942) ที่พบว่าต้นอ่อนขัญพืชที่มีอายุ 0-12 วัน จะมีปริมาณของไธามิน (thiamin, B1) และไรโบฟลาวิน (riboflavin, B2) เพิ่มขึ้นเมื่อเทียบกับปริมาณที่มีอยู่ในเมล็ดแห้ง อีกทั้งในงานวิจัยของ Chen and Hsieh (2008) พบว่าในต้นอ่อนข้าวที่มีอายุ 15 วัน จะมีปริมาณโปรตีน และสารที่ได้จากการสกัดสามารถเพิ่มจำนวนเชลล์เม็ดเลือดขาวที่สร้างภูมิคุ้มกันให้กับร่างกายได้ นอกจากนี้ยังพบสารประกอบที่มีชื่อว่า 6-aminopurine ที่มีสูตรโครงสร้าง ดังแสดงในภาพที่ 2 ซึ่งสารดังกล่าวมีคุณสมบัติในการยับยั้งกิจกรรมของเอนไซม์ xanthin oxidase จากกระบวนการเมtabolismของ xanthin โดยเอนไซม์ xanthin oxidase จะทำให้มีปริมาณของกรดยูริก (uric acid) ในเลือดสูงกว่าปกติ และสามารถเข้าไปสะสมในเยื่อบุตามข้อและปลายกระดูกส่งผลทำให้เกิดอาการปวดและอักเสบได้ นอกจากนี้ยังช่วยลดกิจกรรมของเอนไซม์ tyrosinase ซึ่งเป็นเอนไซม์ที่มีบทบาทในการสร้างเมลานิน โดยทำหน้าที่เปลี่ยนสารตั้งต้นไทโรซีน (tyrosine) ไปเป็นสาร DOPA และ DOPA quinine ทำให้เกิดเม็ดสีดำของเมลานิน (eumelanin) ดังนั้นถ้าเอนไซม์นี้ทำงานมากเกินไป จะทำให้เม็ดสีเมلانินถูกสร้างได้มากจนทำให้เกิดรอยดำ หรือ ฝ้า กระ สีผิวไม่สม่ำเสมอได้



ภาพ 2 โครงสร้าง 6-aminopurine

ที่มา: ดัดแปลงจาก Chen and Hsieh (2008)

จากการวิจัยของ Takaoka (2004) พบว่าในต้นอ่อนข้าวกล้องมีปริมาณสารกาบประมาณ 19 มิลลิกรัมต่อ 100 กรัม และยังพบสารอาหาร เช่น โปรตีน คาร์โบไฮเดรต ไขมัน แร่ธาตุ วิตามิน และคลอโรฟิลล์ ที่สำคัญยังพบว่ามีปริมาณกรดอะมิโนที่จำเป็นต่อร่างกายหลายชนิด Chen and Hsieh (2008) ดังแสดงในตาราง 1

ตาราง 1 ปริมาณกรดอะมิโนจำเป็นแต่ละชนิดที่พบในต้นอ่อนข้าวกล้อง

ชนิดกรดอะมิโน	ปริมาณกรดอะมิโน ^(มิลลิกรัมต่อ 100 กรัม)
ทรีโโนนีน	42.7
วาลีน	102.5
เมโทโอลีน	38.9
ไอโซูลีน	34.4
ลูซีน	47.3
เฟนินอะลานีน	44.9
ชิตติดีน	15.7
ไลซีน	40.6

ที่มา: ดัดแปลงจาก Takaoka (2004)

เช่นเดียวกับงานวิจัยของอรหัย (2552) ที่ได้ศึกษาถึงปัจจัยที่มีผลต่อการงอกและคุณค่าทางอาหารของต้นอ่อนธัญพืชพบว่า การเปลี่ยนแปลงของคุณค่าทางอาหารในต้นอ่อนของข้าวจะเพิ่มขึ้นมากกว่าเมล็ดที่ไม่งอก และพบว่า มีปริมาณวิตามินบี 1 รวมทั้งสารกากบาทเป็นต้น ซึ่งสูตรโครงสร้างสารกากบาท ดังภาพที่ 3 ทั้งนี้ยังพบว่าสารประกอบฟีโนอลที่เพิ่มขึ้นนั้นจะขึ้นอยู่กับปัจจัยที่ใช้ในการงอก เช่น ระยะเวลาในการเพาะปลูก อุณหภูมิ ค่าความเป็นกรด-เบสของน้ำที่ใช้ในการแช่ เป็นต้น



ภาพ 3 โครงสร้างสารกากบาท

ที่มา: ดัดแปลงจาก Bradbury et al. (2008)

สารอาหารเป็นส่วนสำคัญในการเป็นสารสื่อประสาทที่มีโนเลกูลน้ำดเล็ก อีกทั้งมีการใช้ประโยชน์ของสารอาหารที่เป็นส่วนประกอบของสารออกฤทธิ์ทางชีวภาพมีส่วนช่วยในการควบคุมความดันโลหิตและช่วยบรรเทาอาการพื้นตัวสำหรับผู้ที่เกี่ยวข้องกับการคุ้มครองออกซิเจน (Donkor et al., 2012) นอกจากนี้ยังมีต้นอ่อนจากพืชตระกูลหญ้าอีกด้วยเช่นนิดที่มีการรายงานการวิจัยว่ามีคุณค่าทางโภชนาการและทางยาสูง เช่น ต้นอ่อนข้าวสาลี หรือ wheatgrass ซึ่งเป็นที่นิยมกันอย่างแพร่หลายในการบริโภคเพื่อสุขภาพ มักบริโภคในรูปแบบของน้ำคั้นสกัดจากต้นอ่อนข้าวสาลี หรือแบบเครื่องคั่มผงสำเร็จรูป (Hagiwara and Hagiwara, 1995) ทั้งนี้ในใบอ่อนข้าวสาลี ยังมีปริมาณแร่ธาตุและวิตามิน กรดอะมิโน ฟลาโวนอยด์ แคโรทินอยด์ คลอโรฟิลล์ รวมทั้งเอนไซม์หลายชนิด (Sagliano and Sagliano, 1998) ซึ่งนอกจากจะมีเอนไซม์ SOD แล้ว ยังพบเอนไซม์ catalase (CAT), glutathione peroxidase (GPX) และ glutathione reductase (GR) เป็นต้น (Panda et al., 2003)

จากการศึกษาของ Kulkarni และคณะ (2006b) พบว่าต้นอ่อนข้าวสาลีในช่วงอายุการปลูกที่ 15 วัน มีปริมาณแร่ธาตุที่เหมาะสมและมีสมบัติการต้านออกซิเดชันสูงที่สุด และจากการศึกษาของ Yang et al. (2000) พบว่าในต้นอ่อนข้าวสาลีที่อายุ 7 วัน หลังจากผ่านกระบวนการทำแห้งแบบแช่เยือกแข็ง (freeze dry) มีปริมาณวิตามินซี เบต้า-แคโรทิน วิตามินอี และสารประกอบฟีโนลเพิ่มขึ้นจากเมล็ดข้าวสาลี ทั้งนี้เนื่องจากในการเจริญของต้นอ่อนในระยะแรกในจะมีการสร้างผนังเซลล์ ซึ่งมีการสังเคราะห์สารประกอบฟีโนลที่ใช้ในกระบวนการสังเคราะห์แทนนินเพื่อเป็นส่วนประกอบของโครงสร้างพืช (Maillard and Berset, 1995)

จากการวิจัยของ Shukla และคณะ (2009) พบว่าสารสกัดจากต้นอ่อนข้าวสาลีมีปริมาณวิตามินซีและวิตามินอีสูงกว่าสาหร่ายสไปรูลينا ส่วนปริมาณสารประกอบฟีโนลนั้นมีปริมาณต่ำกว่าเพียงเล็กน้อย นอกจากนี้ใบอ่อนข้าวสาลีในรูปของสารสกัดยังมีสรรพคุณทางยา โดยมีคุณสมบัติในการช่วยลดการก่อตัวของสารก่อมะเร็ง และขับยุงจากการกลับพันธุ์ของเซลล์ ซึ่งองค์ประกอบในการต้านการกลับพันธุ์ของเซลล์ในสารสกัดดังกล่าวเกิดจากการที่สารประกอบในกลุ่มของฟลาโวนอยด์ (Peryt et al., 1992) และในการวิจัยนี้ทำการศึกษาถึงประสิทธิภาพของต้นอ่อนข้าวสาลีสำหรับผู้ป่วยที่เป็นโรคลำไส้ใหญ่อักเสบ (ulcerative colitis) โดยการให้คุณน้ำสกัดจากต้นอ่อนข้าวสาลีสดจำนวน 100 ซีซี เป็นประจำทุกวัน พบว่าช่วยลดอาการรุนแรงของการมีเลือดออกทางทวารหนักได้เป็นอย่างดี (Ben-Ayre et al., 2002) ซึ่งสอดคล้องกับงานวิจัยของ Marwaha et al. (2004) ที่พบว่าสารสกัดจากน้ำคั้นต้นอ่อนข้าวสาลีมีศักยภาพในการช่วยลดความถี่ของการถ่ายเลือดในผู้ป่วยชาลัสซีเมียให้ต่ำลง โดยลดระยะเวลาระหว่างการถ่ายเลือดแต่ละครั้งห่างออกไปถึง 25-50 เปอร์เซ็นต์จากเดิม

นอกจากนี้ยังมีการศึกษาการเสริมต้านอ่อน化ข้าวสาลีในสูตรอาหารช่วยลดระดับน้ำตาลและระดับไขมันในเลือดส่วนใหญ่สามารถควบคุมระดับน้ำตาลในอาหารสำหรับผู้ป่วยโรคเบาหวานชนิดที่ 2 รวมทั้งช่วยป้องกันการเกิดภาวะระดับน้ำตาลในเลือดค่าและป้องกันการเกิดภาวะไขมันในเลือดสูงสำหรับผู้ป่วยโรคเบาหวานชนิดที่ 2 ได้ (Iyer et al., 2010) สำหรับต้านอ่อน化ข้าวบาร์เลย์พบว่ามีสารอาหารคล้ายกับต้านอ่อน化ข้าวสาลี ซึ่งโดยทั่วไปจะนิยมนำข้าวบาร์เลย์มาปรุงเป็นผลิตภัณฑ์อาหาร เช่น เมียร์ วิสกี้ เหล้า เป็นต้น ทั้งนี้ในต้านอ่อน化ข้าวบาร์เลย์อุดมไปด้วยวิตามินและแร่ธาตุหลายชนิด เช่น วิตามินบี ไนอาซิน ไทอามิน และแร่ธาตุโพแทสเซียม เป็นต้น โดยพบว่าเมล็ดของข้าวบาร์เลย์ที่กำลังออกจะมีกิจกรรมของเอนไซม์ภายในเมล็ดสูงขึ้น และมีคุณค่าทางโภชนาการที่ดี

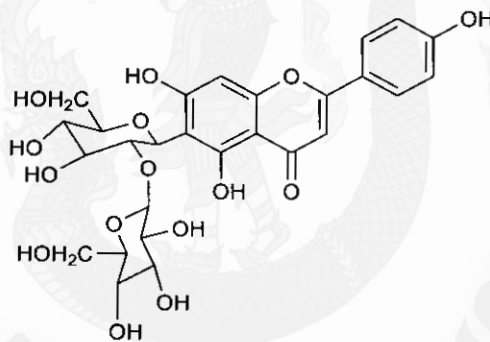
จากการวิเคราะห์สารสกัดจากต้านอ่อน化ข้าวบาร์เลย์ โดยทำการศึกษาสารต้านอนุมูลอิสระต่อระดับไขมันและระดับน้ำตาลในเลือดของผู้ป่วยเบาหวานชนิดที่ 2 พบร่วมกับเมื่อให้ผู้ป่วยรับประทานสารสกัดจากต้านอ่อน化ข้าวบาร์เลย์ กายหลัง 4 สัปดาห์ ส่วนผลให้ระดับ triglyceride, cholesterol รวมทั้งปริมาณของไขมัน LDL มีระดับที่ลดลง อีกทั้งยังช่วยทำให้ระดับของไขมัน HDL เพิ่มขึ้นเมะจะเพิ่มขึ้นเพียงเล็กน้อย

มีการศึกษาถึงผลกระทบต่อความไวของการเกิดออกซิเดชันของไขมัน LDL พบว่าในกลุ่มผู้ป่วยที่ได้รับสารสกัดจากต้านอ่อน化ข้าวบาร์เลย์เพียงอย่างเดียว ส่วนผลให้ระยะเวลาในการเกิด Sd-LDL น้อยกว่ากลุ่มที่ได้รับวิตามินซีและวิตามินอี รวมทั้งกลุ่มที่ได้รับสารสกัดต้านอ่อน化ข้าวบาร์เลย์ร่วมกับการใช้วิตามินซีและวิตามินอี ทั้งนี้ตัว Sd-LDL เป็นไขมัน LDL ที่มีโมเลกุลขนาดเล็กกว่าไขมัน B-LDL ซึ่งตัว Sd-LDL มีบทบาทสำคัญในการเกิดออกซิเดชันของไขมัน LDL ได้มากกว่า B-LDL ที่มีขนาดใหญ่

อีกทั้งยังมีการศึกษาผลต่อการขับอนุมูลอิสระของสารต้านอนุมูลอิสระ พบร่วมกับใน การขับอนุมูลอิสระของสารต้านอนุมูลอิสระจากสารสกัดต้านอ่อน化ข้าวบาร์เลย์ เปรียบเทียบกับการใช้วิตามินซี วิตามินอี พบร่วม สารต้านอนุมูลอิสระจากสารสกัดต้านอ่อน化ข้าวบาร์เลย์ มีผลต่อความไวของการเกิดอนุมูลอิสระ ซึ่งจะใช้ตัวบ่งชี้ถึงความไวต่อการขับอนุมูลอิสระ คือ ตัว lucigenin-CL เป็นตัวบ่งชี้ถึงความไวในการเกิด superoxide anions ส่วนตัว luminol-CL นั้นเป็นตัวบ่งชี้ถึงความไวในการเกิดอนุมูลอิสระของ O₂ ซึ่งอนุมูลอิสระทั้ง 2 ตัวนี้เป็นตัวที่เกิดจาก NADP(H) oxidase ในเซลล์เม็ดเลือดขาว ผลที่ได้แสดงให้เห็นถึงการเสริมด้วยสารสกัดจากต้านอ่อน化ข้าวบาร์เลย์จะช่วยลดระดับของการเกิด O₂ และ superoxide anions ในเลือดของผู้ป่วยเบาหวานชนิดที่ 2 ได้ ทั้งนี้ ความสามารถในการขับกับอนุมูลอิสระอาจมาจากสารประกอบพอลิฟินอลที่มีอยู่ในต้านอ่อน化

บาร์เลย์ร่วมด้วย ซึ่งประสิทธิภาพที่ได้เทียบเท่ากับการใช้สารต้านอนุมูลอิสระในรูปแบบสังเคราะห์ เช่น วิตามินซี วิตามินอี (Yu et al., 2002)

ต้นอ่อนข้าวบาร์เลย์มีสารที่สำคัญ คือ 2"-O-glycosylisovitexin (2"-O-GIV) ซึ่งเป็นสารต้านอนุมูลอิสระที่อยู่ในกลุ่มของสารประกอบฟลาโวนอยด์ (flavonoid) (Osawa et al., 1992) ดังภาพ 4 สารดังกล่าว พบร่วมกับคุณสมบัติในการป้องกันเซลล์จากความเสียหายจากปฏิกิริยาออกซิเดชัน โดยลดการเกิด malondialdehyde จากปฏิกิริยาออกซิเดชันของไขมันอันเนื่องจากรังสีอัลตร้าไวโอเลต และช่วยลดปริมาณไขมัน LDL ซึ่งเป็นสาเหตุของการเกิดโรคความดันโลหิตสูง และโรคหลอดเลือดหัวใจ อีกทั้งยังเพิ่มกระบวนการเมตาบoliซึม ป้องกันการอักเสบ รวมถึงเสริมสร้างระบบภูมิคุ้มกันในร่างกาย (Bamforth, 1983; Aruoma and Halliwell, 1987; Johnson and Mokler, 2000; Nakajima et al., 1993; Acar et al., 2001; Janda et al., 2003; Lee et al., 2003)



ภาพ 4 โครงสร้าง 2"-O-glycosylisovitexin

ที่มา: ตัดแปลงจาก Osawa et al. (1992)

ปัจจุบันมีการศึกษาสมบัติในการช่วยรักษาความผิดปกติด้านสุขภาพมากมายของสารสกัดจากต้นอ่อนข้าวบาร์เลย์ เช่น โรคอ้วน โรคเบาหวาน โรคไขข้อ โรคโลหิตจาง ภาวะคอเลสเตรอรอลในเลือดสูงเกินปกติ โรคไต และโรคมะเร็ง อีกทั้งสารคลอโรฟิลล์ที่พบในพืชสีเขียว นั้นยังมีฤทธิ์ในการต้านการอักเสบ (Anti-inflammatory) ป้องกันการเกิดเซลล์มะเร็งผิวหนัง (Johnson and Mokler, 2000; Nishiyama et al., 1994) เนื่องจากคุณสมบัติในการเป็นสารต้านอนุมูลอิสระที่ดีซึ่งสอดคล้องกับการศึกษาที่พบร่วมกับสารสกัดจากน้ำใบอ่อนข้าวบาร์เลย์มีสารประกอบพวงไกල์โคโปรตีน เช่น เอนไซม์ D1G1 เอนไซม์ P4D1 ที่มีคุณสมบัติในการต้านการอักเสบที่ดีกว่า แอลไฟริน (Kubota et al., 1983)

อนุมูลอิสระ (Free radicals)

อนุมูลอิสระ (Free radical หรือ oxidant) คือ อะตอม โมเลกุล หรือไอออนที่มีอิเล็กตรอนอิสระคู่โคลคเดียว (unpaired electrons) ที่ไม่เสด็จรอญู่ในออร์บิทัลวงรอบนอกสุด มีพลังงานสูงและว่องไวต่อการเกิดปฏิกิริยา กับสารชีวโมเลกุลต่างๆ ที่อยู่รอบข้างได้ทันทีที่ถูกสร้างขึ้น รวมถึงอะตอมของไฮโดรเจน และอิオนของโลหะทรานซิชัน (ไฮภา และคณะ, 2549) นอกจากนี้ยังรวมถึงโมเลกุลของออกซิเจนด้วย อนุมูลอิสระมีทั้งที่อยู่ในสภาพที่เป็นกลางทางไฟฟ้า และสภาพที่มีประจุไฟฟ้า โดยมีสัญลักษณ์ทางเคมีของอนุมูลอิสระ คือ อิเล็กตรอนเดียวของอนุมูลที่แสดงด้วยจุดในตัวแทนที่อยู่ในสัญลักษณ์ที่ว่าไป คือ R^{\bullet} อนุมูลอิสระที่มีความสำคัญได้แก่ อนุมูล superoxide anion ($O_2^{\bullet-}$), hydroxyl (OH^{\bullet}), peroxy (ROO $^{\bullet}$), alkoxyl (RO $^{\bullet}$), nitric oxide (NO $^{\bullet}$) และ nitrogen dioxide (NO $_2^{\bullet}$) เป็นต้น

อนุมูลอิสระดังกล่าวส่งผลทำให้เกิดความเสียหายแก่องค์ประกอบต่างๆ ของเซลล์ภายในร่างกาย อาทิ ส่งผลต่อการทำลายโครงสร้างดีเอ็นเอ (DNA) การเปลี่ยนแปลงของโปรตีนและไขมันของเยื่อหุ้มเซลล์ ผลต่อการทำงานของ.enoen ไซม์บางชนิดทำให้การทำงานของโปรตีน หรือเอนไซม์เหล่านี้ผิดปกติได้ (เงนจิรา และประสงค์, 2554) อีกทั้งยังเป็นสาเหตุสำคัญของการเกิดโรคหล่ายชนิด ซึ่งสารอนุมูลอิสระเกิดจากการใช้ออกซิเจนของกระบวนการเมtabolism ของเซลล์ รวมทั้งปัจจัยจากสิ่งแวดล้อมภายนอก เช่น แสงพิษ การติดเชื้อโรค รังสีอัลตราไวโอเลต ไอโอดิน ควันจากท่อไอเสีย รถยนต์ หรือควันบุหรี่ เป็นต้น อนุมูลอิสระที่เกิดขึ้นเหล่านี้สามารถถูกกำจัดหรือลดความรุนแรงด้วยสารที่เรียกว่า สารต้านอนุมูลอิสระ (antioxidants) ที่มีความสามารถจับกับอนุมูลอิสระ แล้วเกิดเป็นอนุมูลอิสระตัวใหม่ที่มีความเสถียรมากกว่าเดิม ส่งผลทำให้หยุดลงของการเกิดอนุมูลอิสระตัวใหม่ได้ ปัจจุบันมีการศึกษาเพื่อหาสารที่สามารถลดความรุนแรง กลไก หรือปฏิกิริยาเคมี รวมทั้งบทบาทของสารต้านอนุมูลอิสระเป็นปัจจัย และสิ่งสำคัญที่จะช่วยให้สามารถป้องกันอันตรายที่อาจจะเกิดขึ้นกับร่างกายได้ (เงนจิรา และ ประสงค์, 2554)

การเกิดอนุมูลอิสระ

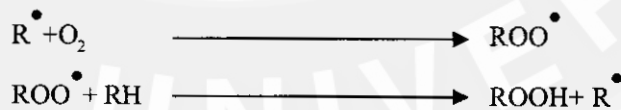
สิ่งที่ชีวิตทุกชนิดจะมีการใช้ออกซิเจนเพื่อการดำรงชีวิต และจะมีอนุมูลอิสระของออกซิเจนเกิดขึ้นอยู่บ่อยๆ มากตาม ปฏิกิริยาการเกิดอนุมูลอิสระจัดเป็นปฏิกิริยาลูกโซ่ (free radical chain reaction) ซึ่งมีกลไกการเกิดปฏิกิริยา 3 ขั้นตอน (Pratt and Hudson, 1990) การเกิดอนุมูลอิสระเหล่านี้มีสาเหตุมาจากการปัจจัยภายในและภายนอกร่างกาย

1. ปัจจัยภายในร่างกาย

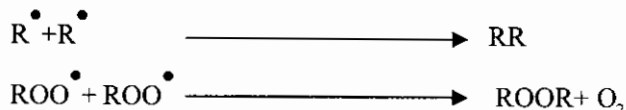
ปฏิกิริยาของออกซิเดชันที่เกิดขึ้นเอง (auto oxidation) ซึ่งมีกลไกการเกิดปฏิกิริยา 3 ขั้นตอน คือขั้นตอนแรกเรียกว่า อินนิทิเอชัน (initiation step) เป็นขั้นตอนที่ทำให้เกิดอนุมูลอิสระมักเกิดจากปฏิกิริยาการสลายพันธะด้วยน้ำ (hydrolysis) แสง (photolysis) รังสี (radiolysis) หรืออุณหภูมิ เป็นตัวเร่งปฏิกิริยา



ขั้นตอนที่สองเรียกว่าพรอบพาเกชัน (propagation step) เป็นขั้นตอนที่อนุมูลอิสระถูกเปลี่ยนไปเป็นอนุมูลตัวอื่นอนุมูลอิสระที่เกิดขึ้นในขั้นตอนอินนิทิเอชันจะดำเนินปฏิกิริยาอย่างต่อเนื่อง ในขั้นตอนพรอบพาเกชัน โดยเกิดปฏิกิริยาขึ้น 2 ทางคือ โดยการดึงเอาอะตอมไฮโดรเจนจากโมเลกุลข้างเคียงหรือโดยการทำปฏิกิริยากับโมเลกุลออกซิเจนที่อยู่ในสถานะ ground state ทำให้เกิดอนุมูลอิสระตัวใหม่



ขั้นตอนสุดท้ายเรียกว่าขั้นตอนเทอร์มิเนชัน (termination step) เป็นขั้นตอนที่มีการรวมกันของอนุมูลอิสระ 2 อนุมูล ได้เป็นสารที่มีความเสถียร



2. ปัจจัยภายนอกร่างกาย

2.1 ยา rakyma โรคทางช่องท้องที่รับประทานเข้าไปในร่างกายสามารถถูกทำให้เกิดอนุนูกลอิสระได้ โดยเฉพาะอย่างยิ่ง ยาในกลุ่มต้านจุลชีพและต้านมะเร็ง เช่น บลีโอมีซิน (bleomycin) และแอนทร้าไซคลินส์ (antracyclines) (Voest et al., 1994) เนื่องจากมีฤทธิ์เสริมปฏิกิริยาออกซิเดชัน

2.2 การใช้รังสีในการรักษาโรค เช่น รังสีเอกซ์ (X-ray) รังสีแกมมา (γ -ray) อาจเป็นสาเหตุทำให้เกิดอนุนูกลอิสระขึ้น ในร่างกายจากการถ่ายทอดพลังงานให้กับน้ำ ซึ่งเป็นส่วนประกอบของเซลล์แล้วก่อให้เกิดปฏิกิริยาออกซิเดชันกับออกซิเจนที่ละลายอยู่ในเซลล์ได้ อนุนูกลอิสระเกิดขึ้น

2.3 ควันบุหรี่ มีส่วนประกอบของไนตริกออกไซด์ (NO^+) ในโทรศัพท์ ออกไซด์ (NO_2) และเพอร์ออกซีไนโตรฟ์ (ONOO^-) รวมทั้งสารพิษได้แก่ ชัลเฟอร์ไดออกไซด์ (SO_2) และคาร์บอนเตตคลอไรด์ (CCl_4) ซึ่งจะถูกกำจัดจากการร่างกายโดยการทำงานของเอนไซม์ไซโตโคโรน P-450 ที่มีในเซลล์ตับและพบได้ในเซลล์ปอดและลำไส้ทำให้เป็นสาเหตุของการสร้างอนุนูกลอิสระ

2.4 โอโซน ไม่ได้เป็นอนุนูกลอิสระแต่จัดเป็นสารออกซิไดส์แรงสูง ซึ่งสามารถเปลี่ยนรูปเป็นอนุนูกลอิสระออกซิล ได้จากการกระตุ้นของคลื่นแสง (เงนจิรา และประสงค์, 2554)

สารต้านอนุมูลอิสระ (Antioxidants)

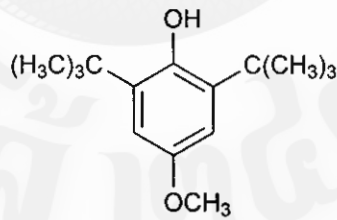
สารต้านอนุมูลอิสระ (antioxidant) คือ สารที่สามารถชะลอหรือป้องกันการเกิดปฏิกิริยาออกซิเดชัน (oxidation) ของอนุมูลอิสระ ได้ สามารถทำปฏิกิริยากับอนุมูลอิสระโดยตรง เพื่อกำจัดอนุมูลอิสระ (free radical scavengers) หรือหดปฏิกิริยาลูกโซ่ของการเกิดอนุมูลอิสระไม่ให้ดำเนินต่อไป สารเหล่านี้มีกลไกในการต้านอนุมูลอิสระหลายแบบ เช่น ดักจับ (scavenge) อนุมูลอิสระ โดยตรง บัญชีการสร้างอนุมูลอิสระหรือเข้าจับ (chelate) กับโลหะเพื่อป้องกันการสร้างอนุมูลอิสระ (Sies et al., 1991) โดยทั่วไปแล้วอนุมูลอิสระสามารถพบได้ในธรรมชาติจากหลายสารชนิด เช่น กรดบูริก บิลิรูบิน จะกำจัดอนุมูล และวิตามินซี วิตามินอี กลูต้าไธโอน เบต้า-แคโรทีน รวมทั้งสารประกอบพอลิฟีนอล ซึ่งเป็นสารพฤกษ์เคมีที่สามารถพบได้ในพืชผักและผลไม้ เพื่อเข้าไปช่วยเสริมสร้างระบบต่อต้านปฏิกิริยาออกซิเดชันในร่างกายทำให้มีประสิทธิภาพในการทำลายอนุมูลอิสระได้ดียิ่งขึ้น และหดปฏิกิริยาลูกโซ่ของการเกิดอนุมูล ซึ่งสารต้านอนุมูลอิสระประเภทหลังมีบทบาทสำคัญในการทำให้ลิพิดเปลอร์ออกซิเดชันสิ้นสุดลง (โอภา และคณะ, 2549)

สารต้านอนุมูลอิสระเหล่านี้จะทำหน้าที่คุ้มครองอนุมูลอิสระต่างๆ ให้อยู่ในระดับที่พอเหมาะ แต่ถ้าเกิดอนุมูลอิสระที่มากเกินกว่าร่างกายจะป้องกันได้จะทำให้เกิดสภาวะที่เรียกว่า oxidative stress ขึ้น ภายใต้สภาวะดังกล่าวอนุมูลอิสระจะทำอันตรายต่อเนื้อเยื่อเซลล์ต่างๆ ของร่างกาย ซึ่งถ้าสะสมมากๆ อาจนำไปสู่ความผิดปกติ หรือพยาธิสภาพอย่างได้ (เจนจิราและประสงค์, 2554) ปัจจุบันได้มีการศึกษาถึงทางชีวภาพของสารต้านอนุมูลอิสระเพิ่มมากขึ้น การศึกษาข้อมูลทางเภสัชวิทยาของสารต้านอนุมูลอิสระ พบว่า มีสารออกฤทธิ์หลายชนิดที่มีส่วนช่วยเสริมสุขภาพและป้องกันการเกิดโรคในมนุษย์ เช่น เบต้า-แคโรทีน และลูทินที่มีฤทธิ์ต้านการก่อภัยพันธุ์ (antimutagenic) สารประกอบฟีนอลที่ช่วยบัญชีการทำงานของเอนไซม์แอลฟากลูโคซิเดส (α -Glucosidase) ซึ่งมีผลช่วยลดปริมาณน้ำตาลในเลือด ได้ในผู้ป่วยโรคเบาหวาน (Cornish and Garbary, 2010)

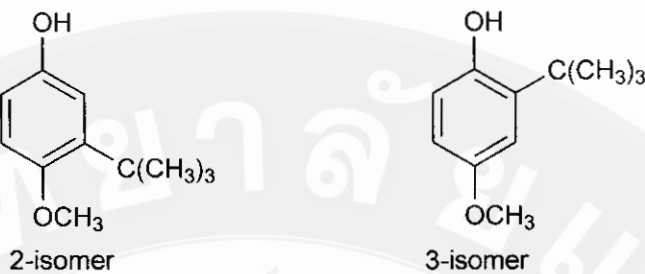
ประเภทของสารต้านอนุมูลอิสระ

ปัจจุบันเป็นที่ทราบกันโดยทั่วไปว่า สารต้านอนุมูลอิสระ โดยเฉพาะอย่างยิ่งที่ได้มาจากการพืชพัก ผลไม้ และสมุนไพร ได้รับความสนใจและศึกษา กันอย่างกว้างขวาง ซึ่งผลดังกล่าว มีความเกี่ยวข้องกับฤทธิ์ในการต้านอนุมูลอิสระ ทั้งนี้สารต้านอนุมูลอิสระแบ่งได้แหล่งที่มาได้ 2 ประเภท คือ สารต้านอนุมูลอิสระที่ได้จากการสังเคราะห์ และสารต้านอนุมูลอิสระที่ได้จากธรรมชาติ

1. สารต้านอนุมูลอิสระที่ได้จากการสังเคราะห์ ส่วนใหญ่จะเป็นสารจำพวกสารประกอบฟิโนลด์ที่นิยมเติมลงในไขมัน น้ำมัน และผลิตภัณฑ์อาหารที่ผ่านกระบวนการผลิต เช่น บีเอชที (2,6-ditertiary-butyl-p-cresol), บีเอเชอ (3-tertiary-butyl-4-hydroxyanisole), propyl gallate ซึ่งมีสูตรโครงสร้างดังภาพ 5 และ 6 เป็นสารต้านอนุมูลอิสระที่นิยมใช้ในอุตสาหกรรมอาหารเพื่อขับยั้งการเกิดปฏิกิริยาออกซิเดชันของไขมันที่เป็นสาเหตุของการเกิดกลิ่นหืน มีรากฐานที่เปลี่ยนแปลงไป สารสังเคราะห์เหล่านี้มีประสิทธิภาพและความคงตัวสูงกว่าสารสกัดที่ได้จากธรรมชาติ แต่มีข้อจำกัดของการใช้เนื่องจากปัญหาด้านความปลอดภัยในการบริโภค (Yang et al., 2000)



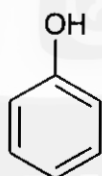
ภาพ 5 โครงสร้าง บีเอชที
ที่มา: ดัดแปลงจาก ศิราพร (2546)



ภาพ 6 โครงสร้าง บีเอชเอ

ที่มา: ดั้งแปลงจาก ศิริพร (2546)

2. สารต้านอนุมูลอิสระที่ได้จากการดูดซึมในกระเพาะอาหาร สารในกลุ่มนี้ได้รับความสนใจเป็นอย่างมากและมีการค้นคว้าในปัจจุบันเนื่องจากมีความเชื่อมั่นว่ามีความปลอดภัยในการบริโภคมากกว่าสารจากการสังเคราะห์ ตัวอย่างสารต้านอนุมูลอิสระจากธรรมชาติ เช่น วิตามินซี วิตามินอี เบต้า-แครอทีน แคโรทีโนยด์ รวมทั้งสารประกอบในกลุ่มฟลูอิฟีโนอล เช่น พลาโวนอยด์ (flavonoids) ฟีนิลโพร์พานอยด์ (phenylpropanoids) เป็นต้น ซึ่งเป็นสารที่ไม่ให้คุณค่าทางโภชนาการ โดยปัจจุบันพบว่าสารประกอบในกลุ่มฟีโนอลเป็นสารที่มีบทบาทสำคัญในการต้านอนุมูลอิสระ (โอภา และคณะ, 2549) สารประกอบกลุ่มฟีโนอลจะประกอบด้วยโครงสร้างที่เป็นวงอะโรมาติก และมีหมู่แทนที่เป็นไฮดรอกซิออกไซด์อยู่บ้างน้อยหนึ่งหมู่ ดังภาพที่ 7

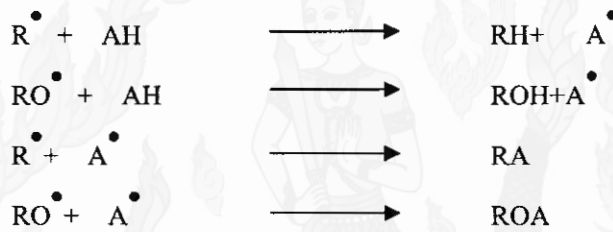


ภาพ 7 โครงสร้างพื้นฐานของสารประกอบกลุ่มฟีโนอล

ที่มา: ดั้งแปลงจาก โอภา และคณะ (2550)

กลไกการทำงานของสารต้านออกซิเดชัน

กลไกการทำงานของสารต้านออกซิเดชัน คือ จะเข้าไปรบกวนปฏิกิริยาออกซิเดชันด้วยการให้ไฮโดรเจนอะตอมแก่อนุมูลอิสระมีความเสถียรขึ้น ซึ่งกลไกของปฏิกิริยาจะเกิดขึ้นอย่างรวดเร็ว แล้วอนุมูลอิสระดังกล่าวจะเปลี่ยนไปเป็นผลิตภัณฑ์ตัวอื่นที่มีความเสถียรหรือคงตัว (เจนจิรา และประสงค์, 2554) ดังปฏิกิริยา



สารต้านออกซิเดชันจะทำหน้าที่เป็นตัวให้ไฮโดรเจนอะตอมหรืออิเล็กตรอนแก่อนุมูลอิสระ โดยจะยับยั้งหรือชลปปฏิกิริยาออกซิเดชันในขั้นตอนเริ่นต้น ซึ่งจะทำปฏิกิริยากับอนุมูลอิสระ (R^{\bullet}) หรือยับยั้งในขั้นตอนการเพิ่ม โดยจะทำปฏิกิริยากับอนุมูล Peroxide radical (ROO^{\bullet}) หรืออนุมูลอัลกอคซี (Alkoxy radical, RO^{\bullet}) และอนุมูลของสารต้านอนุมูล (A^{\bullet}) ซึ่งจะทำให้ปฏิกิริยาหยุดลงและได้ผลิตภัณฑ์ที่ไม่ได้อยู่ในรูปของอนุมูลอิสระทั้งนี้โดยธรรมชาติจะมีอนุมูลอิสระเกิดขึ้นในเซลล์และร่างกายหลายชนิด ทั้งที่เป็นประโยชน์และให้โทษ ด้วยเช่นกัน กลไกสำคัญที่ทำหน้าที่ในการควบคุมปริมาณอนุมูลอิสระจะทำหน้าที่ลดผลกระทบที่เป็นอันตรายของอนุมูลต่อเซลล์ ในสภาวะปกติก็ໄกเหล่านี้ถือว่าเพียงพอต่อการรักษาปริมาณอนุมูลอิสระให้อยู่ในสภาวะสมดุลได้ ซึ่งถือว่าสามารถควบคุมได้แม้ว่าจะมีอนุมูลอิสระเกิดขึ้น และหากเกิดภาวะผิดปกติที่ทำให้กลไกการป้องกันเหล่านี้บกพร่องไม่สามารถที่จะควบคุมภาวะสมดุลได้ จะนำไปสู่การเกิดภาวะที่เซลล์และร่างกายถูกออกซิได้สูงเกินสมดุล (oxidative stress) และทำให้เกิดโรคต่างๆ ขึ้นภายในร่างกายได้ (โภกา และคณะ, 2549)

สารประกอบฟีโนอล (Phenolic compounds)

สารประกอบฟีโนอลที่พบในพืชมีคุณสมบัติเป็นสารต้านอนุมูลอิสระ รวมถึงกรดฟีโนอล (phenolic acid) ฟลาโวนอยด์ และอนุพันธุ์ (flavonoid and derivatives) เอสเทอร์ของกรดแกลลิก (ester of gallic acid) ลิกนิน (lignin) ความารีน (coumarine) และฟลาโวน (flavone) เป็นต้น (Shahidi, 1997) โดยทั่วไปสารประกอบฟีโนอลที่จัดอยู่ในกลุ่ม primary antioxidant ส่วนใหญ่เป็นสารที่พบมากในธรรมชาติ เช่น พืชผัก ผลไม้ ชาเขียว ไวน์แดง เป็นต้น ปัจจุบันพบสารประกอบฟีโนอลมากกว่า 8,000 ชนิด ซึ่งโครงสร้างพื้นฐานของสารประกอบฟีโนอลจะประกอบด้วยโครงสร้างที่เป็นวงอะโรมาติก (aromatic ring) และมีหมุนแทนที่เป็นหมู่ไฮดรอกซิล (OH-group) อย่างน้อยหนึ่งหมู่ในโครงสร้าง ดังแสดงในตาราง 2 โดยทั่วไปจะเกิดจากการรวมตัวของโมเลกุลของน้ำตาลตั้งแต่ 1 โมเลกุลขึ้นไปกับหมู่ไฮดรอกซิล โดยนำน้ำตาลชนิดที่พบมากที่สุดในโมเลกุลของสารประกอบฟีโนอล คือ น้ำตาลกลูโคส (glucose) (Bravo, 1998)

สารประกอบในกลุ่มโพลีฟีโนอล (polyphenol) เป็นสารที่มีบทบาทสำคัญในการต้านอนุมูลอิสระ จัดเป็นสารประกอบในกลุ่มฟีโนอล มีฤทธิ์ในการต้านเชื้อแบคทีเรีย ต้านไวรัส ต้านการอักเสบ ต้านการแพ้ มีคุณสมบัติในการสลายลิ่มเลือด ช่วยลดระดับคอเลสเตอรอล รวมทั้งช่วยในการต้านการเกิดมะเร็ง และสามารถลดความดันโลหิตจากฤทธิ์ขยายหลอดเลือด เป็นต้น คุณสมบัติดังกล่าวมีความสัมพันธ์กับคุณสมบัติการเป็นสารต้านอนุมูลอิสระ (โօภา และคณะ, 2549) โดยสารประกอบที่สำคัญและพบมากที่สุดในกลุ่มสารประกอบโพลีฟีโนอล ได้แก่ ฟลาโวนอยด์

สมบัติการต้านออกซิเดชันของสารประกอบฟีโนอล

สมบัติที่สำคัญของสารประกอบฟีโนอล คือ ความสามารถในการต้านปฏิกิริยาออกซิเดชัน ซึ่งเกิดจากอนุมูลอิสระ โดยสารประกอบฟีโนอลจะไปรบกวนปฏิกิริยาออกซิเดชันด้วยการให้ไฮโดรเจนอะตอน คือ หมู่ไฮดรอกซิ (-OH) แก่อนุมูลอิสระอย่างรวดเร็วเพื่อให้ออนุมูลอิสระมีความเสถียรมากขึ้น จึงไม่สามารถเกิดปฏิกิริยาออกซิเดชันกับโมเลกุลอื่นๆต่อไปได้ ดังปฏิกิริยา



ตาราง 2 โครงสร้างของสารประกอบฟีโนลในกลุ่มต่าง ๆ

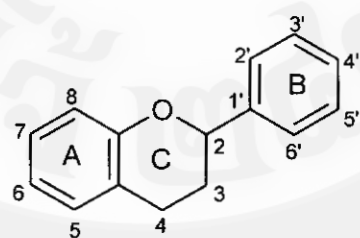
Class	Basic Skeleton	Basic Structure
Simple phenols	C ₆	
Benzoquinones	C ₆	
Phenolic acids	C ₆ -C ₁	
Acetophenones	C ₆ -C ₂	
Phenylacetic acids	C ₆ -C ₂	
Hydroxycinnamic acids	C ₆ -C ₃	
Phenylpropenes	C ₆ -C ₃	
Coumarins, isocoumarins	C ₆ -C ₃	
Chromones	C ₆ -C ₃	
Naphthoquinones	C ₆ -C ₄	
Xanthones	C ₆ -C ₁ -C ₆	
Stilbenes	C ₆ -C ₂ -C ₆	
Anthraquinones	C ₆ -C ₂ -C ₆	
Flavonoids	C ₆ -C ₂ -C ₆	
Lignans, neolignans	(C ₆ -C ₃) ₂	
Lignins	(C ₆ -C ₃) _n	

ที่มา: ดัดแปลงจาก Bravo (1998)

ดังนั้นสารประกอบฟีโนอลจึงมีคุณสมบัติเป็นสารต้านอนุมูลอิสระ นอกจากรู้ว่าสารประกอบฟีโนอลซึ่งมีสมบัติเป็นสารคีเลต (chelating agent) โดยทำหน้าที่จับกับโลหะ เช่น ทองแดง และเหล็ก ที่มีบทบาทสำคัญในการกระตุ้นการเกิดปฏิกิริยาลูกโซ่ของอนุมูลอิสระ (โอลกา และคณะ, 2549) ปัจจุบันเป็นที่ยอมรับทั่วไปในวงการแพทย์ว่า การบริโภคอาหารที่อุดมด้วยฟลาโวนอยด์ โดยเฉพาะอย่างยิ่งผักและผลไม้ที่เป็นประโยชน์ต่อสุขภาพ ซึ่งมีการศึกษาทางระบบวิทยาพบว่า ความสัมพันธ์ระหว่างอัตราการเกิดของโรคต่างๆ เช่น โรคหัวใจ โรคมะเร็ง ระบบทางเดินอาหาร โรคทางระบบประสาท โรคดับหลอดเลือด โรคอ้วน และโรคภูมิแพ้ มีอัตราการเกิดโรคที่ลดลง (Frei and Higdon, 2003; Lotito and Frei, 2006; Ramos, 2007) ทั้งนี้คุณสมบัติดังกล่าว นี้จึงมีความสัมพันธ์กับคุณสมบัติการเป็นสารต้านอนุมูลอิสระ

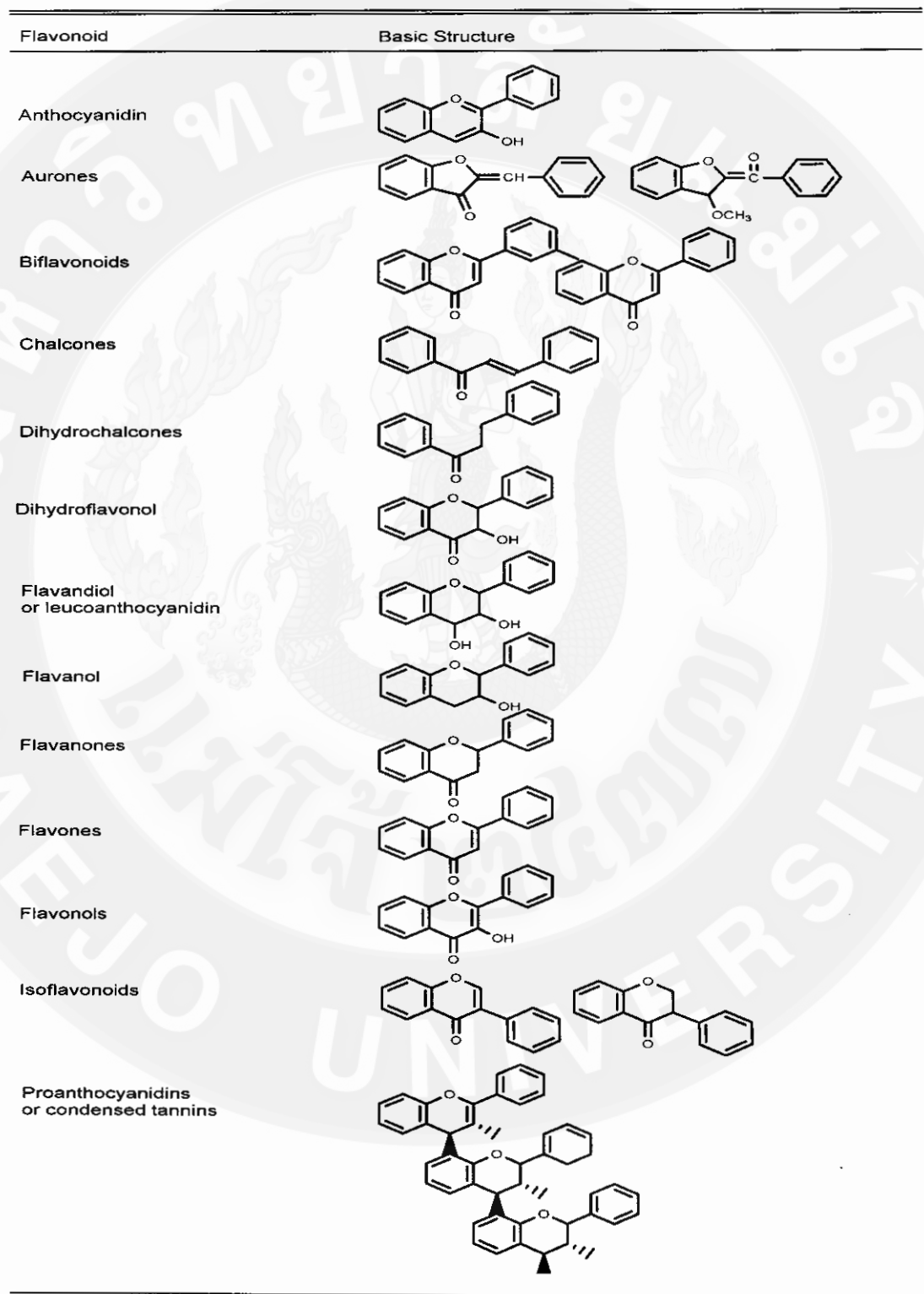
ฟลาโวนอยด์ (Flavonoids)

สารฟลาโวนอยด์พบได้ทั่วไปในทุกส่วนของพืชสีเขียว จัดเป็นสารสำคัญในกลุ่ม polyphenol มีสูตรโครงสร้างหลักเป็นฟลาวน (flavan) ประกอบด้วยวงแหวน 2 วงที่เชื่อมต่อกันด้วยคาร์บอนสามอะตอม ($C_6C_3C_6$) และมีการระบุตำแหน่งของคาร์บอนอะตอมในโมเลกุลของฟลาโวนอยด์ ดังแสดงในภาพ 8



ภาพ 8 โครงสร้างพื้นฐานของสารฟลาโวนอยด์
ที่มา: ดัดแปลงจาก Bravo (1998)

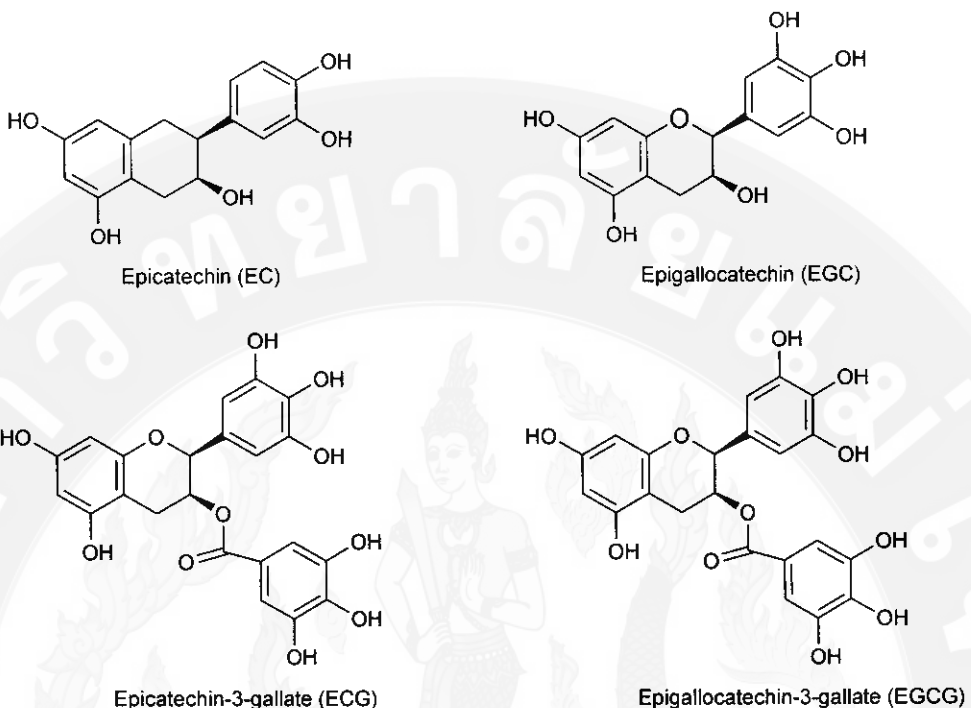
ตาราง 3 โครงสร้างของสารประกอบฟลาโวนอยด์ในกลุ่มต่าง ๆ



สารฟลาโวนอยด์ แบ่งเป็นกลุ่มย่อยได้หกหลายกลุ่ม ได้แก่ ฟลาโวน (flavones เช่น rutin, apigenin, luteolin) และฟลาโวนอล (flavonols เช่น quercetin, mricetin, kaemferol) นอกจากนี้พบในกลุ่มนี้ๆ อาทิเช่น ฟลาโวนอน (flavonones เช่น naringin, taxfolin, fisetin, hesperetin) ซึ่งจะพบได้ในผลของพืชตระกูลส้ม มะนาว เป็นต้นของพืชตระกูลส้ม มะนาว (โฉกา และคณะ, 2549) ดังแสดงในตารางที่ 3 อีกทั้งยังพบสารในกลุ่มฟลาวนอล (flavanols เช่น catechin, epicatechin, gallicatechin) ซึ่งเป็นสารฟลาโวนอยด์ที่พบมากที่สุดในชา และมีประโยชน์ต่อสุขภาพในหลายทาง เช่น มีคุณสมบัติเป็น anti-inflammatory สามารถรักษาอาการอักเสบได้ ช่วยลดระดับไขมันในเส้นเลือด ช่วยเพิ่มความร้อนให้แก่ร่างกาย และกระตุ้นการทำงานของจุลินทรีย์ที่มีประโยชน์ในลำไส้ได้ (Johnson et al., 2010)

カテชิน (Catechins)

カテชินเป็นสารในกลุ่มโพลีฟีโนลจำพวก ฟลาวนอล สามารถพบได้ในอาหารประเภทต่างๆ เช่น โกโก้ ไวน์ แอบเปิล แต่พบปริมาณสูงสุดในชาเขียว ซึ่งมีประมาณ 60-70% ของโพลีฟีโนลทั้งหมดในชา カテชินเป็นสารที่ไม่มีสี ละลายได้ในน้ำ มีรสชาติดมและฝาด กลุ่มของカテชินที่พบมากในชาได้แก่ (-)-epicatechin (EC), (-)-epigallocatechin (EGC), (-)-epicatechin gallate (ECG) และ (-)-epigallocatechin gallate (EGCG) โดยสารカテชินเหล่านี้มีอยู่ประมาณ 90% ของカテชินทั้งหมด (Balentine et al., 1997) ทั้งนี้เป็นสารโภชนาการ (nutraceutical) ที่มีฤทธิ์เป็นสารต้านออกซิเดชัน (antioxidant) สามารถจับกับอนุมูลอิสระ และเป็น chelating agent ที่รวมตัวกับไอออนของโลหะ ได้ ซึ่งทำให้สารカテชินมีคุณสมบัติในการต้านอนุมูลอิสระ ซึ่งเป็นประโยชน์ทางค้านสุขภาพ อาทิเช่น ช่วยลดความเสี่ยงในการเกิดโรคหัวใจและโรคหลอดเลือด (Hirano et al., 2002) ช่วยลดความอ้วน (Rain et al., 2011) และช่วยควบคุมระดับน้ำตาลในเลือดของการเกิดโรคเบาหวาน (Kao et al., 2002) เป็นต้น



ภาพ 9 โครงสร้างของสาร catechin

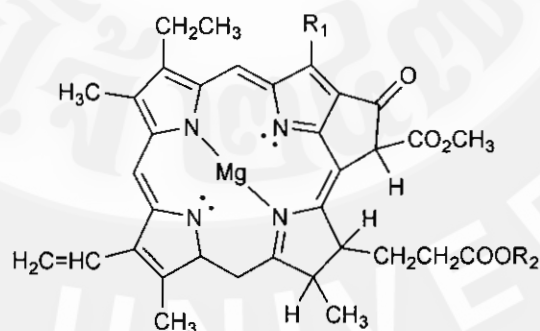
ที่มา: คัดแปลงจาก Johnson et al. (2010)

catechin เป็นกลุ่มสารที่สำคัญของพืชตระกูลชา โดยโครงสร้างหลักของสารกลุ่มนี้จะเป็น flavan-3-ols ซึ่งวง C จะอิ่มตัวไม่มีพันธะคู่ ทำให้อเลกตรอนไม่สามารถเคลื่อนที่ไปมาดังนั้น ฤทธิ์ในการต้านออกซิเดชันจึงขึ้นอยู่กับจำนวนหมู่ฟีโนลในโครงสร้าง โดยสารที่มีจำนวนหมู่ฟีโนลมากจะให้ฤทธิ์การต้านออกซิเดชันมาก สารที่เป็น catechin-gallate ester ที่เพิ่มหมู่ gallate ที่ตำแหน่ง 3-OH ทำให้มีจำนวนหมู่ฟีโนลเพิ่มขึ้น จะมีฤทธิ์มากกว่า (โภภา และคณะ, 2549) เมื่อเรียบลำดับฤทธิ์ต้านออกซิเดชันของสารกลุ่ม catechin มากจากมากไปน้อยพบว่า ECG > EGCG > EGC > EC อย่างไรก็ตาม พบร่วมกัน ฤทธิ์การต้านออกซิเดชันของสารกลุ่ม catechin จะมากกว่าวิตามินอี หรือวิตามินซีกว่า 2 เท่า ทั้งนี้มีการรายงานศึกษาพบว่าสาร catechin ที่มีปริมาณสูงในชาเขียว ซึ่งมีคุณสมบัติเป็นสารต้านอนุมูลอิสระ คือ EGCG โดยจะมีปริมาณ 40% ของสาร catechin ทั้งหมดที่มีในชาเขียว (Seeram et al., 2006)

คลอโรฟิลล์ (Chlorophyll)

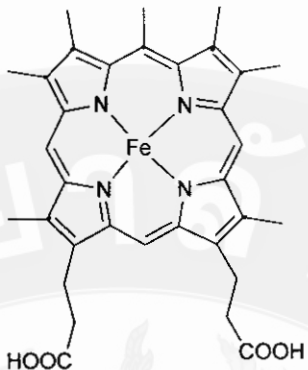
คลอโรฟิลล์เป็นรงค์วัตถุสีเขียวที่สำคัญในพืชและสาหร่ายที่มีสีเขียว โดยเฉพาะผักใบเขียว คลอโรฟิลล์เป็นส่วนที่สำคัญในกระบวนการสังเคราะห์แสงของพืช โดยทำหน้าที่ดูดพลังงานจากแสงเพื่อสร้างคาร์บอนไดออกไซด์และน้ำ แต่จะไม่คงตัวต่อความร้อน เมื่อได้รับความร้อนจะทำให้สีเขียวเปลี่ยนเป็นสีอ่อนๆ (จริงแท้, 2549) ซึ่งคลอโรฟิลล์ที่พบในพืชมี 2 ชนิด คือ คลอโรฟิลล์ a และคลอโรฟิลล์ b

โครงสร้างของคลอโรฟิลล์จะมีลักษณะคล้ายกับโครงสร้างของสีน้ำเงินในเม็ดเลือดแดง โดยมีอะตอมกลางเป็นเหล็ก (Fe) แต่ในคลอโรฟิลล์จะมีอะตอมกลางเป็นแมกนีเซียม (Mg) คลอโรฟิลล์แต่ละชนิดจะมีลักษณะที่แตกต่างกันออกไป เช่น คลอโรฟิลล์ a และคลอโรฟิลล์ b มีโครงสร้างที่แตกต่างกันเพียงตำแหน่งของวงแหวนไพรออลวงที่สองของคลอโรฟิลล์จะแทนที่ด้วยหมู่เมтиล ($-\text{CH}_3$) ส่วนคลอโรฟิลล์ b เป็นหมู่อัลดีไฮด์ ($-\text{CHO}$) (นิธิยา, 2549) ซึ่งโครงสร้างที่แตกต่างกันจะทำให้คุณสมบัติแตกต่าง โดยเฉพาะความสามารถในการละลาย โดยที่หมู่เมทธิลในโครงสร้างของคลอโรฟิลล์จะทำให้ไม่เลกุลมีข้าว ดังนั้นจึงละลายได้ในสารละลายที่มีข้าว เช่น แอลกอฮอล์ ส่วนหมู่อัลดีไฮด์จะไม่มีข้าวจึงทำให้คลอโรฟิลล์ b ละลายได้ในตัวทำละลายที่ไม่มีข้าว เช่น ปีโตเลียม อิเทอร์



ภาพ 10 โครงสร้างของคลอโรฟิลล์

ที่มา: ดัดแปลงจาก Lanfer-Marquez et al. (2005)



ภาพ 11 โครงสร้างของสีน

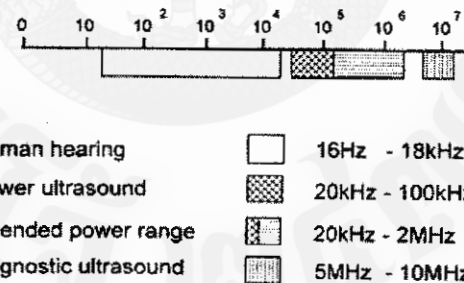
ที่มา: ดัดแปลงจาก Smith et al. (2010)

รายงานทางการแพทย์พบว่า การใช้คลอโรฟิลล์ในการบำบัดโรค เช่น โรคทางเดินอาหารลำไส้ใหญ่ โรคผิวหนังชนิดต่างๆ โดยเฉพาะแพลเรือรังเพื่อช่วยสมานแพล กล่าวคือ คลอโรฟิลล์สามารถใช้รักษาแพลเรียกเนื้อเยื่อให้แพลหายเร็วกว่าปกติ (กฤติยา, 2550) จากผลการวิจัยของ Egner et al. (2003) พบว่าสารคลอโรฟิลลินจะช่วยลดการทำลายของดีอีนเอ โดยสารอะฟลาโทกซิน (alfatoxin) ที่เกิดจากเชื้อร่าได้ ซึ่งสอดคล้องกับงานวิจัยของ Jubert et al. (2009) ที่ได้ศึกษาผลของคลอโรฟิลล์และคลอโรฟิลลินต่อการดูดซึมสารอะฟลาโทกซินในเซลล์ โดยอาจช่วยจำกัดการดูดซึมสารอะฟลาโทกซินเข้าสู่ร่างกาย ในการศึกษาสารสกัดจากคลอโรฟิลล์ (จากการดีเม) พบว่าสารคลอโรฟิลล์จะช่วยฟื้นฟูริวารอย และความยืดหยุ่นของผิวหน้าจากการถูกทำลายโดยแสงแดด อีกทั้งยังมีผลในการเพิ่มการผลิตคอลลาเจนในชั้นผิว และลดความเสียหายของชั้นผิวจากรังสี UV (Cho et al., 2006)

นอกจากนี้ยังมีการศึกษาสมบัติของสารคลอโรฟิลล์และคลอโรฟิลลินในการป้องกันมะเร็งที่เกิดจากสารไฮเบนโซไฟรีน (dibenzopyrene) ซึ่งเป็นสารก่อมะเร็งที่พบในควันบุหรี่ โดยผลการศึกษาในหนูทดลอง พบว่า คลอโรฟิลลินสามารถลดการดูดซึมสารก่อมะเร็งเข้าสู่ร่างกายได้ ทั้งนี้เป็นผลจากกลไกที่สอดคล้องกับสารคลอโรฟิลลินสามารถลดการจับสารไฮเบนโซไฟรีน กับดีอีนเอได้ (Castro et al., 2009; Keshava et al., 2009)

คลื่นอัลตร้าโซนิก (Ultrasonic waves)

คลื่นอัลตร้าโซนิก (ultrasonic waves) คือ พลังงานที่เกิดจากคลื่นเสียงที่มีความถี่สูงเกินกว่าที่มนุษย์จะได้ยินโดยมีความถี่ (frequency) ที่มีการสั่นของคลื่นประมาณ 20,000 ครั้งต่อวินาที หรือสูงกว่า หรือคลื่นความดัน (pressure waves) ที่มีความถี่สูงกว่าคลื่นเสียงปกติ (สูงกว่า 20,000 กิโลเฮิร์ต, kHz) (Hoover, 2000) ซึ่งความถี่ที่นำมาประยุกต์ใช้ในอุตสาหกรรม หรือในกระบวนการแปรรูปอาหารนั้น สามารถแบ่งออกเป็น 2 ประเภทใหญ่ๆ ได้แก่ การใช้คลื่นอัลตร้าโซนิกกำลังต่ำและความถี่สูง (low power and high frequencies) จะใช้ในด้านการวิเคราะห์เป็นส่วนใหญ่ และการใช้คลื่นอัลตร้าโซนิกกำลังสูงและความถี่ต่ำ (high power and low frequencies) (Mason, 1998) การใช้คลื่นอัลตร้าโซนิกที่กำลังสูงในกระบวนการแปรรูปอาหาร ทำให้เกิดผลต่อสมบัติทางกลและทางเคมีของอาหาร เนื่องจากคลื่นดังกล่าวทำให้เกิดปรากฏการณ์แคปวิเตชัน (cavitation) ซึ่งส่วนใหญ่จะใช้ที่ความถี่ในช่วง 20-40 kHz คลื่นความถี่ของอัลตร้าโซนิกในช่วงต่างๆ แสดงดังในภาพ 12

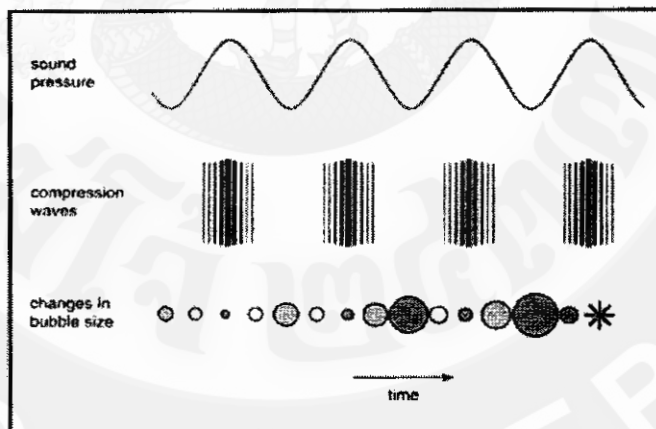


ภาพ 12 คลื่นความถี่ของอัลตร้าโซนิกในช่วงต่างๆ

ที่มา: Mason (1998)

กลไกการสักดของคลื่นอัลตร้าโซนิก

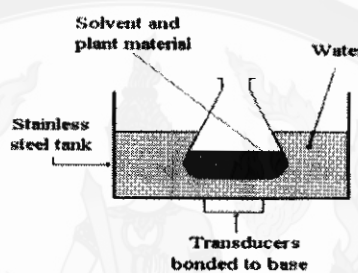
การประยุกต์ใช้คลื่นอัลตร้าโซนิกในการช่วยสักดสารสำคัญจากพืชได้นั้น เนื่องจากเนื้อเยื่อของพืชที่ประกอบด้วยเซลล์จะมีส่วนของผนังเซลล์อยู่ชั้นนอกสุด ซึ่งเป็นตัวที่ต้านทานการสักดได้ การสักดจะประกอบด้วยสองขั้นตอน คือ กระบวนการแพร่ผ่านผนังเซลล์ของตัวทำลาย และการชำระสารสำคัญออกจากเซลล์ เมื่อผนังเซลล์ถูกทำลาย ซึ่งคลื่นอัลตร้าโซนิกจะช่วยเพิ่มประสิทธิภาพของกระบวนการดังกล่าวได้โดย การเกิดปรากฏการณ์แคปวิเดชัน โดยทำให้เกิดการเปลี่ยนแปลงทางด้านเคมีและทางกายภาพจากแรงกลไนช่วงอัดและช่วงขยายเมื่อคลื่นเคลื่อนที่ผ่านตัวทำลายจะทำให้เกิดฟองอากาศ (bubbles) ของตัวทำลายขนาดเล็กเป็นจำนวนมากมาก ซึ่งการที่เกิดฟองอากาศได้นั้นเนื่องจากโครงสร้างของของเหลวที่ได้รับคลื่นอัลตร้าโซนิกจะถูกบีบอัด (compress) และช่วงเวลาตัว (stretch) ซ้ำไปซ้ำมาทำให้เกิดฟองอากาศขึ้น และฟองอากาศที่เกิดขึ้นภายในของเหลวจะสัมผัสกับแรงสั่นที่เกิดจากคลื่นอัลตร้าโซนิกเป็นระยะและจะเกิดการแตกเปลี่ยนแก่ระหว่างกัน (Atchley and Crum, 1998) ดังแสดงในภาพ 13



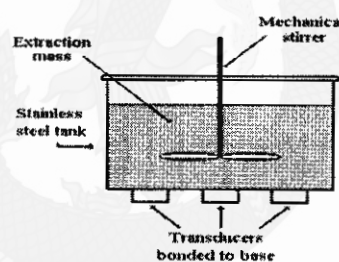
ภาพ 13 การเกิดฟองอากาศในตัวกลไกเนื่องจากคลื่นอัลตร้าโซนิก

ที่มา: Suslick (1998)

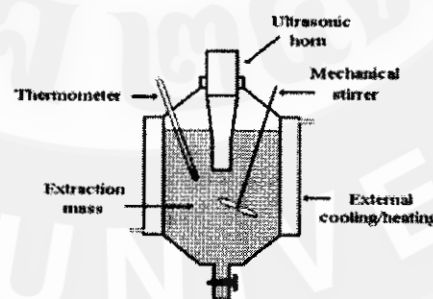
โดยรูปแบบของการสกัดด้วยคลื่นอัลตราโซนิก มี 3 รูปแบบ คือ กระบวนการทางอ้อม โดยอาศัยตัวกลาง เช่น น้ำในการส่งผ่านคลื่นเสียง กระบวนการโดยตรงแบบให้แหล่งกำเนิดคลื่นเสียงติดกับตัวถังสกัด และกระบวนการโดยตรงแบบใช้ probe หรือ horn เป็นแหล่งกำเนิดของคลื่นเสียง ดังภาพ 14



กระบวนการทางอ้อม โดยอาศัยตัวกลาง เช่น น้ำในการส่งผ่านคลื่นเสียง



กระบวนการโดยตรงแบบให้แหล่งกำเนิดคลื่นเสียงติดกับตัวถังสกัด



กระบวนการโดยตรงแบบใช้ probe หรือ horn เป็นแหล่งกำเนิดของคลื่นเสียง

ภาพ 14 รูปแบบการสกัดด้วยคลื่นอัลตราโซนิก

ที่มา: ดัคແປລົງຈາກສູມເນົ (2551)

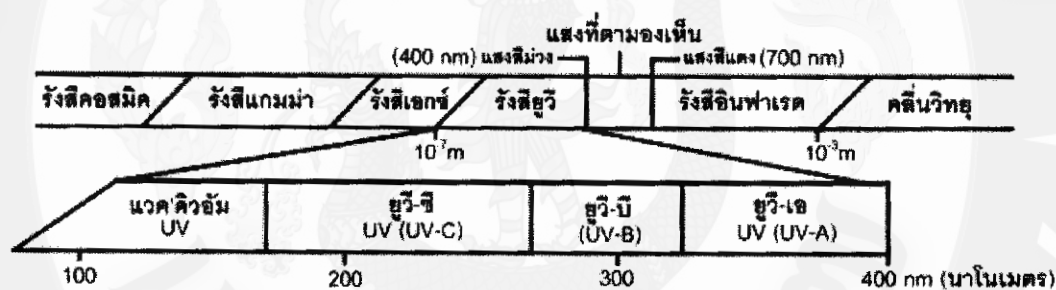
การใช้คลื่นอัลตร้าโซนิกในทางอุตสาหกรรมอาหาร

การนำคลื่นอัลตร้าโซนิกมาประยุกต์ใช้ในอุตสาหกรรมอาหารยังคงมีการวิจัยศึกษาเพิ่มมากขึ้น ซึ่งจากการศึกษาผลของคลื่นอัลตร้าโซนิกต่อกระบวนการแปรรูปน้ำผลไม้เบลล์คเบอร์รี่ที่ส่งผลต่อค่าสีและปริมาณสารแอนโภไซยานิน พบว่า ในการสกัดคั่วความถี่ต่ำ 20kHz มีผลต่อการเปลี่ยนแปลงค่าสีและปริมาณสารแอนโภไซยานินที่เพิ่มขึ้นในระหว่างการสกัด (Tiwari et al., 2009) และจากผลงานวิจัยยังสามารถด้วยเพิ่ม selectivity ของการสกัดโดยจะทำให้ลดเวลาการสกัดให้สั้นลงและเร่งกระบวนการสกัดของสารที่มีโนโนเดกตอล์ต่ำ ทั้งนี้เป็นผลเนื่องมาจากผนังเซลล์ถูกทำลาย (สูเมธ, 2551) นอกจากนี้การใช้คลื่นอัลตร้าโซนิกยังช่วยทำให้ตัวทำลายแทรกซึมเข้าไปในวัสดุที่นำมาสกัดได้มากยิ่งขึ้น ทำให้การถ่ายเทมวลสาร (mass transfer) เพิ่มสูงขึ้นดังในตัวอย่างการสกัดสารในชา มินท์ บิง เป็นต้น (Li et al., 1995; Mason and Zhao, 1994) นอกจากนั้นคลื่นอัลตร้าโซนิกยังช่วยทำลายพื้นผิวที่บริเวณผนังเซลล์และภายในเซลล์ทำให้สารที่ต้องการสกัดสามารถถูกดูดซึมได้ง่ายขึ้น ในงานวิจัยของ Hossain et al. (2012) ได้ศึกษาการเพิ่มประสิทธิภาพการสกัดสารต้านอนุมูลอิสระจากมาร์จอร์รัมซึ่งเป็นพืชในตระกูลมินท์ (สาระแห่ง) โดยใช้ความถี่ต่ำ 20kHz จะช่วยทำให้ผนังเซลล์เกิดความเสียหายส่งผลให้มีการปลดปล่อยสารต้านอนุมูลอิสริร่วมทั้งสารประกอบฟีนอลออกมาเพิ่มมากขึ้น เช่นเดียวกับผลการวิจัยของ Carrera et al. (2012) ในอุจุ่นแดงที่ได้ทำการสกัดด้วยคลื่นอัลตร้าโซนิกที่ความถี่ 24 kHz พบว่า การใช้คลื่นอัลตร้าโซนิกในการสกัดช่วยทำให้ผลิตภัณฑ์ในเชิงปริมาณที่เพิ่มขึ้นโดยมีตัวชี้วัด คือ ปริมาณสารประกอบฟีนอลสารแอนโภไซยานิน และแทนนิน อีกทั้งยังใช้เวลาในการสกัดที่น้อยลง ทั้งนี้สามารถนำคลื่นอัลตร้าโซนิกมาช่วยพัฒนาในการสกัดได้เมื่อเทียบกับการสกัดแบบทั่วไป

นอกจากนี้ในงานวิจัยของ Zhang et al. (2009) ได้วิจัยถึงผลของคลื่นอัลตร้าโซนิกในการสกัดสาร epimedin C จากใบสด epimedium ซึ่งเป็นพืชสมุนไพร พบว่า การใช้คลื่นอัลตร้าโซนิกจะช่วยเพิ่มประสิทธิภาพของการสกัดได้ ซึ่งในทางอุตสาหกรรมอาหารได้ให้ความสำคัญกับสาร epimedins C เนื่องจากเป็นสารสำคัญในกลุ่มฟลาโวนอยด์ที่มีส่วนช่วยในการป้องกันโรคหลอดเลือดหัวใจและโรคกระดูกพรุนได้ (Meng et al., 2005) และจากการศึกษานี้สามารถนำมาปรับให้เหมาะสมสำหรับกระบวนการแปรรูปในระดับอุตสาหกรรมขนาดใหญ่อีกทั้งมีงานวิจัยที่ได้นำเทคโนโลยีอัลตร้าโซนิกมาใช้ในกระบวนการผลิตน้ำอุ่น พบว่า การใช้คลื่นอัลตร้าโซนิกมีผลทำให้ปริมาณสาร resveratrol ในน้ำอุ่นเพิ่มมากขึ้น ซึ่งสาร resveratrol เป็นสารประกอบฟีนอลที่มีประโยชน์ต่อสุขภาพ รวมทั้งป้องกันการเกิดโรคมะเร็งต้านการอักเสบผลต่อการต้านริ้วรอยและความสามารถในการลดระดับน้ำตาลในเลือด (Hasan et al., 2013)

รังสีอัลตร้าไวโอเลต

รังสีอัลตร้าไวโอเลต (Ultraviolet) หรือ แสงยูวี เป็นคลื่นแม่เหล็กไฟฟ้า เช่นเดียวกับคลื่นรังสีเอ็กซ์ รังสีแกมมา แสงแผลด แต่มีช่วงแสงเป็นคลื่นแม่เหล็กไฟฟ้าที่มีความถี่สูง และจะมีพลังงานสูงกว่าคลื่นแม่เหล็กไฟฟ้าที่มีความยาวคลื่นมาก ซึ่งความยาวคลื่นจะเปรียบกับความถี่ ก็ตามที่ แสงที่มีความยาวคลื่นสูง ความถี่จะสูง และแสงที่มีความยาวคลื่นยาวจะมีความถี่ต่ำ แสงสีอัลตร้าไวโอเลต หรือ แสงยูวี เป็นคลื่นแม่เหล็กไฟฟ้าที่มีความยาวคลื่นตั้งแต่ 100 ถึง 400 นาโนเมตร ซึ่งมีพลังงานสูงพอที่จะกระตุ้นให้เกิดปฏิกิริยาเคมี (แสง, ม.ป.ป.) โดยมีช่วงต่อจากแสงสีม่วง (ระหว่าง Visible Spectrum กับ X-ray) เป็นรังสีที่ตากมนองไม่เห็น และไม่สามารถรับรู้ได้



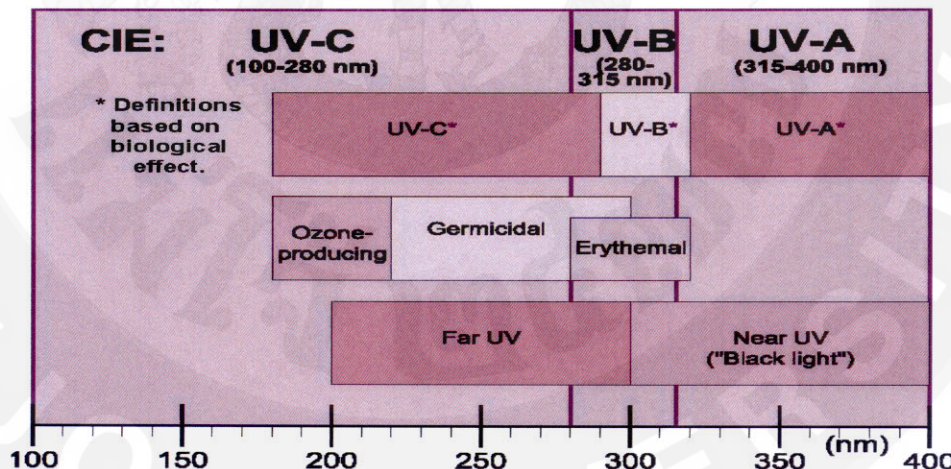
ภาพ 15 ช่วงແນບສະເປດ (spectrum) ຂອງຮັງສີອັລຕຣ້າໄວໂວເລຕ
ທີ່ມາ: ດັດແປລົງຈາກແສວງ (ມ.ປ.ປ.)

แสงยูวีสามารถแบ่งเป็น 3 ประเภท ตามช่วงความยาวคลื่น ดังนี้

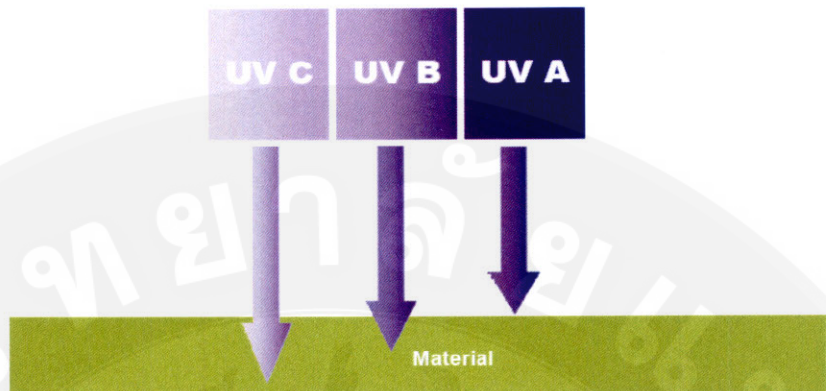
1. UV-A ช่วงความยาวคลื่น 315-400 นาโนเมตร เป็นช่วงความยาวคลื่นที่มีพลังงานต่ำที่สุดของแสง มีปริมาณสูงในแสงแดด (ผ่านชั้นบรรยากาศของโลกมากที่สุดถึง 85.7 วัตต์ต่อตารางเมตร) จึงไม่ค่อยมีอันตรายมากนัก มีผลกระทบทำให้ผิวหนังมีสีคล้ำเนื่องจากเป็นคลื่นที่อยู่ใกล้กับแสงที่ตามมองเห็น

2. UV-B ช่วงความยาวคลื่น 280-315 นาโนเมตร จะมีพลังงานเพิ่มสูงขึ้น มีผลทำให้เกิดปฏิกิริยาทางชีวภาพมากที่สุดและมีผลต่อร่างกายและสิ่งของได้ ก่อให้เกิดการไหม้นบนผิวหนัง (sunburn or erythematic) อาจเป็นต้นเหตุของการเกิดมะเร็งผิวหนังได้ แต่มีประโยชน์ในการรักษาโรคผิวหนังบางชนิดได้

3. UV-C ช่วงความยาวคลื่น 200-280 นาโนเมตร มีพลังงานสูงมาก เนื่องจากมีความยาวคลื่นสั้นที่สุด เป็นรังสีที่มีอันตรายต่อร่างกายได้อย่างรุนแรง อาจทำให้เกิดการไหม้นบนผิวหนัง เช่นบุต้าอักเสบ (conjunctivitis) ทำให้ตาบอด และทำให้สารประกอบในกระจาดๆ แต่สามารถนำมาประยุกต์มาใช้ประโยชน์ในการฆ่าเชื้อในอาหาร ได้



ภาพ 16 ช่วงความยาวคลื่นของรังสีอัลตราไวโอลেตแบบต่าง ๆ
ที่มา: Ryer (1997)



ภาพ 17 การทะลุทะลวงผ่านวัสดุของคลื่นรังสีอัลตร้าไวโอลেตแบบต่าง ๆ

ที่มา: Michael and Marie-Luis (2003)

การใช้รังสีอัลตร้าไวโอลেตในการอุดสาಹกรรมอาหาร

ปัจจุบันมีการนำรังสีอัลตร้าไวโอลे�ตมาใช้ในการรักษาคุณภาพอาหาร หรือนำมาใช้เพื่อยับยั้งการเจริญของเชื้อจุลินทรีย์เพื่อยืดอายุการเก็บรักษาเนื่องจากเป็นเทคนิคใหม่ที่มีราคาไม่แพง และไม่ใช้ความร้อน (Shama, 2006) ทั้งนี้ยังมีงานวิจัยศึกษาการใช้รังสี UV-C ในกระบวนการผลิตไวน์ขาว โดยการให้รังสี UV-C สัมผัสนบนผิวเปลือกอุ่นขาวหลังการเก็บเกี่ยวก่อนนำไปผลิตไวน์ พบร่วมกับสารต้านอนุมูลอิสระ resveratrol ซึ่งพบว่า อยู่ในขาวที่ผ่านการให้รังสี UV-C ช่วยเพิ่มคุณภาพไวน์ขาวและปริมาณสาร resveratrol มากกว่าอยู่ในขาวที่ไม่ผ่านรังสี UV-C และส่งผลทำให้ไวน์มีสีที่เข้มขึ้น อีกทั้งเมื่อนำมาตากแดด อยู่ในขาวที่ผ่านรังสี UV-C เติมลงในกระบวนการหมักแลกօโซล์จะส่งผลให้มีการสกัดสาร stilbenes ออกมามากขึ้น (Guerrero et al., 2010) ซึ่งสารสำคัญนี้เป็นสารประกอบในกลุ่ม polyphenol ที่มีประโยชน์ในการป้องกันหรือลดความเสี่ยงของโรคต่าง ๆ เช่น โรคมะเร็ง โรคหัวใจ และหลอดเลือด (Jang et al., 1997) ซึ่งสอดคล้องในงานวิจัย Guerrero et al. (2010) ที่ได้นำรังสี UV-C มาใช้เพื่อทำให้เกิดการสังเคราะห์สาร stilbenes ในอยู่ก่อนการผลิตไวน์ จากการศึกษาพบว่า อยู่ที่ผ่านรังสี UV-C จะช่วยทำให้ไวน์มีปริมาณสาร stilbenes เพิ่มมากขึ้น จึงเป็นส่วนสำคัญที่สามารถนำมาปรับใช้ในกระบวนการผลิตไวน์ที่อุดมด้วยสาร stilbene ให้เป็นที่รู้จักและทำให้ผลิตภัณฑ์มีมูลค่าเพิ่มเป็นที่ยอมรับของตลาด

นอกจากนี้ยังมีการศึกษาผลของการใช้รังสี UV-C ในกระบวนการผลิตน้ำแตงโม พบร่วมกับรังสี UV-C ช่วยยับยั้งการเจริญของเชื้อแบคทีเรียในกลุ่มโคลิฟอร์ม ยีสและเชื้อรำทำให้สามารถยืดอายุการเก็บรักษาได้ อีกทั้งยังส่งผลทำให้ความเป็นกรด-เบส สารไลโคปีนและสารประกอบฟีโนอลของน้ำผลแตงโมมีความคงตัวมากกว่าการไม่ใช้รังสี UV-C ได้นานถึง 25 วัน

หลังจากการใช้ UV-C ซึ่งการประยุกต์ใช้รังสี UV-C จะช่วยรักษาคุณภาพของน้ำแข็ง ไม่ ดังนั้น กระบวนการผลิตน้ำสำหรับน้ำดื่มจะเป็นวิธีการแปรรูปโดยไม่ใช้ความร้อนเพื่อความปลอดภัยและ สามารถนำไปประยุกต์ใช้ในเชิงพาณิชย์ได้ (Feng et al., 2013) จากงานวิจัยของ Sales and Resurreccion (2010) พบว่า การใช้รังสี UV ร่วมกับการใช้คลื่นอัลตร้าโซนิกในการสกัดถั่วถั่วสิ่งจะ ช่วยทำให้ปริมาณสารต้านอนุมูลอิสระ สารประกอบฟีโนอล รวมทั้งสาร resveratrol เพิ่มสูงขึ้นเมื่อ เทียบกับการใช้รังสีหรือคลื่นอัลตร้าโซนิกเพียงอย่างเดียว ผลที่ได้มีความหมายสมสำหรับ กระบวนการสกัดที่ช่วยเพิ่มประสิทธิภาพของสารออกฤทธิ์ทางชีวภาพในถั่วถั่วสิ่งที่เป็นประโยชน์ ต่อสุขภาพแก่ผู้บริโภค เช่นเดียวกับงานวิจัยที่ได้ศึกษาผลของการใช้รังสี UV-C ต่อการเปลี่ยนแปลง ทางด้านเคมี กายภาพ และลักษณะทางประสาทสัมผัสของถั่วถั่วสิ่งปั่น พบว่า การใช้รังสี UV-C ส่งผลให้ปริมาณ โปรตีนสูงขึ้น ช่วยชะลอการสูญเสียปริมาณไขมัน และไม่มีผลต่อการเปลี่ยนแปลง คุณภาพในถั่วถั่วสิ่งปั่น สำหรับการทดสอบความชอบโดยรวมพบว่าผู้บริโภคให้การยอมรับถั่วถั่วสิ่ง ปั่นที่ผ่านการใช้รังสี UV-C ในด้านสี กลิ่น รสชาติ เนื้อสัมผัสไม่แตกต่างจากถั่วถั่วสิ่งที่ไม่ผ่านรังสี UV-C ดังนั้นการใช้รังสี UV-C น่าจะเป็นวิธีที่เหมาะสมใช้ในการยืดอายุการเก็บรักษาถั่วถั่วสิ่งปั่น และรักษาคุณค่าทางโภชนาการไว้ได้ (พริมา และคณะ, 2555)

บทที่ 3
อุปกรณ์และวิธีการ

วัสดุอุปกรณ์

วัสดุดิน

1. กล้ามข้าวพันธุ์สูงโขทัย 1 (บริษัท ข้าวธรรมชาติ จำกัด จังหวัดสูงโขทัย)

เครื่องมือ

1. เครื่องชั่งทศนิยม 2 ตำแหน่ง (analytical balance: Sartorius BP 610, Germany)
2. เครื่องชั่งทศนิยม 4 ตำแหน่ง (analytical balance: Sartorius CP 224S, Germany)
3. เครื่องหมุนเวียนตกตะกอนความเร็วสูง (centrifuge: Hettich, England)
4. เครื่องวัดการดูดคืนแสง (spectrophotometer: Reyleigh VIS-723G, China)
5. เครื่องวัดความเป็นกรด-เบส (pH meter: Metrohm 744, Switzerland)
6. เครื่องวัดค่าสี (colorimeter: Tri-stimulus colorimeter, Japan)
7. ตู้อบลมร้อน (hot air oven: Termaks, Norway)
8. เครื่องอัลตร้าโซนิก (ultrasonic chamber: SANPA W-113, Japan)
9. ตู้รังสีอัลตราไวโอเลต (ultraviolet chamber)
10. เครื่อง HPLC (Agilent LC 1200, Infinity Series)

อุปกรณ์

1. บีกเกอร์ (beaker)
2. หลอดทดลอง (tube)
3. กรวยแยก (separatory funnel)
4. กระบอกตัวง (cylinder)
5. ขวดรูปชมฟู่ (flask)
6. กรวยกรอง (funnel)

7. ขวดปรับปริมาตร (volumetric flask)
8. แท่งแก้วคนสาร (stirring rod)
9. ขวดปริมาตรรักแร้กลม (round bottom flask)
10. กระดาษกรอง (Nylon Syringe Filter; 0.45 μm)
11. หลอดด้วดการดูดกลืนแสง (cuvettes)
12. บิวเรต (burette)
13. ปีเปต (pipette)
14. ไมโครปีเปต (micropipette)
15. ปีเปตทิป (pipette tip)
16. โดดดูดความชื้น (desiccator)
17. เทอร์มอมิเตอร์ (thermometer)
18. กระป๋องอะลูมิเนียมพร้อมฝาปิด (moisture can)
19. ช้อนตักสารเคมี (dispensing spoons)
20. ขวดน้ำกลั่น (wash bottle)
21. สูกยาง (rubber)
22. กระดาษกรอง (filter paper: Whatman No. 93)
23. กรวยบุชเนอร์ (buchner funnel)
24. นาฬิกาจับเวลา (stopwatch)
25. เส้นฉีดยา (Syringe)
26. ถาดอะลูมิเนียม (aluminum tray)
27. กระดาษอะลูมิเนียมฟอยล์ (aluminium foil)
28. ขวด duran
29. พาราฟิล์ม
30. ขวดสีชา
31. คอลัมน์ (Column: Zorbax Eclipse XDB-C18; 4.6x150 mm, 5 μm)

สารเคมี

1. Ethanol (Merck, Cat No. 1.00983)
2. Hydrochloric acid (Merck, Cat No.100317)
3. Trolox (Sigma-Aldrich, Cat No. 238813)
4. Ascorbic acid (Fisher, Cat No. A/8382/48)
5. ABTS [2,2'-azinobis (3-ethylbenzothiazoline-6-sulfonic acid)] (Fluka,
Cat No.11557)
6. Potassium persulfate (Carlo, Cat No.473701)
7. Ferrous sulfate heptahydrate (Merck, Cat No.103965)
8. Sodium acetate trihydrate (Fisher, Cat No.S/2040/60)
9. Glacial acetic acid (Merck, Cat No.100063)
10. Ferric chloride (Merck, Cat No.103943)
11. TPTZ [2,4,6-tris (2-pyridyl) s-triazine] (Sigma-Aldrich, Cat No.93285)
12. Sodium hydroxide (Merck, Cat No. 106498)
13. Gallic acid (Fluka, Cat No.48630)
14. Folin-Ciocalteu (Merck, Cat No. 109001)
15. Sodium carbonate (Ajax, Cat No. A463)
16. Diethyl ether (Merck, Cat No. 100921)
17. Acetone (Merck, Cat No. 1.00014.2500)
18. Calcium carbonate (Ajax, Cat No. 1201586)
19. Sodium sulfate (Merck, Cat No. A924749)
20. Methanol (Fisher, Cat No.M/4056/17)
21. Acetic acid (Merck, Cat No. 100063)
22. Water (ACI Labscan, Code No. LC1210)

วิธีการทดลอง

การศึกษาเปรียบเทียบประสิทธิภาพของวิธีการสกัดและตัวทำละลาย

ทำการทดสอบกล้าข้าวพันธุ์สูงทัย 1 ด้วยน้ำสะอาด สะเด็จน้ำ และตัดให้มีขนาดประมาณ 0.5-1 เซนติเมตร ชั่งกล้าข้าว 3 กรัม ใส่ในขวดรูปทรงพุ่มน้ำด 125 มิลลิลิตร จากนั้นเติมตัวทำละลายปริมาณ 50 มิลลิลิตร ทำการสกัดในศักยเครื่องอัลตร้าโซนิกที่ความถี่ 28 kHz และเครื่องความคุณอุณหภูมิแบบเบเย่า (shaking water bath) และศึกษาตัวทำละลายที่ใช้ในการสกัด 4 ชนิด คือน้ำ เอทานอล 50% เอทานอล 70% และเอทานอล 95% โดยควบคุณอุณหภูมิและเวลาในการสกัดที่ 50 องศาเซลเซียส เวลา 60 นาที (ดัดแปลงจาก Zhang et al., 2009) นำมาวิเคราะห์สมบัติทางกายภาพ ค่าสี (ระบบ CIE; L*, a*, b*) และสมบัติทางชีวเคมีของสารสกัด โดยวิเคราะห์สมบัติการต้านออกซิเดชันด้วยวิธี ABTS radical cation decolorization assay (ABTS^+) (ดัดแปลงจาก Re et al., 1999) วิธี Ferric reducing ability of power (FRAP) (ดัดแปลงจาก Benzie and Strain, 1996) ปริมาณสารประกอบพอลิฟินอลทั้งหมด (ดัดแปลงจาก ประพันธ์ และวนทนีย์, 2545) และปริมาณคลอโรฟิลล์ (ดัดแปลงจาก ศุภกฤต, 2538)

จัดการสิ่งทดลองแบบ 2×4 แฟคทอร์เรียล และวางแผนการทดลองแบบสุ่มสมบูรณ์ (2×4 Factorial: experiment in CRD) ทำการทดลอง 3 ชุด วิเคราะห์ความแปรปรวนของข้อมูล (ANOVA) และวิเคราะห์ความแตกต่างของค่าเฉลี่ยแบบ Duncan's New Multiple Range Test (DMRT) ที่ระดับความเชื่อมั่นร้อยละ 95 โดยใช้โปรแกรมสำเร็จรูป (SPSS version 16.0)

การศึกษาความถี่คลื่นอัลตร้าโซนิกที่เหมาะสมต่อการสกัด

ทำการทดสอบกล้าข้าวพันธุ์สูงทัย 1 ด้วยน้ำสะอาด สะเด็จน้ำ และตัดให้มีขนาดประมาณ 0.5-1 เซนติเมตร จากนั้นนำไปใส่ในขวดรูปทรงพุ่มน้ำด 125 มิลลิลิตร (ปริมาณ 3 กรัมต่อขวด จำนวน 5 ขวด) และเติมน้ำหรือตัวทำละลายปริมาณ 50 มิลลิลิตร ทำการสกัดโดยใช้ความถี่ 3 ระดับ คือ 28 kHz, 45 kHz และ 100 kHz ตัวทำละลาย ในการศึกษานี้ ได้แก่น้ำเอทานอล 50% เอทานอล 70% และเอทานอล 95% โดยควบคุณอุณหภูมิในการสกัดที่ 50 องศาเซลเซียส เป็นเวลา 60 นาที (ดัดแปลงจาก Zhang et al., 2009) จากนั้นนำสารสกัดมาวิเคราะห์สมบัติทางกายภาพและสมบัติทางชีวเคมี โดยการวิเคราะห์สมบัติการต้านออกซิเดชัน ปริมาณสารประกอบพอลิฟินอลทั้งหมด และปริมาณคลอโรฟิลล์

จัดการสั่งทดลองแบบ 3×4 แฟคทอร์เรียล และวางแผนการทดลองแบบสุ่มสมบูรณ์ (3×4 Factorial: experiment in CRD) ทำการทดลอง 3 ชั้น วิเคราะห์ความแปรปรวนของข้อมูล (ANOVA) และวิเคราะห์ความแตกต่างของค่าเฉลี่ยแบบ Duncan's New Multiple Range Test (DMRT) ที่ระดับความเชื่อมั่นร้อยละ 95 โดยใช้โปรแกรมสำหรับ SPSS version 16.0)

การศึกษาสภาวะที่เหมาะสมในการสกัดกล้าข้าวพันธุ์สูงทัย 1 ด้วยคลีนอัลตร้าโซนิก

การศึกษาสภาวะที่เหมาะสมในการสกัด โดยใช้วิธีพื้นผิวตอบสนอง (Response Surface Methodology, RSM) เพื่อหาระดับของปัจจัยที่เหมาะสมที่สุดในการสกัด โดยศึกษา 2 ปัจจัย คือ อุณหภูมิ และเวลาที่ใช้ในการสกัด ซึ่งกำหนดปัจจัย A แทนช่วงระดับอุณหภูมิ 30-98 องศาเซลเซียส และกำหนดปัจจัย B แทนช่วงระยะเวลา 10-120 นาที ผลจากการออกแบบโดยใช้วิธีพื้นผิวตอบสนองคือ 17 treatment ได้แก่ treatment 1 = 81°C , 37.50 min; treatment 2 = 81°C , 92.50 min; treatment 3 = 64°C , 10.00 min; treatment 4 = 64°C , 37.50 min; Treatment 5 = 98°C , 120.00 min; treatment 6 = 64°C , 65.00 min; treatment 7 = 81°C , 65.00 min; treatment 8 = 30°C , 65.00 min; treatment 9 = 98°C , 10.00 min; treatment 10 = 47°C , 65.00 min; treatment 11 = 64°C , 120.00 min; treatment 12 = 47°C , 37.50 min; treatment 13 = 98°C , 65.00 min; treatment 14 = 47°C , 92.50 min; treatment 15 = 30°C , 10.00 min; treatment 16 = 30°C , 120.00 min; treatment 17 = 64°C , 92.50 min จากนั้นเก็บตัวอย่างสารสกัดเพื่อวิเคราะห์สมบัติทางกายภาพ ค่าสี (ระบบ CIE; L*, a*, b*) สมบัติการด้านออกซิเดชัน ปริมาณสารประกอบพอลิฟินอลทั้งหมด และปริมาณคลอโรฟิลล์ อาศัยโปรแกรมสำหรับ SPSS version 16.0 (Minitab v.15)

การศึกษาผลของการให้รังสีอัลตร้าไวโอดetect ต่อคุณภาพของสารสกัดจากกล้าข้าวพันธุ์สูงทัย 1

นำกล้าข้าวสดที่ผ่านการถังและลอกน้ำดลงให้มีขนาดประมาณ 0.5-1 เซนติเมตร จำนวน 40 กรัม เกลี่ยใส่ถาด ให้มีความหนาประมาณ 0.5 เซนติเมตร จากนั้นนำไปวางในตู้ UV-C และให้รังสี UV-C (Sylvania, 15 วัตต์ 4 หลอด ความยาวคลื่น 254 นาโนเมตร) เป็นเวลานาน 0, 10, 20, 30, 60 นาที ตามลำดับ ก่อนนำมาสกัดในสภาวะที่เหมาะสมที่ได้จากการศึกษาข้างต้น วิเคราะห์สมบัติต้านออกซิเดชันของสารสกัด ปริมาณสารประกอบพอลิฟินอลทั้งหมด และปริมาณคลอโรฟิลล์

วางแผนการทดลองแบบสุ่มสมบูรณ์ (Completely Randomized Design: CRD) ทำการทดลอง 3 ชั้น ในแต่ละชุดการทดลอง วิเคราะห์ความแปรปรวนของข้อมูล (ANOVA) และ วิเคราะห์ความแตกต่างของค่าเฉลี่ยแบบ Duncan's New Multiple Range Test (DMRT) ที่ระดับ ความเชื่อมั่นร้อยละ 95 โดยใช้โปรแกรมสำหรับ SPSS version 16.0

การศึกษานิคและปริมาณสารประกอบในกลุ่มฟืนอலของสารสกัดกล้าข้าวพันธุ์สูงขั้นที่ 1

นำสารสกัดจากกล้าข้าวพันธุ์สูงขั้นที่ 1 ที่ได้จากการสกัดด้วยน้ำอัดลมโซนิก และการเขย่า มากรองผ่านกระดาษกรอง Nylon filter membranes ($0.45\mu\text{m}$) แล้วทำการวิเคราะห์ด้วยเครื่อง HPLC (High Performance Liquid Chromatography) รุ่น (Agilent LC 1200, Infinity Series) โดยกำหนดสภาพที่ใช้คือ colum ชนิด Zorbax Eclipse XDB-C18 ($4.6\times150\text{ mm}, 5\ \mu\text{m}$), ตัวทำละลายเคลื่อนที่คือ $0.05\%\text{H}_2\text{SO}_4$: acetonitrile: ethylacetate (86:12:2; v/v/v), อัตราการไหลเท่ากับ 1 มิลลิลิตรต่อนาที และทำการฉีดตัวอย่างในปริมาตร 20 ไมโครลิตร วัดค่าการดูดกลืนแสงของสารที่ถูกชะออกมากที่ความยาวคลื่น 280 นาโนเมตร แล้วเปรียบเทียบพื้นที่ใต้รูปกราฟ (Peak area) ของสารที่ถูกแยกในช่วงเวลาเฉพาะกับกราฟสารมาตรฐานเพื่อทราบชนิดและปริมาณของสารประกอบในกลุ่มฟืนอโลของตัวอย่างหลังจากผ่านกระบวนการสกัด

บทที่ 4

ผลการวิจัยและวิจารณ์

การศึกษาเปรียบเทียบประสิทธิภาพของวิธีการและตัวทำละลาย

ในการศึกษาประสิทธิภาพของวิธีการสกัดได้เปรียบเทียบการสกัดด้วยคลื่นอัลตร้าโซนิกและเครื่องควบคุมอุณหภูมิแบบเบย่า (shaking water bath) โดยใช้ตัวทำละลาย 4 ชนิด คือ น้ำเอทานอล 50% เอทานอล 70% และเอทานอล 95% ควบคุมอุณหภูมิและเวลาในการสกัดที่ 50 องศาเซลเซียส 60 นาที จากนั้นนำสารสกัดมาวิเคราะห์ค่าสี สมบัติการด้านออกซิเดชัน ปริมาณสารประกอบพอลิฟินอล และปริมาณคลอโรฟิลล์ สำหรับการวิเคราะห์ค่าสีจะใช้ค่าสีในระบบ CIE ที่ประกอบด้วยค่าสี L^* , a^* และ b^* โดยค่าสี L^* เป็นค่าความสว่าง ถ้าค่า L^* เข้าใกล้ 0 หมายถึงตัวอย่างมีความสว่างน้อยหรือมีสีคล้ำ แต่ถ้า L^* มีค่าเข้าใกล้ 100 หมายถึงตัวอย่างมีความสว่างมากจนเป็นสีขาว ค่าสี a^* แสดงค่าความเป็นสีแดงและสีเขียว ถ้าค่า a^* เป็นบวก หมายถึง ตัวอย่างเป็นสีแดง แต่ถ้าค่า a^* เป็นลบ หมายถึง ตัวอย่างเป็นสีเขียว และค่าสี b^* แสดงค่าความเป็นสีเหลืองและสีน้ำเงิน ถ้าค่า b^* เป็นบวก หมายถึง ตัวอย่างเป็นสีเหลือง แต่ถ้าค่า b^* เป็นลบ หมายถึงตัวอย่างเป็นสีน้ำเงิน

ผลจากการวิเคราะห์ค่าสี พบว่าการสกัดกล้าข้าวพันธุ์สูงทัย 1 ด้วยคลื่นอัลตร้าโซนิกมีผลให้ค่าความสว่างของสารสกัดดีกว่าการสกัดด้วยวิธีการแบบเบย่า ดังแสดงในตาราง 4-6 โดยตัวอย่างสารสกัดที่ได้จากการใช้คลื่นอัลตร้าโซนิกร่วมกับการใช้ตัวทำละลายด้วยเอทานอลที่ความเข้มข้น 95% มีค่าความสว่างของสี (L^*) น้อยกว่าตัวอย่างสารสกัดที่ใช้ตัวทำละลายด้วยเอทานอลที่ความเข้มข้น 70%, 50% และน้ำ ตามลำดับ โดยค่าความสว่างของตัวอย่างสารสกัดมีค่าเท่ากับ 33.99, 68.82, 82.36 และ 87.86 ตามลำดับ ทั้งนี้การใช้คลื่นอัลตร้าโซนิกร่วมกับการใช้ตัวทำละลายด้วยเอทานอลที่ความเข้มข้น 95% มีค่าความสว่างน้อยกว่าการใช้วิธีการแบบเบย่าร่วมกับการใช้ตัวทำละลายชนิดอื่น โดยค่าความสว่างของตัวอย่างสารสกัดจากการใช้วิธีการแบบเบย่าร่วมกับตัวทำละลายด้วยเอทานอลที่ความเข้มข้น 95%, 70%, 50% และน้ำ มีค่าเท่ากับ 50.40, 64.18, 87.82 และ 90.50 ตามลำดับ ทั้งนี้ขึ้นอยู่กับความมีข้าวหรือความสามารถในการละลายของคลอโรฟิลล์ โดยโครงสร้างของคลอโรฟิลล์ที่แตกต่างกันจะทำให้สมบัติด้านการละลายแตกต่างได้ โดยที่หมุ่เมฆิดในโครงสร้างของคลอโรฟิลล์จะทำให้ไม่แยกคลื่นที่ต้องการได้ดีในสารละลายที่มีข้าว เช่น แอลกอฮอล์ ส่วนหมู่อัลเดียก็จะไม่มีข้าวจึงทำให้คลอโรฟิลล์มีละลายได้ดีในตัวทำละลายที่ไม่มีข้าว เช่น ปีโตเลียมอีเทอร์ (นิติยา, 2549)

ตาราง 4 ค่าความส่วน (L*) ของสารสกัดจากการสกัดสองวิธี

วิธีการสกัด	ค่าสี L*			
	ตัวทำละลาย			
	น้ำ	เอทานอล 50%	เอทานอล 70%	เอทานอล 95%
แบบเบี่ยง	90.50±0.00 ^a	87.82±0.09 ^b	64.18±0.00 ^c	50.40±0.14 ^d
US	87.86±0.00 ^a	82.36±0.00 ^b	68.82±0.08 ^c	33.99±0.00 ^d

หมายเหตุ - ค่าของข้อมูลแสดงค่าเฉลี่ย ± ค่าเบี่ยงเบนมาตรฐาน ($n=6$)
 - ^{a-d} ค่าเฉลี่ยที่มีอักษรกำกับแตกต่างกันในแนวนอน แสดงถึงความแตกต่างกันอย่างมีนัยสำคัญทางสถิติ ($p<0.05$)
 - US = คลื่นอัลตร้าโซนิก

ตาราง 5 ค่าความเป็นสีเขียว-แดง (a*) ของสารสกัดจากการสกัดสองวิธี

วิธีการสกัด	ค่าสี a*			
	ตัวทำละลาย			
	น้ำ	เอทานอล 50%	เอทานอล 70%	เอทานอล 95%
แบบเบี่ยง	7.83±0.28 ^a	2.02±0.31 ^b	-31.69±0.70 ^d	-30.62±0.21 ^c
US	6.73±0.02 ^a	3.90±0.09 ^b	-30.85±0.35 ^c	-51.39±1.47 ^d

หมายเหตุ - ค่าของข้อมูลแสดงค่าเฉลี่ย ± ค่าเบี่ยงเบนมาตรฐาน ($n=6$)
 - ^{a-d} ค่าเฉลี่ยที่มีอักษรกำกับแตกต่างกันในแนวนอน แสดงถึงความแตกต่างกันอย่างมีนัยสำคัญทางสถิติ ($p<0.05$)
 - US = คลื่นอัลตร้าโซนิก

ตาราง 6 ค่าความเป็นสีน้ำเงิน-เหลือง (b*) ของสารสกัดจากการสกัดสองวิธี

วิธีการสกัด	ค่าสี b*			
	ตัวทำละลาย			
	น้ำ	เอทานอล 50%	เอทานอล 70%	เอทานอล 95%
แบบเบี้ยง	17.49±0.00 ^d	58.47±0.24 ^c	115.81±0.00 ^b	116.57±0.25 ^a
US	21.81±0.00 ^d	55.24±0.27 ^c	118.66±0.14 ^a	94.71±0.00 ^b

หมายเหตุ - ค่าของข้อมูลแสดงค่าเฉลี่ย ± ค่าเบี่ยงเบนมาตรฐาน ($n=6$)
- ^{a-d} ค่าเฉลี่ยที่มีอักษรกำกับแตกต่างกันในแนวนอน แสดงถึงความแตกต่างกันอย่างมีนัยสำคัญทางสถิติ ($p<0.05$)
- US = คลื่นอัลตร้าโซนิก

สำหรับค่าความเป็นสีเขียว (a*) ของสารสกัด พบร่วมกับการสกัดด้วยการใช้คลื่นอัลตร้าโซนิกร่วมกับเอทานอลที่ความเข้มข้น 95 % จะมีค่าน้อยกว่าตัวอย่างสารสกัดที่ใช้ตัวทำละลายด้วยเอทานอลที่ความเข้มข้น 70%, 50% และน้ำ ตามลำดับ โดยมีค่า เท่ากับ -51.39, -30.85, 3.90 และ 6.73 ตามลำดับ ซึ่งมีค่าน้อยกว่าการใช้วิธีการแบบเบี้ยงร่วมกับการใช้ตัวทำละลายชนิดอื่น โดยค่าความเข้มของสีเขียวในตัวอย่างสารสกัดที่ได้จากการเบี้ยงร่วมกับตัวทำละลายด้วยเอทานอลที่ความเข้มข้น 95%, 70%, 50% และน้ำ มีค่าเท่ากับ -30.62, -31.69, 2.02 และ 7.83 ตามลำดับ และในส่วนค่าความเป็นสีเหลือง (b*) พบร่วมกับตัวอย่างสารสกัดที่ได้จากการสกัดโดยการใช้คลื่นอัลตร้าโซนิกร่วมกับเอทานอลที่ความเข้มข้น 70% มีค่าความเป็นสีเหลืองมากกว่าตัวอย่างสารสกัดที่ใช้ตัวทำละลายด้วยเอทานอลที่ความเข้มข้น 95%, 50% และน้ำ ตามลำดับ โดยมีค่า เท่ากับ 118.66, 94.79, 55.24 และ 21.81 ตามลำดับ ส่วนสารสกัดที่ได้จากการสกัดด้วยวิธีแบบเบี้ยงมีค่าเท่ากับ 116.57, 115.81, 58.47 และ 17.49 ตามลำดับ

สำหรับการวิเคราะห์สมบัติทางชีวเคมีของสารสกัดจากกล้ามข้าว โดยการวิเคราะห์สมบัติการต้านออกซิเดชัน ปริมาณสารประกอบพอลิฟินอล และปริมาณคลอโรฟิลล์ พบร่วมกับวิธีการสกัดและตัวทำละลายเป็นปัจจัยที่แสดงให้เห็นถึงความแตกต่างอย่างมีนัยสำคัญเกี่ยวกับกิจกรรมการต้านอนุมูลอิสระในสารสกัดจากกล้ามข้าว (ตาราง 7)

ทั้งนี้การสกัดด้วยคลีนอัลตร้าโซนิกร่วมกับการใช้ตัวทำละลายในการสกัดจะช่วยให้ การสกัดสารต้านอนุมูลอิสระในกล้าข้าวมีประสิทธิภาพมากขึ้นเมื่อเทียบกับวิธีการ夷่า ซึ่งการสกัดด้วยคลีนอัลตร้าโซนิกร่วมกับการใช้ออกาณอล 95% ให้สารสกัดที่มีสมบัติการต้านออกซิเดชันมากกว่า การใช้ตัวทำละลายด้วยออกาณอล 70%, 50% และน้ำ ($p<0.05$) โดยตัวอย่างสารสกัดที่ได้มีสมบัติการต้านออกซิเดชัน เท่ากับ 24.48, 20.06, 18.63 และ 15.64 มิลลิกรัมสมมูลโลหะออกซ์ต่อ 1 กรัมตัวอย่าง แห้ง ตามลำดับ สำหรับสมบัติการต้านออกซิเดชันด้วยวิธี FRAP ซึ่งเป็นการวิเคราะห์ความสามารถในการรีดิวช์เฟอร์ริกของสารต้านอนุมูลอิสระที่สามารถถ่ายเทอเด็กตอนให้กับสารประกอบเชิงซ้อน (Fe^{3+}) เกิดการเปลี่ยนรูปเป็น (Fe^{2+}) ซึ่งปริมาณของ (Fe^{2+}) ที่เกิดสามารถประมาณความสามารถในการเป็นสารต้านอนุมูลอิสระได้ในรูปของ FRAP value (Gohari et al., 2011) โดยสารสกัดดังกล่าว มีค่าเท่ากับ 23.78, 19.03, 13.85 และ 8.72 มิลลิกรัมสมมูลเฟอร์รัสซัฟเฟตต่อ 1 กรัมตัวอย่างแห้ง ตามลำดับ สำหรับปริมาณสารประกอบพอลิฟินอลนั้นมีค่า 9.27, 7.71, 7.65 และ 7.01 มิลลิกรัมสมมูลกรดเกลติก 1 กรัมตัวอย่างแห้ง ตามลำดับ เช่นเดียวกับการสกัดด้วยวิธีการ夷่าร่วมกับการใช้ออกาณอล 95% ให้ผลต่อสมบัติการต้านออกซิเดชันมากกว่า การใช้ตัวทำละลายด้วยออกาณอล 70%, 50% และน้ำ โดยตัวอย่างสารสกัดที่ได้มีสมบัติการต้านออกซิเดชันด้วยวิธี ABTS⁺ เท่ากับ 20.55, 19.10, 16.73 และ 12.93 มิลลิกรัมสมมูลโลหะออกซ์ต่อ 1 กรัมตัวอย่างแห้ง ตามลำดับ ส่วนสมบัติการต้านออกซิเดชันด้วยวิธี FRAP มีค่าเท่ากับ 23.06, 15.78, 11.92 และ 7.84 มิลลิกรัมสมมูลเฟอร์รัสซัฟเฟตต่อ 1 กรัมตัวอย่างแห้ง ตามลำดับ สำหรับปริมาณสารประกอบพอลิฟินอลมีค่าเท่ากับ 6.96, 6.79, 6.61 และ 6.17 มิลลิกรัมสมมูลกรดเกลติก 1 กรัมตัวอย่างแห้ง ตามลำดับ และจากการวิเคราะห์ปริมาณคลอโรฟิลล์ในสารสกัด พนวจ นีปริมาณเพิ่มขึ้นเมื่อตัวทำละลายออกาณอลมีความเข้มข้นมากขึ้น โดยการสกัดด้วยคลีนอัลตร้าโซนิก จะมีค่าอยู่ในช่วง 0.05-2.99 มิลลิกรัมต่อ 1 กรัมตัวอย่างแห้ง เช่นเดียวกับการสกัดด้วยวิธีการ夷่า จะมีค่าอยู่ในช่วง 0.03-1.97 มิลลิกรัมต่อ 1 กรัมตัวอย่างแห้ง

จากการศึกษาเปรียบเทียบในแต่ละตัวทำละลาย พนวจ สารต้านออกซิเดชันและปริมาณสารประกอบพอลิฟินอลจะมีค่าเพิ่มสูงขึ้นเมื่อตัวทำละลายออกาณอลมีความเข้มข้นมากขึ้น แสดงให้เห็นว่า สารต้านอนุมูลอิสระในกล้าข้าวมีทั้งในส่วนที่มีข้าวและไม่มีข้าว ดังนั้นตัวทำละลายออกาณอลสามารถนำมาใช้เพื่อให้ได้สารต้านอนุมูลอิสระที่สูงในสารสกัด โดยเฉพาะอย่างยิ่ง จากกล้าข้าว อย่างไรก็ตามขึ้นกับวัตถุประสงค์การใช้งานด้วย เช่น อาจใช้น้ำในการสกัดได้ เช่นกัน หากไม่ต้องการให้ผลิตภัณฑ์ดังกล่าวมีการปนเปื้อนสารเคมี แต่สมบัติต้านออกซิเดชันจะลดลง เมื่อเทียบกับการใช้ออกาณอลเป็นตัวทำละลาย

ตาราง 7 สมบัติการต้านออกซิเดชัน ปริมาณสารประกอบพอลีฟีนอล และปริมาณคลอโรฟิลล์ของสารสกัดที่สกัดด้วยกลีนอัลตร้าโซนิกเปรียบเทียบกับ การเบย่า

คุณสมบัติทางชีวเคมี	วิธีการสกัด	ตัวทำละลาย			
		น้ำ	เอทานอล 50%	เอทานอล 70%	เอทานอล 95%
สมบัติการต้านออกซิเดชัน วิธีวิเคราะห์ ABTS ⁺ (มิลลิกรัมสมมูล trolox) ^c	แบบเบย่า	12.93±0.38 ^d	16.73±0.56 ^c	19.10±1.65 ^b	20.55±1.33 ^a
สมบัติการต้านออกซิเดชัน วิธีวิเคราะห์ FRAP (มิลลิกรัมสมมูลเฟอร์รัสซัลเฟต)	US	15.64±0.48 ^d	18.63±1.31 ^c	20.06±1.85 ^b	24.48±0.67 ^a
ปริมาณสารประกอบพอลีฟีนอล (มิลลิกรัมสมมูลกรดแแกลลิก)	แบบเบย่า	7.84 ±0.15 ^d	11.92±1.26 ^c	15.78±2.70 ^b	23.06±1.08 ^a
ปริมาณคลอโรฟิลล์ (มิลลิกรัม)	US	8.72 ±0.18 ^d	13.85±0.79 ^c	19.03±1.89 ^b	23.78±2.25 ^a
ปริมาณเบย่า	แบบเบย่า	6.17±0.04 ^c	6.61±0.32 ^b	6.79±0.71 ^b	6.96±0.08 ^a
US	7.01±0.06 ^c	7.65±0.99 ^b	7.71±0.45 ^b	9.27±0.28 ^a	
แบบเบย่า	แบบเบย่า	0.03 ±0.00 ^c	0.05±0.00 ^c	0.81±0.06 ^b	1.97±0.18 ^a
US	0.05 ±0.00 ^c	0.06±0.01 ^c	1.53±0.04 ^b	2.99±0.03 ^a	

หมายเหตุ

- ค่าของข้อมูลแสดงค่าเฉลี่ย ± ค่าเบี่ยงเบนมาตรฐาน (n=6)
- ^{a-d} ค่าเฉลี่ยที่มีอักษรกำกับแตกต่างกันในแนวนอน แสดงถึงความแตกต่างกันอย่างมีนัยสำคัญทางสถิติ ($p<0.05$)
- US = กลีนอัลตร้าโซนิก

ผลการศึกษานี้สอดคล้องกับงานวิจัยของ Huang et al. (2009) ที่ได้ศึกษาการสกัดสารฟลาโวนอยด์จาก *Folium eucommiae* ซึ่งเป็นพืชสมุนไพรพื้นบ้านของจีน โดยใช้อุตสาหกรรมเป็นตัวทำละลายในการสกัด ที่พบว่าการใช้อุตสาหกรรมที่มีความเข้มข้นมากขึ้น ส่งผลให้การสกัดสารฟลาโวนอยด์มีปริมาณเพิ่มขึ้น ทั้งนี้อาจเป็นผลจากการเปลี่ยนแปลงของตัวทำละลายที่มีสภาพความเป็นขั้วน้ำมากขึ้น จึงส่งผลต่อการสกัดสารได้สูง ผลที่ได้แสดงให้เห็นว่า เอทานอลสามารถให้ความดันไออกไซด์เหมาะสม มีความหนืดและแรงตึงผิว ซึ่งเป็นลักษณะทางกายภาพที่สำคัญของตัวทำละลายที่มีอิทธิพลต่อประสิทธิภาพในการสกัด

Hayouni et al. (2007) ได้ศึกษาการใช้ตัวทำละลายที่แตกต่างกันในการสกัดสารประกอบฟินอล รวมทั้งสารต้านอนุมูลอิสระจากผล Tunisian (*Quercus coccifera* L.) และ ผล (*Juniperus phoenicea* L.) ซึ่งพบว่า การใช้ตัวทำละลายที่มีความเป็นขั้วน้ำมากขึ้นจะมีผลในการจับกับอนุมูลอิสระมากกว่าการใช้ตัวทำละลายที่มีความเป็นขั้วต่ำ จากผลการศึกษาซึ่งให้เห็นว่า สารต้านอนุมูลอิสระ หรือสารประกอบในสารสกัดจะมีความเป็นขั้วที่แตกต่างกันทำให้มีผลต่อความสามารถในการละลายของสารต้านอนุมูลอิสระในตัวทำละลายที่มีความเป็นขั้วแตกต่างกัน เช่นเดียวกับการศึกษาของ Tabaraki and Nateghi (2011) ที่ศึกษาการใช้คืนอัลตร้าโซนิกและตัวทำละลายชนิดต่างๆ ในการสกัดสารต้านอนุมูลอิสระและสารประกอบฟินอลจากรากข้าว พนว่า การใช้ตัวทำละลายเมทานอลให้ผลในการสกัดสารต้านอนุมูลอิสระและสารประกอบฟินอลดีกว่าการใช้อุตสาหกรรม เช่นเชิงและเชิง เนื่องจากเมทานอลมีความเป็นขั้วน้ำมากกว่า อย่างไรก็ตามการใช้อุตสาหกรรมที่มีความเข้มข้นสูงยังให้ผลในการสกัดที่ดี ซึ่งสอดคล้องกับงานวิจัยของ Zou et al. (2011) ที่พบว่า การใช้คืนอัลตร้าโซนิกร่วมกับการใช้เมทานอลที่ความเข้มข้น 63.8% ใน การสกัดจะส่งผลทำให้การสกัดสารแอนโทไซยานินจากลูกหม่อนมีปริมาณสูงสุด ทั้งนี้เป็นผลจากแรงกลที่เกิดจาก การสั่นสะเทือนของคืนอัลตร้าโซนิกที่ช่วยให้การแทรกซึมของตัวทำละลายเข้าไปในเนื้อเยื่อพืช และเพิ่มพื้นที่ผิวสัมผัสระหว่างของแข็งและของเหลว จึงส่งผลให้ตัวถูกระยะเกิดกระบวนการแยกตัวจากเนื้อเยื่ออกรากขึ้นตัวทำละลายได้รวดเร็ว

การเลือกใช้ตัวทำละลายที่เหมาะสมในการสกัดขึ้นอยู่กับการพิจารณาทางด้านเศรษฐกิจและผลกระทบต่อสิ่งแวดล้อมของตัวทำละลายแต่ละชนิดที่ใช้ ซึ่งตัวทำละลายเป็นหนึ่งในปัจจัยที่มีบทบาทสำคัญต่อกระบวนการสกัด โดยทั่วไปกระบวนการสกัดจะนิยมใช้อุตสาหกรรมเป็นตัวทำละลายในการสกัดสารประกอบจากพืชด้วยวิธีการหัวไป (Hayouni et al., 2007; Tabaraki and Nateghi 2011; Oliveira et al., 2013)

จากการวิจัยของ Oliveira et al. (2013) ที่ได้ศึกษาการสกัดน้ำมันจากเมล็ดเสาวรส โดยเปรียบเทียบประสิทธิภาพในการสกัดด้วยวิธีการแบบเบย่า การกลั่น และคลื่นอัลตร้าโซนิก พบว่า คลื่นอัลตร้าโซนิกสามารถเพิ่มผลผลิตได้ถึง 23.8% ใน การสกัดและสามารถนำมาระบุคต์ใช้แทนวิธีการสกัดแบบดั้งเดิมได้ ซึ่งสอดคล้องกับการศึกษาของ Huang et al. (2009) ที่พบว่า การสกัดสารฟลาโวนอยด์จาก *Folium eucommiae* ด้วยคลื่นอัลตร้าโซนิก จะให้ปริมาณสารฟลาโวนอยด์สูงถึง 41% ซึ่งมีประสิทธิภาพในการสกัดมากกว่าการใช้ความร้อน การใช้ในโครเวฟ และเอนไซม์ จากผลการศึกษาที่ได้แสดงให้เห็นถึงอิทธิพลของการสั่นสะเทือนจากคลื่นอัลตร้าโซนิกที่มีผลต่อการทำลายเซลล์โดยช่วยลดขนาดอนุภาคของเซลล์ และเพิ่มพื้นที่ผิวสัมผัสระหว่างของแข็งและของเหลวทำให้ตัวทำลายสามารถเข้าถึงองค์ประกอบภายในเซลล์ได้ (Fang et al., 2007)

นอกจากนี้ยังมีการศึกษาเปรียบเทียบการใช้คลื่นอัลตร้าโซนิกกับวิธีการกลั่นและไมโครเวฟในการสกัดเปลือกต้นสน พบว่า การใช้คลื่นอัลตร้าโซนิกจะส่งผลต่อปริมาณสารต้านอนุมูลอิสระที่เพิ่มขึ้น เช่น สารประกอบพอลิฟินอล สารแทนนิน เป็นต้น ทั้งนี้เป็นผลเนื่องมาจากการกระทำการสกัดด้วยคลื่นอัลตร้าโซนิกที่มีต่อชั้นเปลือกต้นสนจนทำให้ผนังเซลล์ถูกกัดขาด เพราะอนุภาคที่เกิดจากการสั่นสะเทือนของคลื่นอัลตร้าโซนิกผ่านตัวกลางที่มีความด้านทานต่อพลังงานจากคลื่นที่เกิดขึ้น โดยจากการนำเสนอปีก่อนที่ผ่านการสกัดไปส่องกล้องจุลทรรศน์ วิธีการนี้มีผลลัพธ์ที่ดีกว่าการสกัดด้วยวิธีการแบบเดิม (SEM) (Estrella and Katherina, 2011)

จากการทดลองในตอนนี้ได้ศึกษาเปรียบเทียบประสิทธิภาพในการสกัดด้วยคลื่นอัลตร้าโซนิกและเครื่องควบคุมอุณหภูมิแบบเบย่า ซึ่งพบว่าการสกัดด้วยคลื่นอัลตร้าโซนิกมีประสิทธิภาพที่ดีต่อคุณภาพสารสกัดจากกล้ามข้าวพันธุ์สุโขทัย 1 ทั้งนี้จะนำคลื่นอัลตร้าโซนิกดังกล่าวไปศึกษาในขั้นตอนต่อไป

การศึกษาความถี่คลื่นอัลตร้าโซนิกที่เหมาะสมต่อการสกัด

ในการศึกษาความถี่คลื่นอัลตร้าโซนิกที่เหมาะสมสำหรับการสกัด ได้ใช้ความถี่ 3 ระดับ คือ 28kHz, 45kHz และ 100kHz ร่วมกับการใช้ตัวทำละลาย 4 ชนิด คือ น้ำ เอทานอล 50% เอทานอล 70% และเอทานอล 95% โดยควบคุมอุณหภูมิและเวลาในการสกัดที่ 50 องศาเซลเซียส เป็นเวลา 60 นาที จากนั้นนำสารสกัดมาวิเคราะห์ค่าสี สมบัติการต้านออกซิเดชัน ปริมาณสารประกอบพอลิฟินอลทั้งหมด และปริมาณคลอโรฟิลล์ พลจากการวัดค่าสีของสารสกัดที่ได้จากความถี่ 3 ระดับ พบว่า การสกัดด้วยคลื่นอัลตร้าโซนิกที่ความถี่ต่ำ 28kHz ร่วมกับตัวทำละลายเอทานอล 70% จะให้ค่าความสว่าง (L*) น้อยกว่าเมื่อเทียบกับการสกัดด้วยความถี่ 45kHz และ 100kHz ร่วมกับตัวทำละลายชนิดอื่น ($p<0.05$) โดยพบว่ามีค่าความสว่างของสี (L*) เท่ากับ 26.82, 46.89, 69.30 และ 84.92 ตามลำดับ (ตาราง 8-10) สำหรับค่าความสว่างของสี (L*) ที่ความถี่ 45kHz ร่วมกับการใช้ตัวทำละลายด้วยเอทานอลที่ความเข้มข้น 95% มีค่าความสว่างของสี (L*) น้อยกว่าตัวอย่างสารสกัดที่ใช้ตัวทำละลายด้วยเอทานอลที่ความเข้มข้น 70%, 50% และน้ำ ตามลำดับ โดยมีค่าเท่ากับ 39.42, 44.61, 68.38 และ 85.25 ตามลำดับ ส่วนค่าสี (L*) ที่ความถี่ 100kHz ร่วมกับการใช้ตัวทำละลายเอทานอลที่ความเข้มข้น 95% มีค่าความสว่างของสี (L*) น้อยกว่าตัวอย่างสารสกัดที่ใช้ตัวทำละลายเอทานอลที่ความเข้มข้น 70%, 50% และน้ำ ตามลำดับ โดยมีค่าเท่ากับ 44.12, 45.29, 81.68 และ 89.68 ตามลำดับ สำหรับในส่วนค่าความเป็นสีเขียว (a*) พบว่า ที่ความถี่ 45kHz ร่วมกับการใช้เอทานอล 95% มีค่ามากกว่าการใช้ความถี่ 28 kHz และ 100 kHz ร่วมกับการใช้ตัวทำละลายชนิดอื่น โดยพบว่ามีค่าความเป็นสีเขียว (a*) เท่ากับ -45.52, 0.95, 4.63 และ 7.70 ตามลำดับ ส่วนค่าความเป็นสีเขียว (a*) ที่ความถี่ 28kHz ร่วมกับการใช้ตัวทำละลายเอทานอลที่ความเข้มข้น 95% มีค่าของสี (a*) มากกว่าการใช้ตัวทำละลายด้วยเอทานอลที่ความเข้มข้น 70%, 50% และน้ำ ตามลำดับ โดยมีค่าเท่ากับ -46.46, -7.89, 3.38 และ 6.92 ตามลำดับ ส่วนค่าสี (a*) ที่ความถี่ 100kHz ร่วมกับการใช้ตัวทำละลายด้วยเอทานอลที่ความเข้มข้น 95% มีค่าของสี (a*) มากกว่าการใช้ตัวทำละลายเอทานอลที่ความเข้มข้น 70%, 50% และน้ำ ตามลำดับ โดยมีค่าเท่ากับ -49.96, -22.78, 2.81 และ 7.40 ตามลำดับ และค่าความเป็นสีเหลือง (b*) พบว่าที่ความถี่ 28 kHz ร่วมกับการใช้เอทานอล 50% จะให้ค่าความเป็นสีเหลืองมากกว่าการสกัดด้วยความถี่ 45kHz และ 100kHz ร่วมกับตัวทำละลายชนิดอื่น ($p<0.05$)

ตาราง 8 ค่าความสว่าง (L^*) ของสารสกัดจากการสกัดด้วยคลื่นอัลตร้าโซนิกความถี่ 3 ระดับ

คลื่นความถี่	ค่าสี L^*			
	น้ำ	เอทานอล 50%	เอทานอล 70%	เอทานอล 95%
28kHz	84.92 ± 0.00^{az}	69.30 ± 0.00^{by}	26.82 ± 0.00^{dz}	46.89 ± 0.00^{cx}
45kHz	85.25 ± 0.12^{ay}	68.38 ± 0.00^{bz}	44.61 ± 0.24^{cy}	39.42 ± 0.00^{dz}
100kHz	89.68 ± 0.11^{ax}	81.68 ± 0.10^{bx}	45.29 ± 0.53^{cx}	44.12 ± 0.00^{dy}

- หมายเหตุ
- ค่าของข้อมูลแสดงค่าเฉลี่ย ± ค่าเบี่ยงเบนมาตรฐาน ($n=6$)
 - ^{a-d} ค่าเฉลี่ยที่มีอักษรกำกับแตกต่างกันในแนวนอน แสดงถึงความแตกต่างกันอย่างมีนัยสำคัญทางสถิติ ($p<0.05$)
 - ^{x-z} ค่าเฉลี่ยที่มีอักษรกำกับแตกต่างกันในแนวส่วนที่ 2 แสดงถึงความแตกต่างกันอย่างมีนัยสำคัญทางสถิติ ($p<0.05$)

ตาราง 9 ค่าความเป็นสีเขียว-แดง (a^*) ของสารสกัดจากการสกัดด้วยคลื่นอัลตร้าโซนิกความถี่ 3 ระดับ

คลื่นความถี่	ค่าสี a^*			
	น้ำ	เอทานอล 50%	เอทานอล 70%	เอทานอล 95%
28kHz	6.92 ± 0.19^{ay}	3.38 ± 0.00^{by}	-7.89 ± 0.00^{cy}	-46.46 ± 0.00^{dx}
45kHz	7.70 ± 0.42^{ax}	4.63 ± 0.23^{bx}	0.95 ± 0.59^{cz}	-45.52 ± 0.85^{dx}
100kHz	7.40 ± 0.48^{ax}	2.81 ± 0.06^{bz}	-22.78 ± 0.80^{cz}	-49.96 ± 2.62^{dy}

- หมายเหตุ
- ค่าของข้อมูลแสดงค่าเฉลี่ย ± ค่าเบี่ยงเบนมาตรฐาน ($n=6$)
 - ^{a-d} ค่าเฉลี่ยที่มีอักษรกำกับแตกต่างกันในแนวนอน แสดงถึงความแตกต่างกันอย่างมีนัยสำคัญทางสถิติ ($p<0.05$)

- ^{a-z} ค่าเฉลี่ยที่มีอักษรกำกับแตกต่างกันในแนวสอดคล้องกับความแตกต่างกันของมั่นคงสำคัญทางสถิติ ($p<0.05$)

ตาราง 10 ค่าความเป็นสีน้ำเงิน-เหลือง (b^*) ของสารสกัดจากการสกัดด้วยคลื่นอัลตร้าโซนิกความถี่ 3 ระดับ

คลื่นความถี่	ค่าสี b^*			
	น้ำ	ตัวทำละลาย		
		เอทานอล 50%	เอทานอล 70%	เอทานอล 95%
28kHz	27.46 ± 0.00^{dy}	82.86 ± 0.00^{ax}	46.24 ± 0.00^{cz}	80.84 ± 0.00^{bx}
45kHz	27.77 ± 0.20^{dx}	81.28 ± 0.00^{ay}	76.90 ± 0.41^{by}	67.97 ± 0.00^{cz}
100kHz	24.71 ± 0.18^{dz}	75.43 ± 0.20^{cz}	78.08 ± 0.92^{ax}	76.07 ± 0.00^{by}

หมายเหตุ

- ค่าของข้อมูลแสดงค่าเฉลี่ย \pm ค่าเบี่ยงเบนมาตรฐาน ($n=6$)
- ^{a-d} ค่าเฉลี่ยที่มีอักษรกำกับแตกต่างกันในแนวโน้ม แสดงถึงความแตกต่างกันของมั่นคงสำคัญทางสถิติ ($p<0.05$)
- ^{x-z} ค่าเฉลี่ยที่มีอักษรกำกับแตกต่างกันในแนวสอดคล้องกับความแตกต่างกันของมั่นคงสำคัญทางสถิติ ($p<0.05$)

โดยพบว่ามีค่าความเป็นสีเหลือง (b^*) เท่ากับ 82.86, 80.84, 46.24 และ 27.46 ตามลำดับ สำหรับค่าของสี (b^*) ที่ความถี่ 45kHz ร่วมกับการใช้ตัวทำละลายเอทานอลที่ความเข้มข้น 50% มีค่าของสี (b^*) มากกว่าการใช้ตัวทำละลายเอทานอลที่ความเข้มข้น 95%, 70% และน้ำ ตามลำดับ โดยมีค่าเท่ากับ 81.28, 67.97, 76.90 และ 27.77 ตามลำดับ ส่วนค่าสี (b^*) ที่ความถี่ 100kHz ร่วมกับการใช้ตัวทำละลายเอทานอลที่ความเข้มข้น 70% มีค่าความสว่างของสี (b^*) มากกว่าการใช้ตัวทำละลายเอทานอลที่ความเข้มข้น 95%, 50% และน้ำ ตามลำดับ โดยมีค่าเท่ากับ 78.08, 76.07, 75.43 และ 24.71 ตามลำดับ ซึ่งจากการศึกษาผลของคลื่นอัลตร้าโซนิกต่อกระบวนการแปรรูปน้ำผลไม้เบอร์รี่ที่ส่งผลต่อค่าสีและปริมาณสารแอนโทไซยานิน พบว่า การสกัดด้วยคลื่นความถี่ต่ำ 20kHz มีผลต่อการเปลี่ยนแปลงค่าสี (L^*) ที่มีแนวโน้มลดลง ค่าสี (a^*) มีค่าเพิ่มขึ้น และค่าสี (b^*) มีแนวโน้มเพิ่มขึ้น และปริมาณสารแอนโทไซยานินที่เพิ่มขึ้นในระหว่างการสกัด (Tiwari et al., 2009) เช่นเดียวกับการศึกษาการใช้คลื่นอัลตร้าโซนิกต่อกระบวนการแปรรูปน้ำองุ่นแดง พบว่า การใช้คลื่นความถี่ต่ำ 20kHz มีผลทำให้ค่าสี (L^*) ที่มีแนวโน้มลดลง ค่าสี (a^*)

มีค่าเพิ่มขึ้น และค่าสี (b*) มีแนวโน้มลดลง ทั้งนี้การเปลี่ยนแปลงค่าสีที่เกิดขึ้นในระหว่างการสกัดอาจเป็นผลจากอิทธิพลของปัจจัยภายนอก เช่น ความสมบูรณ์ขององุ่น สายพันธุ์ขององุ่น เป็นต้น (Tiwari et al., 2010)

จากการศึกษาสมบัติทางชีวเคมีของสารสกัดโดยทำการวิเคราะห์สมบัติการต้านออกซิเดชันด้วยวิธี ABTS⁺, FRAP, ปริมาณสารประกอบโพลีฟีนอล และปริมาณคลอโรฟิลล์ ทั้งหมด พบว่า คลื่นความถี่และตัวทำละลายเป็นปัจจัยที่แสดงให้เห็นถึงความแตกต่างอย่างมีนัยสำคัญเกี่ยวกับกิจกรรมการต้านอนุមูลอิสระในสารสกัดจากกล้าม้าขาว (ตาราง 11-12) ตัวอย่างสารสกัดที่ได้จากการสกัดด้วยคลื่นความถี่ 28kHz และ 45kHz ร่วมกับการใช้อุ่นออล 95% ใน การสกัดจะให้ผลของสมบัติการต้านออกซิเดชันมากกว่าการใช้ตัวทำละลายเอทานอล 70%, 50% และน้ำ ทั้งนี้ช่วยทำให้การสกัดสารต้านอนุมูลอิสระในกล้าม้าขาวมีประสิทธิภาพมากกว่าเมื่อเปรียบเทียบ กับการสกัดด้วยความถี่ 100kHz ร่วมกับตัวทำละลายชนิดอื่น ($p<0.05$) โดยสารสกัดที่ได้จากการสกัดด้วยคลื่นความถี่ 28kHz มีค่าสมบัติการต้านออกซิเดชันเมื่อวิเคราะห์ด้วยวิธี ABTS⁺เท่ากับ 31.60, 24.01, 26.66 และ 22.38 มิลลิกรัมสมมูลไตรโลกซ์ต่อ 1 กรัมตัวอย่างแห้ง ตามลำดับ ส่วนสารสกัดที่ได้จากการสกัดด้วยคลื่นความถี่ 45kHz มีค่าสมบัติการต้านออกซิเดชันเมื่อวิเคราะห์ด้วยวิธี ABTS⁺ เท่ากับ 28.68, 21.42, 25.52 และ 19.41 มิลลิกรัมสมมูลไตรโลกซ์ต่อ 1 กรัมตัวอย่างแห้ง ตามลำดับ และสารสกัดที่ได้จากการสกัดด้วยคลื่นความถี่ 100kHz มีค่าสมบัติการต้านออกซิเดชัน เมื่อวิเคราะห์ด้วยวิธี ABTS⁺ เท่ากับ 26.22, 19.51, 23.82 และ 17.66 มิลลิกรัมสมมูลไตรโลกซ์ต่อ 1 กรัมตัวอย่างแห้ง ตามลำดับ สำหรับสมบัติการต้านออกซิเดชันโดยวิเคราะห์ด้วยวิธี FRAP พบว่า การใช้คลื่นความถี่ 45kHz ร่วมกับการใช้อุ่นออล 95% ใน การสกัดจะให้ค่าสมบัติการต้านออกซิเดชันไม่แตกต่างกันเมื่อเปรียบเทียบกับการสกัดด้วยคลื่นความถี่ที่ 100kHz ($p>0.05$) ซึ่งมีค่าเท่ากับ 31.04, 13.60, 18.79 และ 7.78 มิลลิกรัมสมมูลเฟอร์รัสซัลเฟตต่อ 1 กรัมตัวอย่างแห้ง ตามลำดับ ส่วนคลื่นความถี่ที่ 100kHz มีค่าเท่ากับ 29.93, 21.03, 18.17 และ 6.96 มิลลิกรัมสมมูลเฟอร์รัสซัลเฟตต่อ 1 กรัมตัวอย่างแห้ง ตามลำดับ และคลื่นความถี่ที่ 28kHz มีค่าเท่ากับ 27.77, 19.97, 19.78 และ 7.76 มิลลิกรัมสมมูลเฟอร์รัสซัลเฟตต่อ 1 กรัมตัวอย่างแห้ง ตามลำดับ

จากการศึกษาการใช้คลื่นความถี่ที่ 28kHz หรือ 45kHz ร่วมกับการใช้อุ่นออล 95% จะส่งผลต่อค่าสมบัติการต้านออกซิเดชันด้วยวิธี ABTS⁺ ที่เพิ่มสูงขึ้น แต่ค่าสมบัติการต้านออกซิเดชันด้วยวิธี FRAP ให้ผลไม่แตกต่างกันมากเมื่อเทียบกับคลื่นความถี่ที่ต่างระดับที่ใช้ในการสกัด

ตาราง 11 สมบัติการด้านออกซิเดชันของสารสกัดจากการสกัดด้วยคลื่นอัลตร้าโซนิกความถี่ 3 ระดับ

สมบัติทางชีวเคมี	คลื่นความถี่	ตัวทำละลาย		
		น้ำ	เอทานอล 50%	เอทานอล 70%
สมบัติการด้านออกซิเดชัน วิธีวิเคราะห์ ABTS ⁺ (มิลิกรัมสมมูล trolox)	28kHz	22.38±0.25 ^{dx}	26.66±0.07 ^{bx}	24.01±0.04 ^{cx}
	45kHz	19.41±0.06 ^{dy}	25.52±0.02 ^{by}	21.42±0.04 ^{cxy}
	100kHz	17.66±0.04 ^{dz}	23.82±0.09 ^{bz}	19.51±0.03 ^{cy}
สมบัติการด้านออกซิเดชัน วิธีวิเคราะห์ FRAP (มิลิกรัมสมมูลฟีอร์รัสซัลเฟต)	28kHz	7.76 ±0.12 ^{dy}	19.78±0.47 ^{cx}	19.97±0.79 ^{bx}
	45kHz	7.78 ±0.31 ^{dxy}	18.79±0.07 ^{by}	13.60±0.11 ^{cy}
	100kHz	6.96 ±0.44 ^{dz}	18.17±0.70 ^{cy}	21.03±0.51 ^{bx}
				29.93±0.65 ^{ax,y}

หมายเหตุ

- ค่าของข้อมูลแสดงค่าเฉลี่ย ± ค่าเบี่ยงเบนมาตรฐาน (n=6)
- ^{a-d} ค่าเฉลี่ยที่มีอักษรกำกับแตกต่างกันในแนวนอน แสดงถึงความแตกต่างกันอย่างมีนัยสำคัญทางสถิติ ($p<0.05$)
- ^{x-z} ค่าเฉลี่ยที่มีอักษรกำกับแตกต่างกันในแนวสอดคล้อง แสดงถึงความแตกต่างกันอย่างมีนัยสำคัญทางสถิติ ($p<0.05$)

ตาราง 12 ปริมาณสารประกอบพอลีฟีนอลและปริมาณคลอโรฟิลล์ของสารสกัดจากสารสกัดด้วยคุณลักษณะตัวอย่างที่ 3 ระดับ

สารพฤกษ์เคมี	คุณลักษณะ	ตัวทำละลาย			
		น้ำ	เอทานอล 50%	เอทานอล 70%	เอทานอล 95%
ปริมาณสารประกอบพอลีฟีนอล (มิลลิกรัมสมมูลกรรมการคลิก)	28kHz	5.88±0.11 ^{dx}	8.82±0.09 ^{cz}	9.51±0.02 ^{bxy}	10.49±0.27 ^{ax}
	45kHz	5.22±0.04 ^{dy}	9.99±0.18 ^{ax}	6.98±0.10 ^{cy}	9.17±0.14 ^{bxy}
	100kHz	5.34±0.42 ^{dy}	9.30±0.09 ^{cy}	9.56±0.19 ^{bx}	9.00±0.11 ^{ax}
ปริมาณคลอโรฟิลล์ (มิลลิกรัม)	28kHz	0.02±0.00 ^{dy}	0.05±0.00 ^{cz}	2.34±0.01 ^{bx}	2.70±0.05 ^{ay}
	45kHz	0.05 ±0.01 ^{dx}	0.28±0.01 ^{cx}	2.04±0.11 ^{by}	2.37±0.04 ^{az}
	100kHz	0.06 ±0.02 ^{dx}	0.14±0.01 ^{cy}	1.87±0.00 ^{bz}	4.30±0.02 ^{ax}

หมายเหตุ

- ค่าของข้อมูลแสดงค่าเฉลี่ย ± ค่าเบี่ยงเบนมาตรฐาน (n=6)
- ^{a-d} ค่าเฉลี่ยที่มีอักษรกำกับแตกต่างกันในแนวนอน แสดงถึงความแตกต่างกันอย่างมีนัยสำคัญทางสถิติ ($p<0.05$)
- ^{x-z} ค่าเฉลี่ยที่มีอักษรกำกับแตกต่างกันในแนวศูนย์ แสดงถึงความแตกต่างกันอย่างมีนัยสำคัญทางสถิติ ($p<0.05$)

ทั้งนี้อาจเป็นผลเนื่องมาจากการประกายการณ์แคปวิเตชัน (cavitation) ที่เกิดจากความแรงของคลื่นอัลตร้าโซนิกที่ลดลงเมื่อคลื่นความถี่เพิ่มขึ้น ซึ่งปรากฏการณ์แคปวิเตชันจะทำให้เกิดฟองอากาศที่มีขนาดเล็กและมีพลังงานน้อยลงจึงส่งผลทำให้อัตราผลผลิตจากการสกัดลดลง (Kirpalani and McQuinn, 2006) สำหรับการวิเคราะห์ปริมาณสารประกอบพอลิฟินอล พบว่า การใช้คลื่นความถี่ทั้ง 3 ระดับ ร่วมกับการใช้อุทานอลมีผลต่อปริมาณสารประกอบพอลิฟินอลที่เพิ่มขึ้นเล็กน้อย ($p<0.05$) โดยตัวอย่างสารสกัดจากการสกัดด้วยคลื่นความถี่ 28kHz มีค่าเท่ากับ 5.88-10.49 มิลลิกรัมสมมูลกรดแกลลิก 1 กรัมตัวอย่างแห้ง ส่วนการสกัดด้วยคลื่นความถี่ 45kHz มีค่าเท่ากับ 5.22-9.99 มิลลิกรัมสมมูลกรดแกลลิก 1 กรัมตัวอย่างแห้ง และการสกัดด้วยคลื่นความถี่ 100kHz มีค่าเท่ากับ 5.34-9.56 มิลลิกรัมสมมูลกรดแกลลิก 1 กรัมตัวอย่างแห้ง และการวิเคราะห์ปริมาณคลอโรฟิลล์ในสารสกัด พบว่า การใช้คลื่นอัลตร้าโซนิกร่วมกับการใช้ตัวทำละลายอุทานอลที่ความเข้มข้นมากขึ้นส่งผลต่อปริมาณคลอโรฟิลล์ที่เพิ่มสูงขึ้น ($p<0.05$) โดยการสกัดด้วยคลื่นความถี่ 100 kHz ร่วมกับการใช้อุทานอล 95% ใน การสกัดจะให้ค่าสูงสุด ซึ่งมีค่าอยู่ในช่วง 0.06-4.30 มิลลิกรัมต่อ 1 กรัมตัวอย่างแห้ง ส่วนการสกัดด้วยคลื่นความถี่ 28kHz จะมีค่าอยู่ในช่วง 0.02-2.70 มิลลิกรัมต่อ 1 กรัมตัวอย่างแห้งและการสกัดด้วยคลื่นความถี่ 45kHz จะมีค่าอยู่ในช่วง 0.05-2.37 มิลลิกรัมต่อ 1 กรัมตัวอย่างแห้ง จากการประยุกต์ใช้คลื่นอัลตร้าโซนิกร่วมกับการใช้อุทานอลที่ความเข้มข้นเพิ่มขึ้นจะมีผลต่อค่าสมบัติการด้านออกซิเดชันและปริมาณสารประกอบพอลิฟินอลในตัวอย่างสารสกัดจากกล้ามข้าวอย่างมีนัยสำคัญ การศึกษาครั้งนี้ชี้ให้เห็นว่า การใช้อุทานอล (95%) สามารถนำมาใช้เพื่อให้มีปริมาณสารด้านอนุมูลอิสระในสารสกัดด้วยการใช้คลื่นความถี่ที่ 28kHz, 45kHz หรือ 100kHz ในการสกัดกล้ามข้าวที่ใช้ในการศึกษาครั้งนี้ และอาจแสดงให้เห็นว่า การใช้คลื่นอัลตร้าโซนิกอาจมีผลกระหน่ำอย่างกว้างขวางที่เป็นตัวทำละลายในการสกัด

จากการสกัดโดยการใช้คลื่นอัลตร้าโซนิกนั้นอาจเนื่องมาจากการอิทธิพลของคลื่นความถี่ที่ส่งผ่านตัวกลาง (น้ำ) ให้เกิดโมเลกุลเล็ก ๆ ที่เกิดจากปรากฏการณ์แคปวิเตชัน โดยทำให้เกิดฟองอากาศขึ้น และฟองอากาศที่เกิดขึ้นภายในของเหลวนี้จะสัมผัสกันแรงสั่นที่เกิดจากคลื่นอัลตร้าโซนิกส่งผลทำให้เกิดความดันต่อเนื้อเยื่อของพืชที่บริเวณผนังเซลล์และภายในเซลล์ทำให้ของเหลวภายในเซลล์ไหลออกมายังตัวทำละลายได้ (Knorr et al., 2002) เนื่องเดียวกับการศึกษาของ (Oliveira et al., 2013) พบว่าการสกัดน้ำมันจากเมล็ดเสาวรสด้วยคลื่นอัลตร้าโซนิก จะส่งเสริมการสกัดโดยผ่านการมีปฏิสัมพันธ์ของคลื่นกับโมเลกุลของสารอินทรีย์โดยคลื่นอัลตร้าโซนิกจะทำให้ผนังเซลล์แตกง่ายเป็นผลทำให้สารออกฤทธิ์ทางชีวภาพไหลออกจากเซลล์ได้มากขึ้น

การสกัดด้วยคลื่นอัลตร้าโซนิกสามารถเพิ่มการละลายของสารประกอบที่สำคัญในพืชโดยการแพร่กระจายหรือการเพิ่มอัตราการถ่ายเทนวัลสารไปยังด้วยทำละลายซึ่งด้วยทำละลายจะช่วยลดความหนืดและลดแรงตึงผิวของเซลล์พืชส่งผลทำให้สารสกัดออกมายังด้วยทำละลายมากขึ้น (Spigno et al., 2007) นอกจากนี้การเลือกใช้ด้วยทำละลายที่เหมาะสมต่อการสกัดสารออกฤทธิ์ทางชีวภาพเป็นขั้นตอนแรกที่สำคัญต่อกระบวนการ การสกัดซึ่งด้วยทำละลายที่แตกต่างกันจะส่งผลให้มีคุณภาพและปริมาณขององค์ประกอบของสารสกัดที่แตกต่างกันไปด้วย จากผลการศึกษาการใช้ Ethanlol เป็นด้วยทำละลายซึ่งมีความเป็นขั้นน้อยกว่าน้ำ มีผลทำให้สารประกอบพอลิฟินอลและคลอโรฟิลล์ซึ่งเป็นสารประกอบที่ไม่มีขั้นจะถูกสกัดออกมายางในอ่อนข้าวได้เป็นส่วนมาก เช่นเดียวกับการศึกษาการใช้เมทานอล Ethanol เอ็น-บีวานอล และน้ำ ใน การสกัดสาร phillyrinin จากพืชสมุนไพรเหลียงเกี้ยว พบว่า การใช้เมทานอล และน้ำ ให้ผลต่อการสกัดสาร phillyrinin มากกว่าการใช้ Ethanol และเอ็น-บีวานอล ทั้งนี้เป็นผลจากความมีขั้นมากขึ้นของด้วยทำละลายที่ใช้ในการสกัด (Xia et al., 2011)

จากการศึกษาของ Hossain et al. (2012) ได้ศึกษาการเพิ่มประสิทธิภาพในการสกัดสารต้านอนุมูลอิสระจากมาร์จอร์รันซึ่งเป็นพืชในตระกูลมิ้นท์ (สาระแทน) โดยการใช้คลื่นความถี่ต่ำ 20kHz พบว่า การใช้คลื่นความถี่ต่ำช่วยทำให้ผนังเซลล์เกิดความเสียหายจึงทำให้มีการปลดปล่อยสารต้านอนุมูลอิสระ รวมทั้งสารประกอบพอลิฟินอลออกมายังด้วยทำละลายเพิ่มมากขึ้น ซึ่งสอดคล้องกับงานวิจัยของ Carrera et al. (2012) ได้ศึกษาวิธีการใช้คลื่นอัลตร้าโซนิกที่ความถี่ต่ำ 24kHz ใน การสกัดอุ่นๆ พบว่า การใช้คลื่นอัลตร้าโซนิกในการสกัดช่วยทำให้ผลวิเคราะห์เชิงปริมาณที่เพิ่มขึ้น โดยมีดัชนีชี้วัด คือ การวิเคราะห์ปริมาณสารประกอบฟินอลสารแอนโกลไชyanin และแทนนิน และยังใช้เวลาในการสกัดที่น้อยลง

Kaul et al. (2011) พบว่า การใช้คลื่นอัลตร้าโซนิกที่ความถี่ต่ำ 24kHz จะเพิ่มประสิทธิภาพของการสกัดร่วมกับด้วยทำละลายที่มีต่อคุณภาพน้ำมันและสารประกอบฟินอลจากเมล็ดสนูด้าและเมล็ดมะเดื่อ ผลที่ได้อ้างเนื่องจากการเกิดแคปวิเตชันซึ่งเป็นผลกระทบที่เกิดจากฟองอากาศโดยการใช้คลื่นอัลตร้าโซนิกที่ความเข้มสูง ซึ่งเกิดจากแอมพลิจูดที่มีขนาดใหญ่ของคลื่น อัลตร้าโซนิกส่งผ่านไปยังด้วยคลื่น จึงทำให้เกิดการบีบอัดของฟองอากาศส่งผลทำให้ไม่เกิดของด้วยทำละลายมีการเปลี่ยนแปลงความหนาแน่นและความยืดหยุ่น จึงนำไปสู่การถ่ายเทนวัลสารที่เพิ่มขึ้น ในระหว่างขั้นตอนการสกัดน้ำมัน เช่นเดียวกับงานวิจัยของ Swamy and Narayana (2001) ได้กล่าวถึงการใช้คลื่นอัลตร้าโซนิกที่ความถี่ต่ำมีผลต่อประสิทธิภาพในการสกัดดีกว่าการใช้คลื่นความถี่สูง เนื่องจากแรงของคลื่นความถี่ต่ำเกิดจากความสูงของแอมพลิจูด ซึ่งเป็นผลทำให้คลื่น

ความถี่ต่ำมีกำลังจากแรงเรื่องมากกว่า และคลื่นความถี่ต่ำยังมีผลทำให้เกิดฟองอากาศที่มีขนาดใหญ่ของตัวกลางซึ่งส่งผลต่อการกัดเซาะพื้นผิวของวัสดุได้ดี

นอกจากนี้ยังมีการศึกษาการใช้คลื่นความถี่ต่ำ 25 kHz ในการสกัดสาร mangiferin ที่มีฤทธิ์ในการเป็นสารต้านออกซิเดชันจากในมะม่วง พบว่า การใช้คลื่นความถี่ต่ำให้ผลต่อการสกัดสาร mangiferin ในปริมาณที่สูงขึ้น จากการทดลองการใช้คลื่นความถี่ต่ำส่งผลต่อการสกัดดีกว่าการใช้คลื่นความถี่สูงอาจเป็นผลจากการเกิดแคนปิวิเตชันที่ลดลงเมื่อความถี่คลื่นสูงขึ้น เนื่องจากเมื่อความถี่สูงขึ้นทำให้เกิดฟองอากาศที่มีขนาดเล็กและมีกำลังน้อย จึงส่งผลทำให้การสกัดสารที่ได้มีปริมาณน้อยลง (Kulkarni and Rathod, 2014)

ปัจจุบันการนำคลื่นอัลตร้าโซนิกมาประยุกต์ใช้ในการสกัดร่วมกับตัวทำละลาย เป็นที่ทราบกันดีว่าคลื่นอัลตร้าโซนิกจะทำให้เกิดปรากฏการณ์แคนปิวิเตชันในตัวอย่างที่เป็นพิช Chen et al. (2007) ซึ่งการเกิดปรากฏการณ์แคนปิวิเตชัน (cavitation) เป็นกระบวนการที่ทำให้เกิดฟองอากาศในตัวกลาง หรือตัวทำละลายที่ได้รับคลื่นเสียงอัลตร้าโซนิก โดยจะทำให้เกิดการย่อยสลายจากความรุนแรงของฟองอากาศที่มีขนาดเล็กในของเหลวเนื่องจากความผันผวนของความดันที่เกิดขึ้นจากแรงสั่นสะเทือนของคลื่นอัลตร้าโซนิก นอกจากนี้ชนิดของตัวทำละลายที่ใช้ในการสกัดมีบทบาทสำคัญในการสกัดสารต้านอนุมูลอิสระ สารประกอบพอลิฟินอลจากตัวอย่าง

จากการทดลองที่ได้ศึกษาคลื่นความถี่ที่เหมาะสมต่อการสกัด พบว่า ผลการสกัดด้วยคลื่นความถี่ต่ำ 28kHz ร่วมกับการใช้ตัวทำละลายเอทานอลที่ความเข้มข้น 95% โดยภาพรวมมีผลต่อคุณภาพสารสกัดจากกล้ามข้าวพันธุ์สุโขทัย 1 แต่อย่างไรก็ตาม การเลือกใช้ตัวทำละลายขึ้นกับวัตถุประสงค์ในการใช้งานด้วย เช่น อาจใช้น้ำเป็นตัวสกัดได้เช่นกันหากไม่ต้องการให้ผลิตภัณฑ์ดังกล่าวมีการปนเปื้อนสารเคมี รวมทั้งต้นทุนในการผลิตและผลกระทบต่อสิ่งแวดล้อมของตัวทำละลายแต่ละชนิดที่ใช้ Tabaraki and Nateghi (2011) ทั้งนี้การใช้เอทานอลเป็นตัวทำละลายจะเกิดความเสียหายต่อสภาพแวดล้อมและสุขภาพได้ Oliveira et al. (2013) ผลกระทบดังกล่าวจึงเป็นสาเหตุให้การศึกษาขั้นตอนต่อไปเลือกที่จะนำคลื่นอัลตร้าโซนิกความถี่ต่ำ 28kHz และตัวทำละลายน้ำไปศึกษาในขั้นตอนต่อไป

การศึกษาสภาวะที่เหมาะสมในการสกัดกล้าข้าวพันธุ์สูงทัย 1 ด้วยคลื่นอัลตร้าโซนิก

จากการศึกษาเบื้องต้น ได้นำปัจจัยที่เกี่ยวข้องกับการสกัดด้วยการใช้คลื่นอัลตร้าโซนิกความถี่ต่า 28kHz และตัวทำละลายนำมาใช้ในการศึกษาสภาวะที่เหมาะสมในการสกัดกล้าข้าวพันธุ์สูงทัย 1 โดยใช้วิธีพื้นผิวตอบสนอง (Response Surface Methodology, RSM) เพื่อศึกษาผลของปัจจัย 2 ปัจจัยที่เหมาะสมที่สุดในการสกัด คือ อุณหภูมิ และเวลาที่ใช้ในการสกัด โดยกำหนดปัจจัย A แทนช่วงระดับอุณหภูมิ 30-98 องศาเซลเซียส และกำหนดปัจจัย B แทนช่วงระดับเวลา 10-120 นาที (ตาราง 13) จากนั้นนำสารสกัดมาวิเคราะห์ค่าสี สมบัติการต้านออกซิเดชัน ปริมาณสารประกอบพอลิฟินอล และปริมาณคลอโรฟิลล์ และวิเคราะห์หาความสัมพันธ์ในรูปสมการ

จากการวัดค่าสีของสารสกัด พบร่วมกับ ระดับของอุณหภูมิและระยะเวลาที่ใช้ในการสกัดมีผลต่อค่าความสว่างของสี (L^*) ค่าความเป็นแดง (a^*) และค่าความเป็นสีเหลือง (b^*) ของสารสกัด โดยอุณหภูมิและระยะเวลาในการสกัดที่เพิ่มขึ้นส่งผลให้ค่าความสว่างของสารสกัดลดลง แต่ส่งผลต่อค่าความเป็นสีแดงและค่าความเป็นสีเหลืองเพิ่มขึ้น (ภาพ 18-20) แสดงให้เห็นว่าการให้อุณหภูมิที่เพิ่มสูงขึ้นส่งผลต่อการลดลงของค่าความสว่างของสารสกัด ซึ่งสอดคล้องกับการศึกษาของ Rattanathanalerk et al. (2005) ที่พบว่าการให้ความร้อนที่สูงขึ้น (55-95 องศาเซลเซียส) ส่งผลต่อค่าความสว่างของสีที่ลดลง และค่าความเป็นสีแดงที่เพิ่มขึ้นของน้ำสับปะรด เนื่องจาก การเกิดปฏิกิริยาสีน้ำตาลที่ไม่อาศัยเอนไซม์ (non-enzymatic browning) ซึ่งปฏิกิริยาดังกล่าวเกิดจากการทำปฏิกิริยาระหว่างกรดอะมิโนและน้ำตาลในอาหารที่ผ่านกระบวนการให้ความร้อนสูง เช่นเดียวกับงานวิจัยของ Garza et al. (1999) ที่ได้ศึกษาผลของความร้อนต่อการเปลี่ยนแปลงสีในน้ำส้มสายชู พบร่วมกับการให้อุณหภูมิที่เพิ่มสูงขึ้นส่งผลต่อการลดลงของค่าความสว่างของสีในน้ำส้มสายชู และจากการศึกษาผลของระยะเวลาในการสกัดโดยใช้คลื่นอัลตร้าโซนิกต่อค่าสีในน้ำผลไม้เบอร์รี่ พบว่าเมื่อเพิ่มระยะเวลาในการสกัดมีผลต่อค่าความสว่างของสีน้ำผลไม้เบอร์รี่ลดลง แต่ส่งผลทำให้ค่าความเป็นสีแดงและค่าความเป็นสีเหลืองของน้ำผลไม้เบอร์รี่มีค่าเพิ่มขึ้น (Tiwari et al., 2009)

ตาราง 13 สมการแสดงความสัมพันธ์ของอุณหภูมิและเวลาที่ใช้ในการสกัด

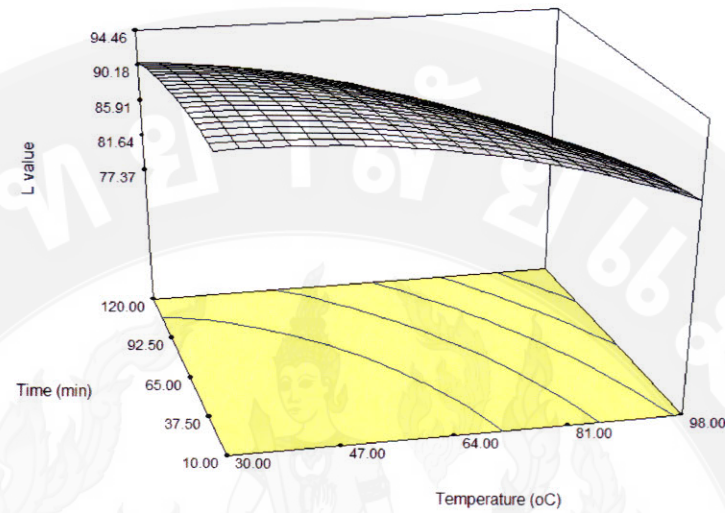
ค่าทดสอบ	สมการ	Adj.R ²
L * value	= 91.48 + (0.16 * A) + (0.02 * B) - (2.23 * A ²) - (3.56 * B ²) - (5.82 * A*B)	0.6812
a * value	= 11.44 - (0.77 * A) - (0.06 * B) + (1.40 * A ²) + (2.39 * B ²) + (5.92 * A*B)	0.7676
b * value	= 17.31 - (0.15 * A) + (0.14 * B) + (3.95 * A ²) - (3.03 * B ²) + (1.08 * A*B)	0.9137
สมบัติการต้านออกซิเดชัน วิธีวิเคราะห์ ABTS ⁺	= 8.32 - (0.04 * A) + (0.05 * B) + (1.71 * A ²) + (4.62 * B ²) - (6.39 * A*B)	0.5244
(มิลลิกรัมสมมูลไตรโลกซ์)	= 2.01 + (0.08 * A) + (0.01 * B)	0.4513
สมบัติการต้านออกซิเดชัน วิธีวิเคราะห์ FRAP		
(มิลลิกรัมสมมูลเฟอร์รัสซัลเฟต)	= 0.04 + (0.03 * A) + (0.03 * B) + (3.49 * A ²) - (5.06 * B ²) - (3.20 * A*B)	0.7154
ปริมาณสารประกอบพอลิฟินอล		
(มิลลิกรัมสมมูลกรดแแกลลิก)	= 2.76 - (0.10 * A) - (1.10 * B) + (1.00 * A ²) - (7.74 * B ²) + (1.19 * A*B)	0.8904
ปริมาณคลอโรฟิลล์		
(มิลลิกรัม)		

ตาราง 14 ผลการทดลองจากการออกแบบโดยใช้วิธีพื้นผิวตอบสนอง

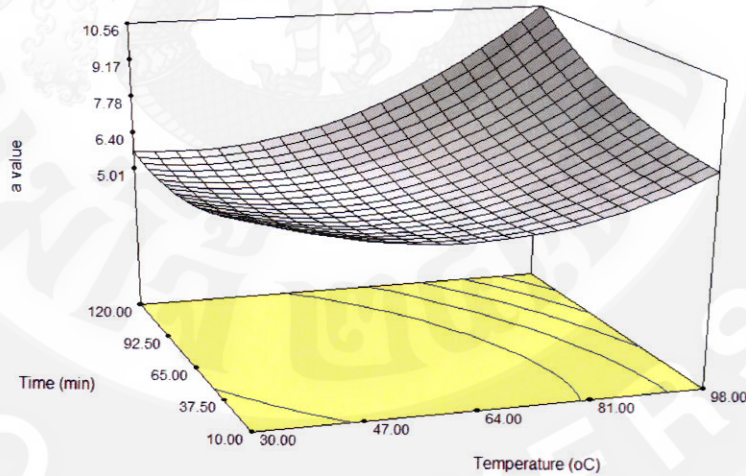
Test	Temperature (°C)	Time (min)	L* value	a* value	b* value
1	81.00	37.50	89.89	5.82	41.75
2	81.00	92.50	91.63	5.41	44.14
3	64.00	10.00	91.08	5.65	26.46
4	64.00	37.50	91.85	5.78	25.84
5	98.00	120.00	75.55	10.75	64.44
6	64.00	65.00	86.89	4.92	39.94
7	81.00	65.00	89.53	5.90	41.64
8	30.00	65.00	93.46	5.13	28.64
9	98.00	10.00	85.74	7.00	41.81
10	47.00	65.00	89.20	5.28	30.86
11	64.00	120.00	85.09	6.91	50.19
12	47.00	37.50	95.11	5.94	24.11
13	98.00	65.00	80.19	9.44	58.00
14	47.00	92.50	91.49	5.43	33.05
15	30.00	10.00	95.65	6.62	18.01
16	30.00	120.00	91.43	5.69	30.38
17	64.00	92.50	89.62	5.78	39.96

ตาราง 14 ผลการทดลองจากการออกแบบโดยใช้วิธีพื้นผืนตอบสนอง (ต่อ)

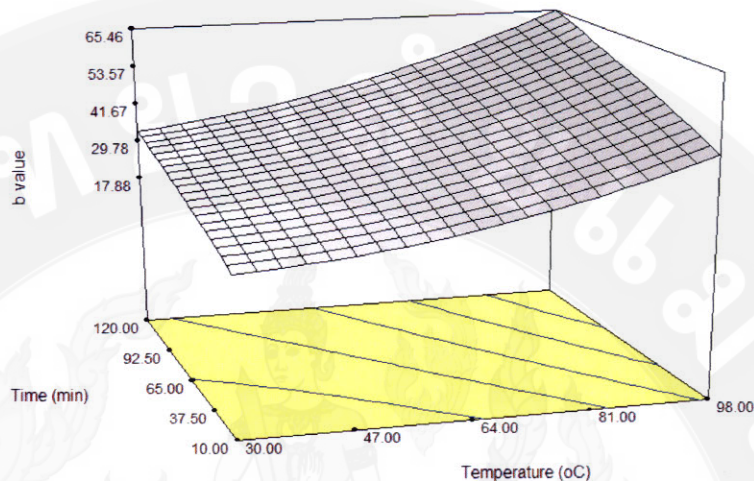
Test	Temperature (°C)	Time (min)	ABTS ⁺	FRAP	TPC	Chlorophyll
			TEAC/1g DM)	FeSO ₄ /1g DM)	GAE/1g DM)	(mg/g)
1	81.00	37.50	22.03	2.90	7.48	1.98
2	81.00	92.50	14.31	7.69	4.62	1.42
3	64.00	10.00	13.05	10.11	4.96	0.91
4	64.00	37.50	8.22	6.73	3.33	0.46
5	98.00	120.00	20.62	12.21	7.67	3.91
6	64.00	65.00	16.31	10.16	5.18	0.86
7	81.00	65.00	14.69	11.60	6.31	1.36
8	30.00	65.00	10.59	6.01	3.29	0.81
9	98.00	10.00	19.57	13.66	7.24	2.19
10	47.00	65.00	14.25	9.71	5.20	0.67
11	64.00	120.00	16.18	8.71	5.45	0.92
12	47.00	37.50	8.71	5.50	3.12	0.35
13	98.00	65.00	21.32	12.49	7.55	3.36
14	47.00	92.50	13.24	8.18	4.72	0.46
15	30.00	10.00	10.34	3.19	2.06	0.38
16	30.00	120.00	13.41	5.88	3.92	0.98
17	64.00	92.50	15.75	9.39	5.16	0.84



ภาพ 18 อิทธิพลของอุณหภูมิและเวลาในการสกัดที่มีต่อค่าความสว่าง (L^*)

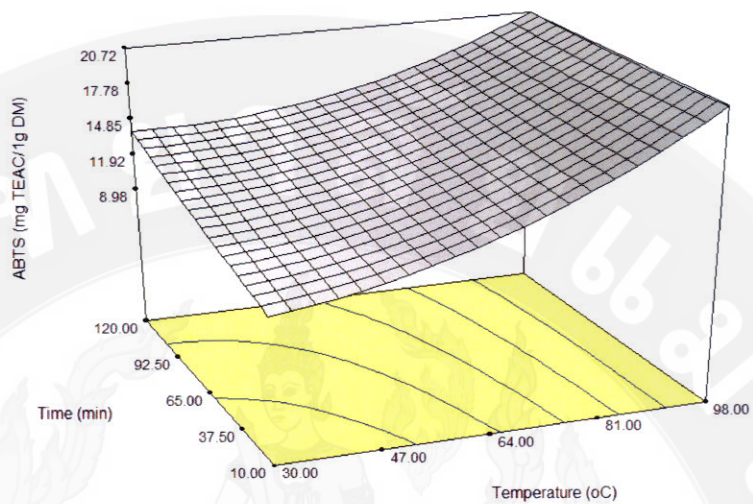


ภาพ 19 อิทธิพลของอุณหภูมิและเวลาในการสกัดที่มีต่อค่าความเป็นสีเขียว-แดง (a^*)

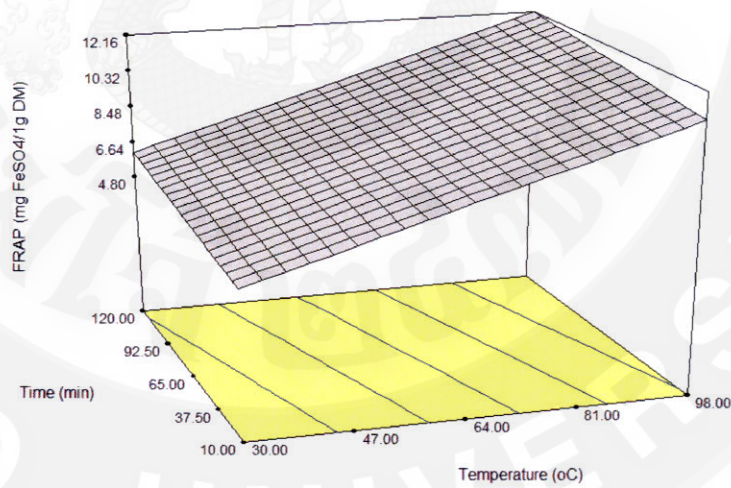


ภาพ 20 อิทธิพลของอุณหภูมิและเวลาในการสกัดที่มีต่อค่าความเป็นสีน้ำเงิน-เหลือง (b^*)

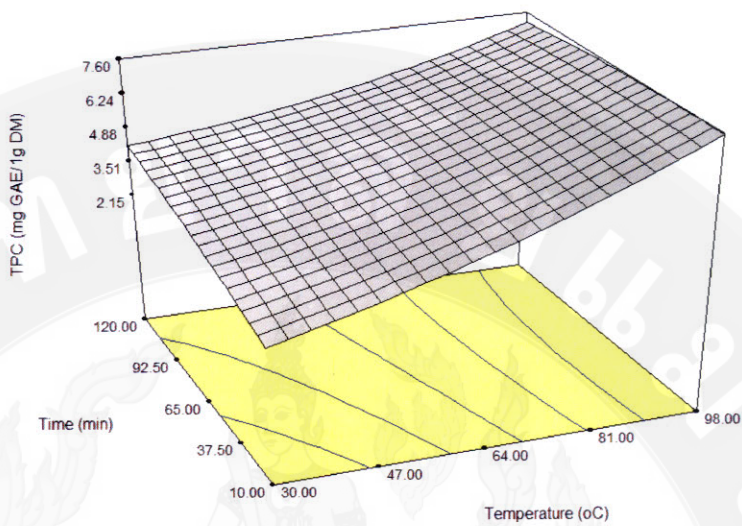
จากการศึกษาผลของอุณหภูมิและเวลาในการสกัดต่อสมบัติการต้านออกซิเดชัน ปริมาณสารประกอบพอลิฟินอล และปริมาณคลอโรฟิลล์ พบร่วมกับเมื่ออุณหภูมิและระยะเวลาที่ใช้ในการสกัดกล้าข้าวเพิ่มขึ้นจะส่งผลต่อการเพิ่มขึ้นของสมบัติการต้านออกซิเดชัน ปริมาณสารประกอบพอลิฟินอล และปริมาณคลอโรฟิลล์สูงขึ้น (ภาพ 21-24) โดยพบว่า อุณหภูมิที่ 98 องศาเซลเซียส และเวลาที่ 120 นาที เป็นค่าที่ดีที่สุดที่มีผลต่อค่าสมบัติการต้านออกซิเดชันด้วยวิธี ABTS⁺ มีค่าเท่ากับ 20.62 มิลลิกรัมสมมูล โทรลอกซ์ต่อ 1 กรัมตัวอย่างแห้ง และค่าสมบัติการต้านออกซิเดชันด้วยวิธี FRAP มีค่าเท่ากับ 12.21 มิลลิกรัมสมมูลเฟอร์รัสซัลเฟตต่อ 1 กรัมตัวอย่างแห้ง ปริมาณสารประกอบพอลิฟินอลมีค่าเท่ากับ 7.67 มิลลิกรัมสมมูลกรดเกลลิก 1 กรัมตัวอย่างแห้ง และปริมาณคลอโรฟิลล์มีค่าเท่ากับ 3.91 มิลลิกรัมต่อ 1 กรัมตัวอย่างแห้ง ซึ่งสอดคล้องกับการศึกษาของ Su et al. (2007) พบร่วมกับอุณหภูมิของน้ำและระยะเวลาที่ใช้ในการสกัดชาอู่หลง (Oolong tea) ที่เพิ่มขึ้นมีผลทำให้สมบัติการต้านออกซิเดชันและสารประกอบพอลิฟินอลเพิ่มขึ้น ในระหว่างกระบวนการสกัดที่ใช้ความร้อนสูงในการสกัดนั้น ความร้อนจากกระบวนการสกัดจะส่งผลทำให้ผนังเซลล์พีชแตกถลวย องค์ประกอบของสารต้านอนุมูลอิสระและสารประกอบพอลิฟินอลที่ละลายน้ำได้ในเซลล์พีชเกิดการถลวยตัว (Randhir et al., 2008; Scalzo et al., 2004) ส่งผลให้สมบัติการต้านออกซิเดชันและปริมาณสารประกอบพอลิฟินอลที่สกัดออกมากขึ้น



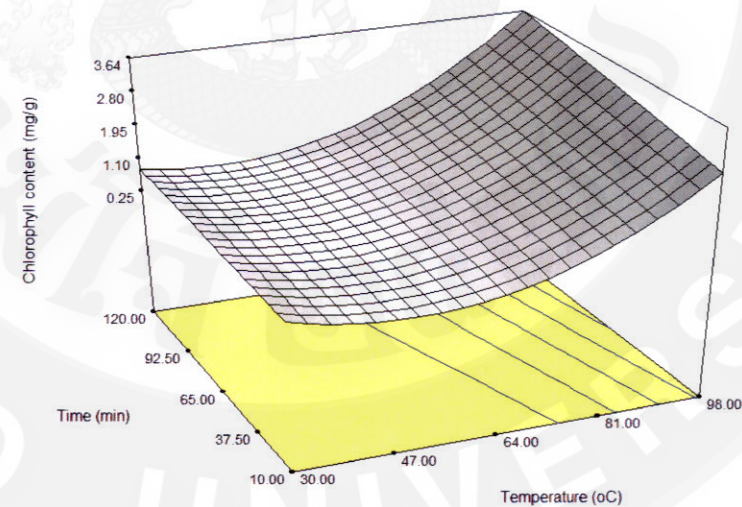
ภาพ 21 อิทธิพลของอุณหภูมิและเวลาในการสกัดที่มีต่อสมบัติการต้านออกซิเดชันด้วยวิธี ABTS⁺



ภาพ 22 อิทธิพลของอุณหภูมิและเวลาในการสกัดที่มีต่อสมบัติการต้านออกซิเดชันด้วยวิธี FRAP



ภาพ 23 อิทธิพลของอุณหภูมิและเวลาในการสกัดที่มีต่อปริมาณสารประกอบพอลีฟินอล



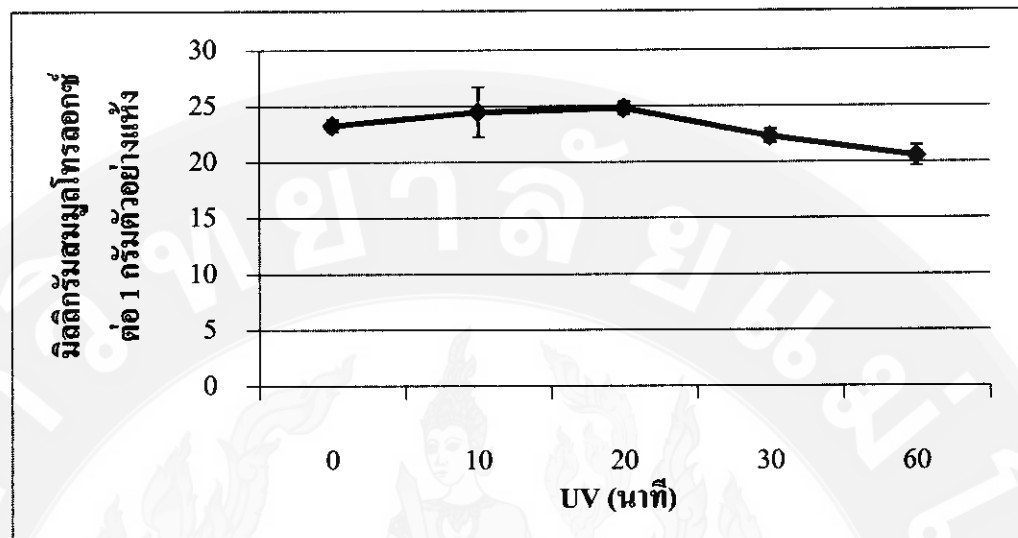
ภาพ 24 อิทธิพลของอุณหภูมิและเวลาในการสกัดที่มีต่อปริมาณคลอโรฟิลล์

จากการศึกษาผลของอุณหภูมน้ำร้อนต่อการสกัดสารที่มีสมบัติการด้านออกซิเดชันและสารประกอบพอลิฟินอลในพืช *Enicostemma littorale* พบว่าการใช้น้ำที่อุณหภูมน้ำเดือดสามารถสกัดสารประกอบพอลิฟินอลได้มากกว่าการใช้น้ำที่อุณหภูมิต่ำกว่า (Sithishkumar et al., 2009) เช่นเดียวกับการศึกษาของ Labbe et al. (2006) พบว่าอุณหภูมิและระยะเวลาในการชงชาเขียวที่เพิ่มขึ้น ส่งผลต่อการละลายที่เพิ่มขึ้นของสารคาเทชินและ caffeine ซึ่งสอดคล้องกับงานวิจัยของ Liebert et al. (1999) พบว่าสภาวะที่เหมาะสมในการสกัดชาเขียวและชาดำขึ้นอยู่กับระยะเวลาที่ใช้ในการสกัดที่เพิ่มขึ้น จะส่งผลต่อการเพิ่มขึ้นของค่าสมบัติการด้านออกซิเดชันและปริมาณสารประกอบพอลิฟินอลในน้ำชา นอกจากนี้ยังพบว่าอิทธิพลของความร้อนที่อุณหภูมิ 121 องศาเซลเซียส และระยะเวลา 15-30 นาที ที่ใช้ในการสกัดเห็ดหอมสด ส่งผลทำให้ตัวอย่างมีสมบัติการด้านออกซิเดชันและสารประกอบพอลิฟินอลที่เพิ่มขึ้น (Choi et al., 2006) ทั้งนี้อาจเนื่องมาจากความร้อนที่เกิดจากอุณหภูมิที่สูงขึ้นในระหว่างกระบวนการสกัดช่วยทำให้เนื้อเยื่อพืชย่อนตัวลงสารต่าง ๆ ที่อยู่ภายในเซลล์ซึ่งสามารถหลุดออกมายังข้าง外 และส่งผลทำให้เกิดการเปลี่ยนแปลงโครงสร้างไม่เลกุลของสารประกอบพอลิฟินอลที่อาจมีการสลายตัวเป็นไมเลกุลขนาดเล็กลง (Scalzo et al., 2004; Dewanto et al., 2002) ในการศึกษาของ Salleh-Mack and Roberts (2007) พบว่าการนำคลื่นอัลตร้าโซนิกมาใช้ในกระบวนการพาสเจอร์ไรซ์น้ำผลไม้มีผลทำให้เกิดความร้อนในระหว่างกระบวนการสกัดและยังพบว่าความร้อนที่เกิดขึ้นสามารถยับยั้งการเจริญเติบโตของเชื้อ *E. coli* (ATCC 25922) เมื่อระยะเวลาในการสกัดที่เพิ่มขึ้น เช่นเดียวกับการศึกษาการใช้คลื่นอัลตร้าโซนิกที่ความถี่ต่ำ 25 kHz มาปรับปรุงคุณภาพของน้ำส้ม พบว่าเมื่อเพิ่มระยะเวลาในการสกัดที่ 60 นาที ส่งผลทำให้สารด้านอนุมูลอิสระในน้ำส้มมีค่าสูงกว่าการใช้เวลาสกัดที่ 30 นาที อีกทั้งยังสามารถลดปริมาณจำนวนของเชื้อจุลินทรีย์รวมทั้งยีสต์และราไได้ (Bhat et al., 2011) และจากการศึกษาผลของระยะเวลาและอุณหภูมิในการสกัดอยุ่น พบว่าการใช้อุณหภูมิที่สูง 60 องศาเซลเซียสให้ผลต่อสมบัติการด้านออกซิเดชันและปริมาณสารประกอบฟินอลสูงกว่าการใช้อุณหภูมิ 45 องศาเซลเซียส และระยะเวลาที่ใช้ในการสกัดพบว่าการใช้ระยะเวลาที่นานขึ้น 20 ชั่วโมง ส่งผลต่อสมบัติการด้านออกซิเดชันและปริมาณสารประกอบฟินอลที่เพิ่มสูงขึ้น (Spigno et al., 2007)

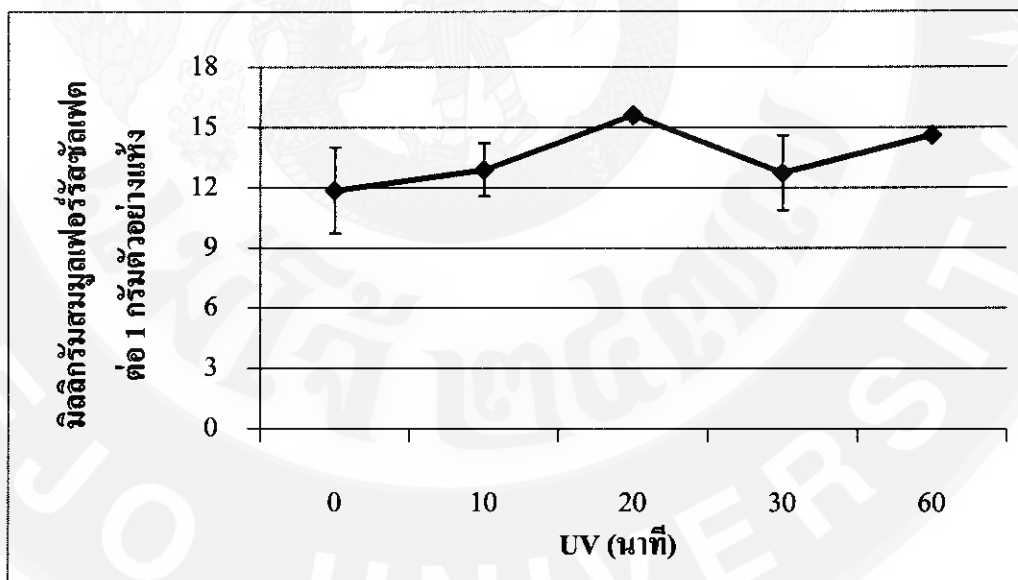
การศึกษาผลของการให้รังสีอัลตร้าไวโอลেตต่อคุณภาพ ของสารสกัดจากกล้าข้าวพันธุ์สูงทัย 1

ตัวอย่างกล้าข้าวพันธุ์สูงทัย 1 ที่ผ่านการล้างและลดขนาดลงให้มีขนาดประมาณ 0.5-1 เซนติเมตร โดยใช้กล้าข้าวสด 40 กรัม ถูกนำมาเกลี่ยใส่ถาดให้มีความหนาประมาณ 0.5 เซนติเมตร แล้ววางในตู้ UV-C จากนั้นให้คลื่น UV-C (ความยาวคลื่น 254 นาโนเมตร) เป็นเวลา 0, 10, 20, 30, 60 นาที ตามลำดับ ก่อนนำมาสกัดในสภาวะที่เหมาะสมที่ได้จากการศึกษาเบื้องต้น โดยการใช้คลื่นอัลตร้าโซนิกความถี่ 28 kHz ที่อุณหภูมิ 98 องศาเซลเซียส เป็นเวลา 120 นาที จากนั้นนำมาวิเคราะห์สมบัติทางชีวเคมีของสารสกัดจากกล้าข้าวพันธุ์สูงทัย 1

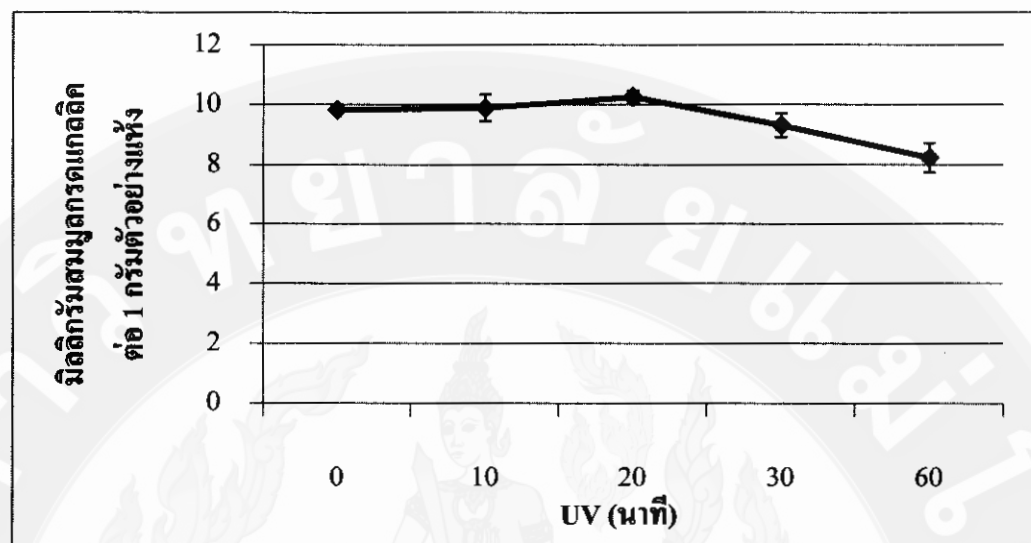
จากการวิเคราะห์สมบัติทางชีวเคมีของสารสกัด พบว่า สมบัติการต้านออกซิเดชัน ปริมาณสารประกอบพอลีฟินอล และปริมาณคลอโรฟิลล์มีค่าแนวโน้มที่ลดลงเมื่อเพิ่มระยะเวลาในการให้รังสีอัลตร้าไวโอลেต ($p<0.05$) แสดงให้เห็นว่าการให้รังสีอัลตร้าไวโอลেตแก่ตัวอย่างใบอ่อน ข้าวพันธุ์สูงทัย 1 ส่งผลต่อการลดลงของสมบัติทางชีวเคมีดังกล่าว ลดคลื่นกับการศึกษาของ Wang et al. (2009) พบว่าการให้รังสีอัลตร้าไวโอลেต (UV-C) ในระยะเวลาที่นานมากขึ้นส่งผลต่อปริมาณฟลาโวนอยด์ ปริมาณฟินอล แอนโทไซยานิน และสารต้านอนุมูลอิสระ ที่มีค่าลดลงในผลบุบเบอร์รี่ เช่นเดียวกับการรายงานของ Baka et al. (1999) ได้รายงานผลของการให้รังสีอัลตร้าไวโอลেต (UV-C) ต่อผลสตอเบอร์รี่สด ซึ่งพบว่าเมื่อให้รังสีอัลตร้าไวโอลেตที่ความเข้มสูงขึ้น มีผลให้ผนังเซลล์พิษเกิดความเครียดมากเกินไปและอาจส่งผลทำให้ผนังเซลล์เกิดความเสียหายได้ มีการรายงานพบว่าการให้รังสี UV-C ร่วมกับการใช้คลื่นอัลตร้าโซนิกความถี่ต่ำจะสามารถช่วยให้สารต้านอนุมูลอิสระมีปริมาณที่สูงขึ้น (Sales and Resurreccion, 2010) อย่างไรก็ตามการให้รังสี UV-C อาจก่อให้เกิดทั้งผลดีและผลเสีย เช่น ทำลายโครงสร้างของวิตามิน โปรตีน หรือสารต้านอนุมูลอิสระ สีของอาหารเปลี่ยนแปลงไป ซึ่งการเปลี่ยนแปลงดังกล่าวอาจขึ้นอยู่กับปฏิกิริยาการคุ้มครองแสง (photochemical reaction) ของสารที่เป็นองค์ประกอบภายในอาหารแต่ละชนิด (Falguera et al., 2011) จากการศึกษาของ Artes-Hernandez et al. (2010) พบว่าการให้รังสี UV-C ในแตงโมตัดแต่งส่วนที่ไม่ผลทำให้ปริมาณไอลโคปีนและวิตามินซีมีแนวโน้มที่ลดลงตลอดอายุการเก็บรักษา แต่สามารถช่วยลดปริมาณจำนวนเชื้อจุลินทรีย์ลงได้



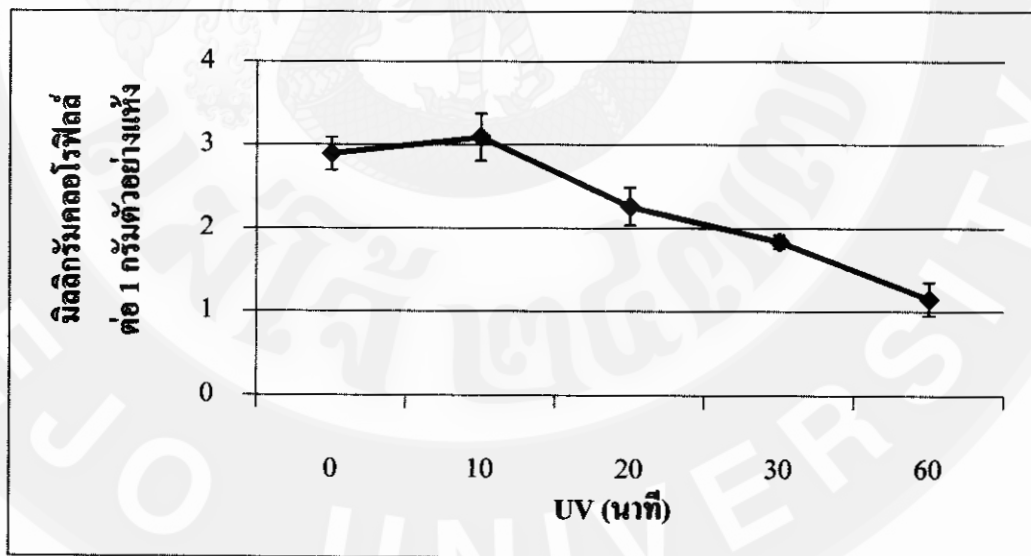
ภาพ 25 สมบัติการต้านออกซิเดชันวิเคราะห์ด้วยวิธี ABTS⁺ ของสารสกัดจากกล้ามข้าวพันธุ์สูโพทัย 1



ภาพ 26 สมบัติการต้านออกซิเดชันวิเคราะห์ด้วยวิธี FRAP ของสารสกัดจากกล้ามข้าวพันธุ์สูโพทัย 1



ภาพ 27 ปริมาณสารปะกอนพอลิฟินอลของสารสกัดจากกล้าข้าวพันธุ์สูงทัย 1



ภาพ 28 ปริมาณคลอโรฟิลล์ของสารสกัดจากกล้าข้าวพันธุ์สูงทัย 1

การให้รังสีในอาหารจะทำให้อาหารเกิดการเปลี่ยนแปลงได้หลายลักษณะ เช่น ทำให้โมเลกุลที่มีขนาดยาวของเซลลูโลสแตกตัวเป็นคริโนไซเดอร์ที่มีโมเลกุลเล็กลง ซึ่งเซลลูโลส เป็นองค์ประกอบของผนังเซลล์ในพืช ดังนั้นผักหรือผลไม้บางชนิดจึงเกิดการอ่อนนิ่มหรือเกิดการสูญเสียคุณภาพของเนื้อสัมผัส รวมทั้งทำให้สีของผักและผลไม้เปลี่ยนแปลงไปจากการผ่านรังสี เช่นเดียวกับการศึกษาผลของรังสี UV-C ต่อกิจกรรมการด้านอนุมูลอิสระในคนน้ำ พนว่าสามารถลดลงของปริมาณวิตามินซีและการโรทินอยด์ (ขั้รรัตน์ และวาริช, 2552) อย่างไรก็ตามการให้รังสี UV-C อาจมีผลทำให้เกิดการสูญเสียน้ำ ซึ่งการสูญเสียน้ำของผลิตผลสามารถกระตุ้นการทำงานของเอนไซม์ ascorbic acid oxidase, polyphenol oxidase และ peroxidase ส่งผลทำให้ปริมาณวิตามินซีลดลงอย่างรวดเร็ว (จริงแท้, 2538) เช่นเดียวกับการรายงานของ Rosenthal (1992) พนว่าการให้รังสีแก่อาหารอาจทำให้เกิดการเปลี่ยนแปลงทางเคมีในอาหารได้ ซึ่งการเปลี่ยนแปลงทางเคมีของอาหารที่เกิดขึ้นนี้เป็นผลจากการแตกตัวเป็นไอออนของน้ำเนื่องมาจากรังสีทำปฏิกิริยาต่อเนื่องกับสารอื่น ๆ ภายในอาหาร ซึ่งในอาหารโดยส่วนใหญ่จะมีปริมาณความชื้นสูงเมื่อได้รับรังสีจะทำให้น้ำแตกตัวเป็นไอออนได้ ทั้งนี้องค์ประกอบทางเคมีที่ซับซ้อนในอาหารก็เป็นปัจจัยสำคัญที่มีผลต่อการเปลี่ยนแปลงทางเคมีที่แตกต่างกันไปหลังการผ่านรังสี

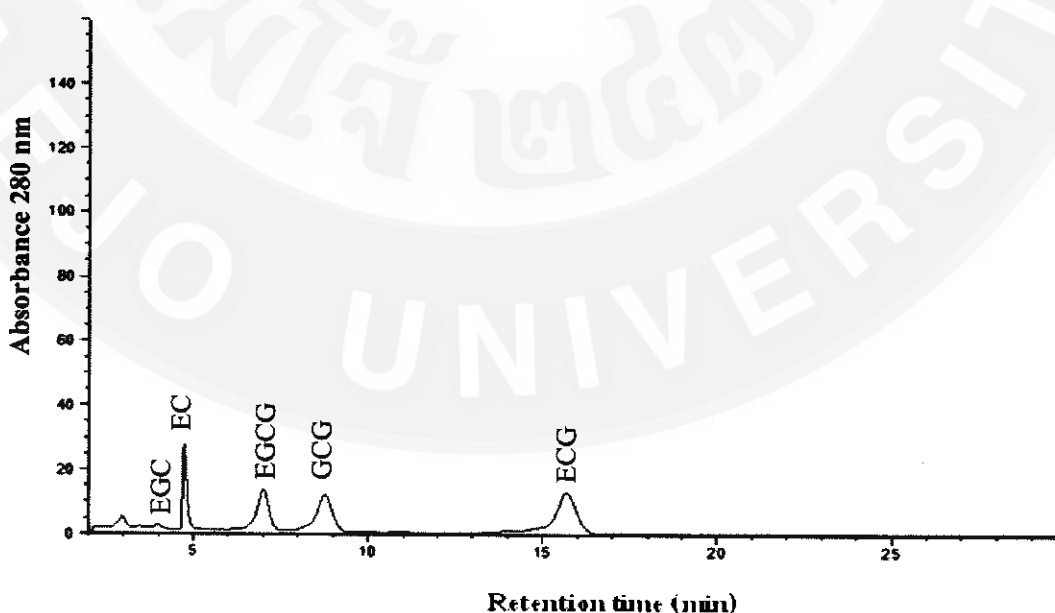
จากผลการศึกษาของ Park et al. (2013) ในการให้รังสี UV-C ต่อใบข้าว (*Oryza sativa L. spp. Japonica cv. Dongjin*) พนว่าการให้รังสี UV-C มีผลต่อปริมาณสารฟลาโวนอยด์และปริมาณสารประกอบฟินอลที่ลดลงเมื่อเพิ่มระยะเวลาการให้รังสีที่นานขึ้น ทั้งนี้อาจเป็นผลจากการตอบสนองและกลไกการทำงานของสารประกอบทางเคมีในใบข้าวที่มีต่อรังสี จากการรายงานของ King and Morris (1994) ได้กล่าวว่าผักและผลไม้หลังจากการเก็บเกี่ยวจะเกิดความเสียหายอย่างรุนแรงหลังเนื่องจากการลดลงของพลังงาน สารอาหาร ยอร์โนนและน้ำ ที่มีอยู่ภายในเซลล์พืชซึ่งจะส่งผลทำให้พืชเกิดการเสื่อมสภาพอย่างรวดเร็ว อีกทั้งการให้รังสี UV-C มีผลต่อการลดลงของค่าสี L*, a* และ b* ในแต่ละตัวตั้งสัด ทั้งนี้เป็นผลเนื่องมาจากการ UV-C หรือระยะเวลาในการเก็บรากยานั้นทำให้เกิดความแตกต่างของค่าสี L*, a* และ b* ผลที่ได้แสดงให้เห็นว่าค่าสี a* และ b* มีความสัมพันธ์โดยตรงกับปริมาณไอลโคปีน และเบต้า-แคโรทีนที่มีในแต่ละตัวตั้งสัด ซึ่งผลที่เกิดขึ้นพบว่าแสง UV โดยเฉพาะอย่างยิ่งแสง UV-C นั้นมีผลหนึ่งทำให้ปริมาณไอลโคปีนและเบต้า-แคโรทีนนั้นลดลง รวมทั้งอาจมีผลต่อปริมาณของสารประกอบบางตัวและสามารถกระตุ้นทำให้เกิดปฏิกิริยาออกซิเดชันที่จะนำไปสู่การเปลี่ยนแปลงของสีทำให้สีซีดจางลงได้ (Fonseca and Rushing, 2006; Jay, 1997)

ในการศึกษาของ Vicente et al. (2005) พบว่าการให้รังสี UV-C ส่งผลให้สารแคร์โนอิค์ในพริกไทยมีปริมาณลดลงเมื่อเปรียบเทียบกับในพริกไทยที่ไม่ผ่านการให้รังสี UV-C และส่งผลต่อค่าความสว่างของพริกไทยที่ลดลง นอกจากนี้ยังมีการศึกษาผลของการให้รังสี UV-C ในมะเขือเทศ พบว่าการให้รังสี UV-C มีผลต่อการเปลี่ยนแปลงความแน่นเนื้อที่ลดลงและเกิดการเสื่อมสภาพของผนังเซลล์จากกิจกรรมของเอนไซม์ที่เกิดจากปฏิกิริยาออกซิเดชันจากการสัมผัสกับรังสี UV-C (Barka et al., 2000)

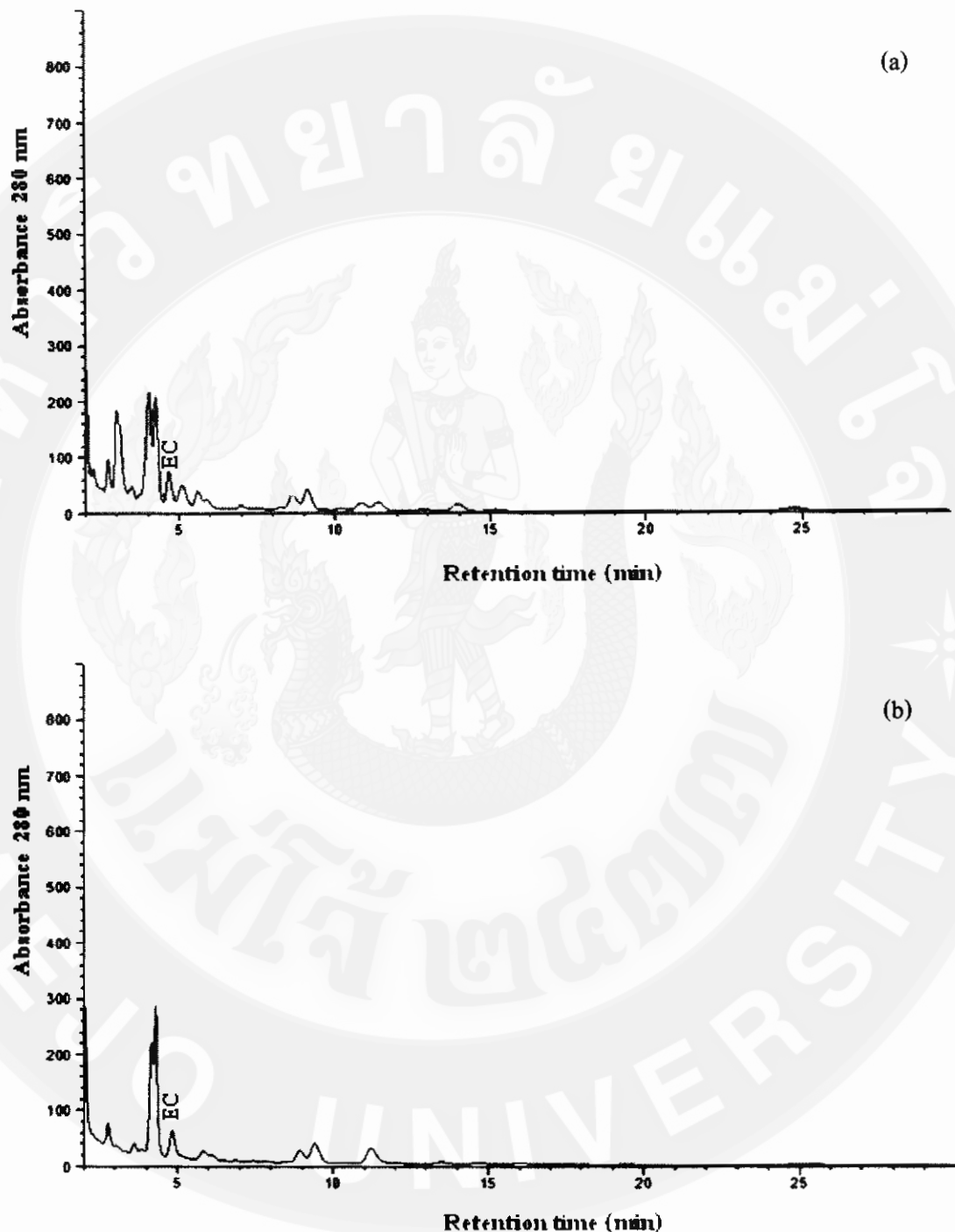
การศึกษาชนิดและปริมาณสารประกอบในกลุ่มพื้นอலของสารสกัดกล้าข้าวพันธุ์สูงทัย 1

ในการตรวจวิเคราะห์สารประกอบในกลุ่มพื้นอลของสารสกัดจากกล้าข้าวพันธุ์สูงทัย 1 ซึ่งได้จากการสกัดด้วยวิธีการเรย์และ การใช้คลื่นอัลตร้าโซนิกความถี่ 3 ระดับ คือ 28kHz, 45kHz และ 100kHz ร่วมกับการใช้ตัวทำละลาย 4 ชนิด คือ น้ำ เอทานอล 50% เอทานอล 70% และเอทานอล 95% โดยควบคุมอุณหภูมิและเวลาในการสกัดที่ 50 องศาเซลเซียส เวลา 60 นาที นั้นได้อาชีวเทคนิคทาง HPLC ใน การศึกษา ซึ่งพบว่ามีสารในกลุ่มของカテชินต่างๆ รวมทั้งสารประกอบอะโรมาติกอื่นๆ ที่ถูกจะด้วยตัวทำละลาย โดยสารカテชินที่สนใจคือ epicatechin (EC) ซึ่งเทียบกับกราฟมาตรฐานโดยมีลำดับเวลา (retention time, RT) ดังนี้ epigallocatechin (EGC) 3.978 นาที, epicatechin (EC) 4.742 นาที, epigallocatechin gallate (EGCG) 7.002 นาที, gallate catechingallate GCG 8.764 นาที และ epicatechin gallate (ECG) 15.683 นาที ที่ความยาวคลื่น 280 nm ดังภาพ 29

จากการวิเคราะห์ความเข้มข้นของสาร EC (epicatechin) ที่มีอยู่ในสารสกัดจากกล้าข้าวจะเป็นสัดส่วนโดยตรงกับความสูงและพื้นที่ได้กราฟของกราฟ ซึ่งพบว่าสารสกัดจากการสกัดด้วยคลื่นอัลตร้าโซนิกที่ความถี่ 100kHz ร่วมกับเอทานอลความเข้มข้น 70% จะมีสาร EC ในปริมาณที่สูงโดยพบในปริมาณ 137.47 มิลลิกรัมต่อตัวอย่างกล้าข้าว 1 กรัม ดังตาราง 15

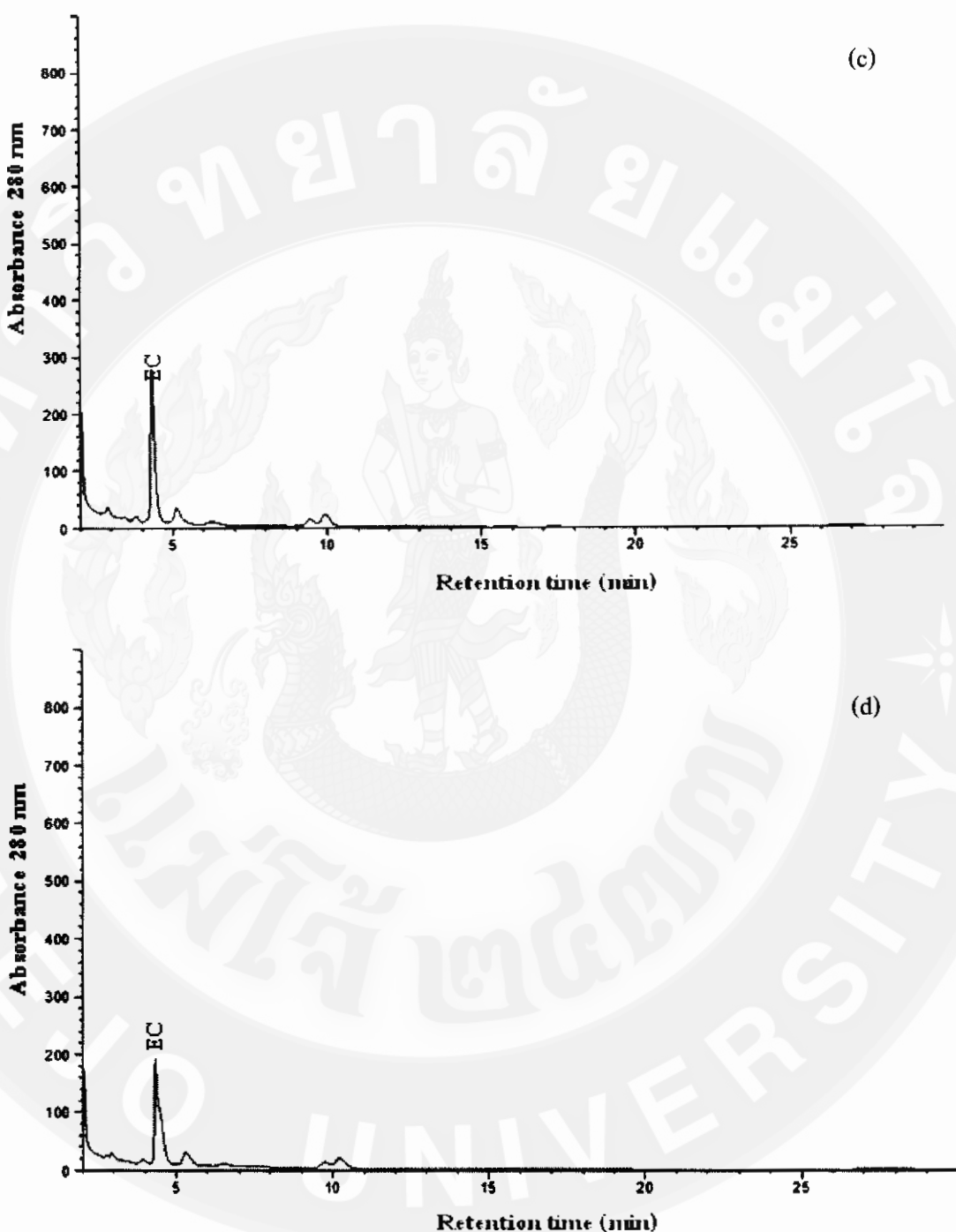


ภาพ 29 โครโนโทรัคเตอร์แสดงปริมาณสารมาตรฐานในกลุ่มสารカテชินต่างๆ



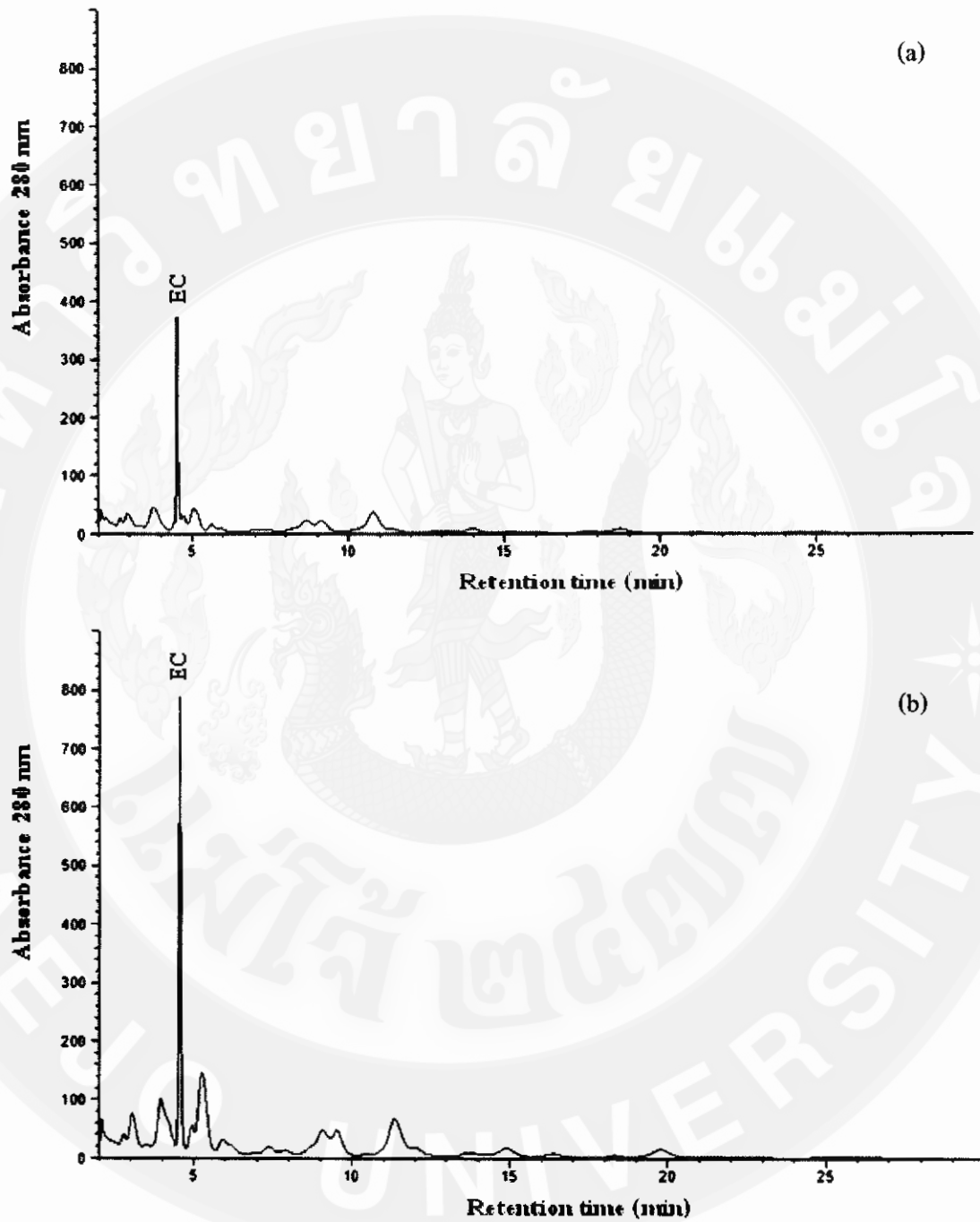
ภาพ 30 โปรแกรมของสารสกัดกล้าข้าวจากการสกัดด้วยน้ำ

(a) สกัดด้วยวิธีเบย่า (b) คลื่นอัลตร้าโซนิกความถี่ 28kHz



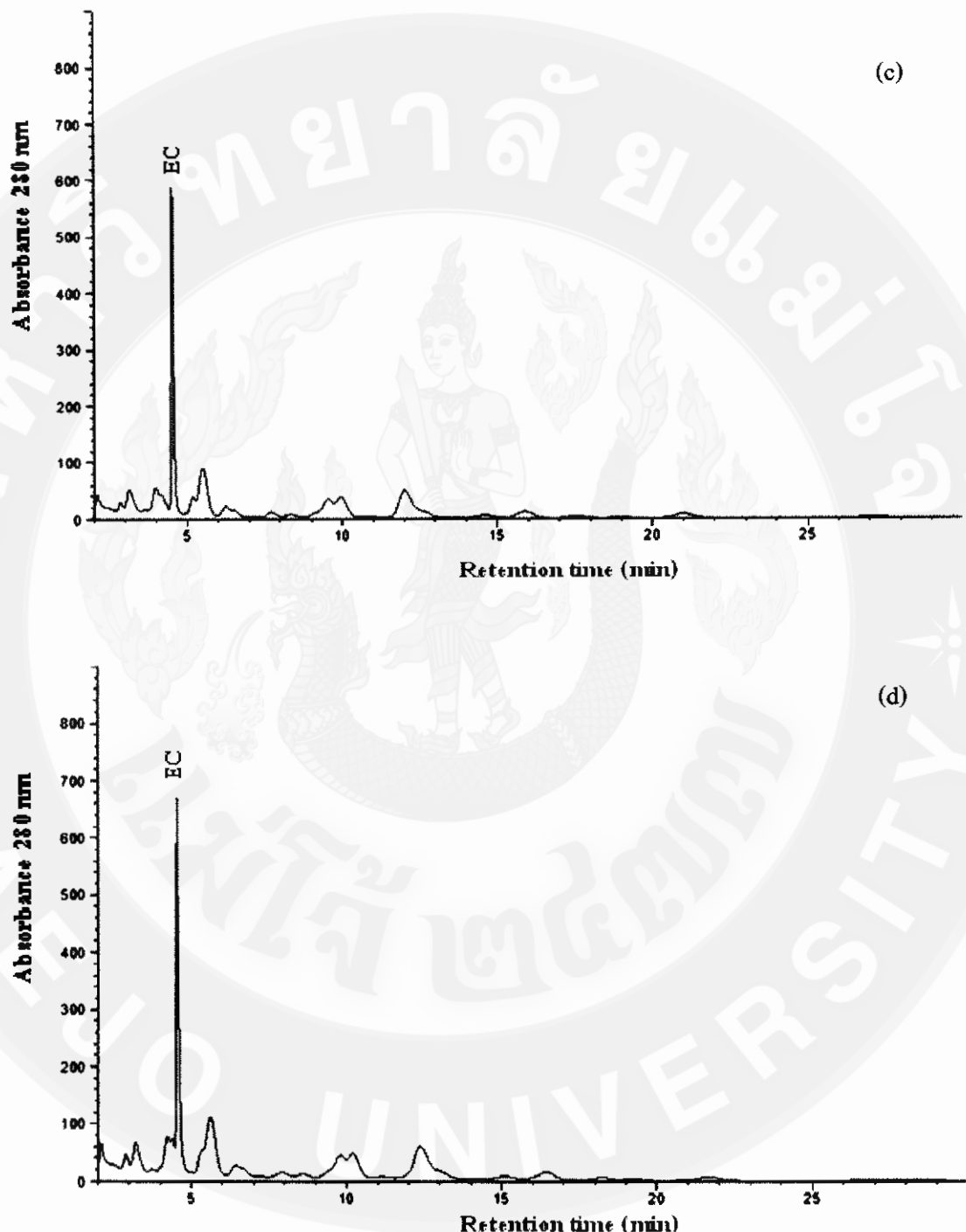
ภาพ 30 โปรแกรมของสารสกัดกล้าข้าวจากการสกัดด้วยน้ำ (ต่อ)

(c) คลื่นอัลตร้าโซนิกความถี่ 45kHz (d) คลื่นอัลตร้าโซนิกความถี่ 100kHz



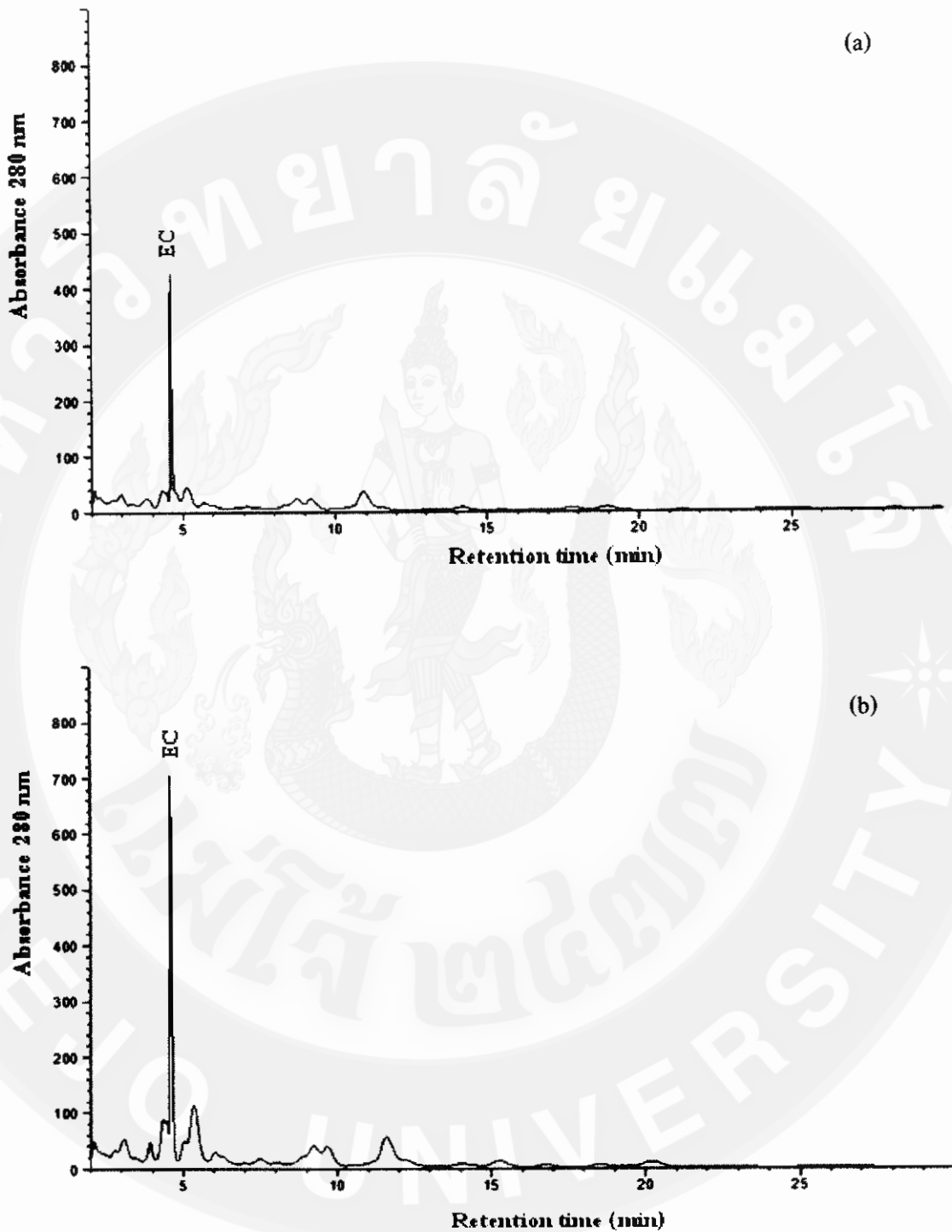
ภาพ 31 โปรแกรมของสารสกัดกล้ามข้าวจากการสกัดด้วยเอทานอล 50%

(a) สกัดด้วยวิธีเขย่า (b) คลื่นอัคติร้าโซนิกความถี่ 28kHz



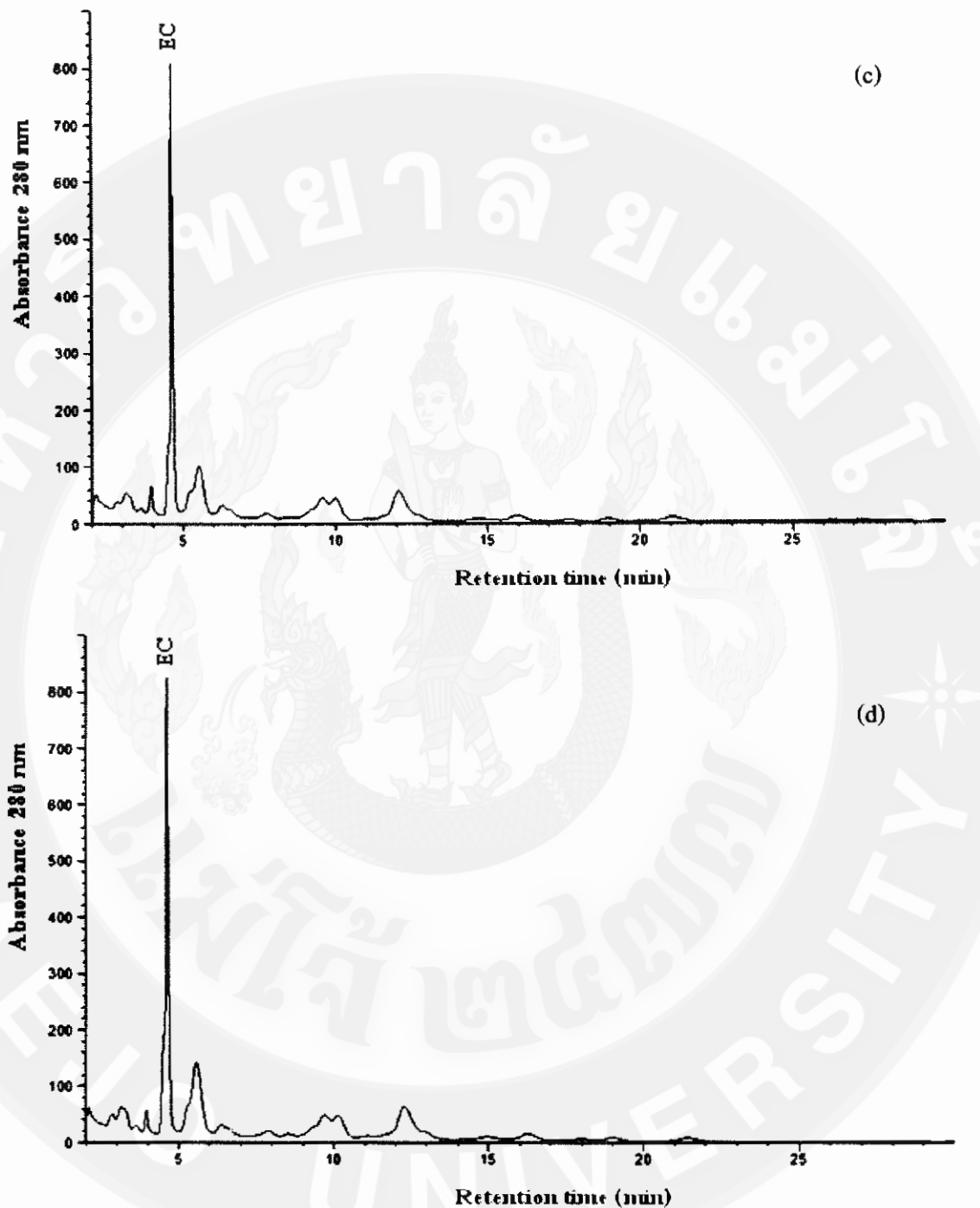
ภาพ 31 โปรแกรมของสารสกัดกล้าข้าวจากการสกัดด้วยอุทานอล 50% (ต่อ)

(c) คลื่นอัลตร้าโซนิกความถี่ 45kHz (d) คลื่นอัลตร้าโซนิกความถี่ 100kHz



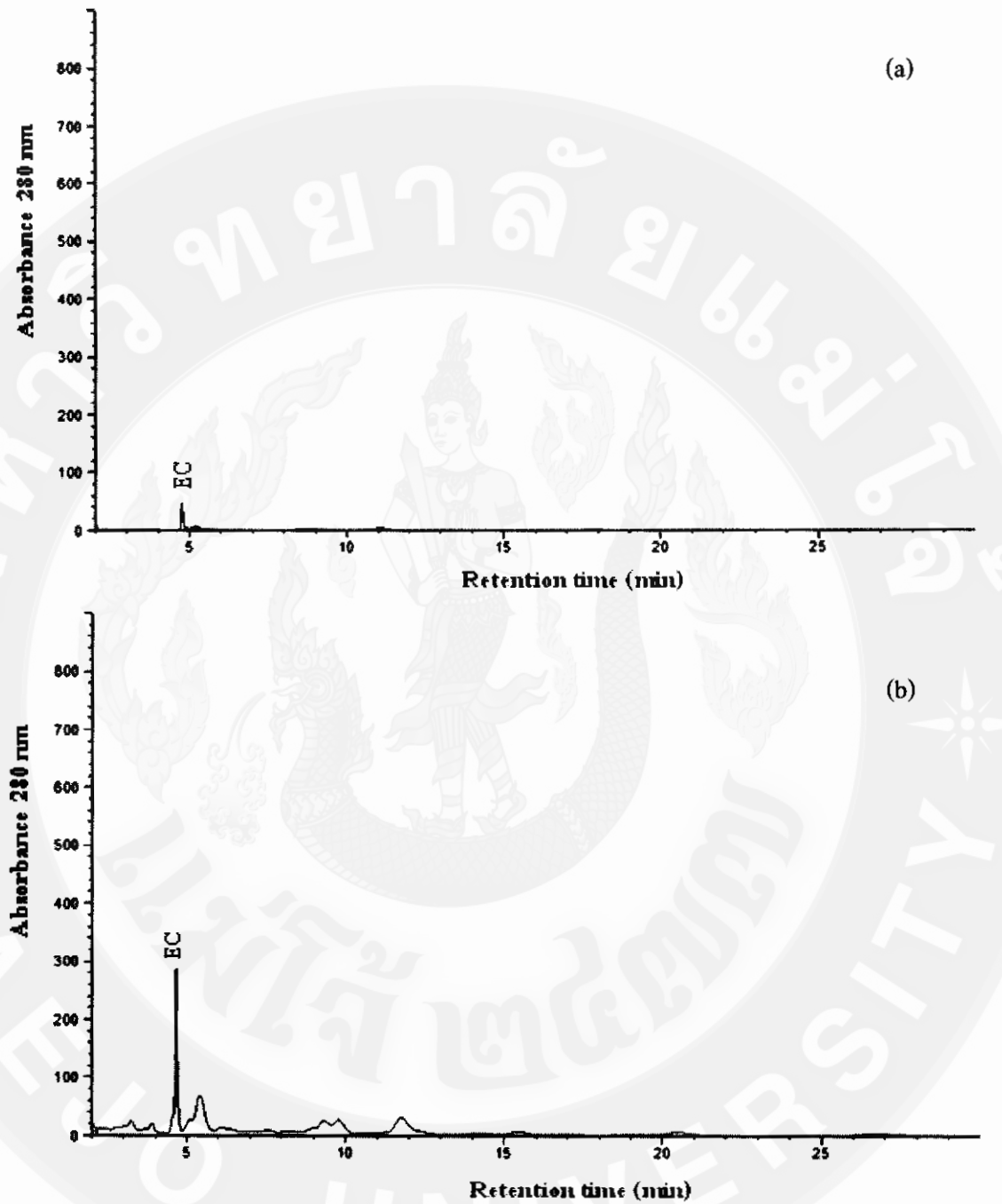
ภาพ 32 โปรแกรมของสารสกัดกล้ามข้าวจากการสกัดด้วยอุตสาหกรรม 70%

(a) สกัดด้วยวิธีเขย่า (b) คลื่นอัลตร้าโซนิกความถี่ 28kHz



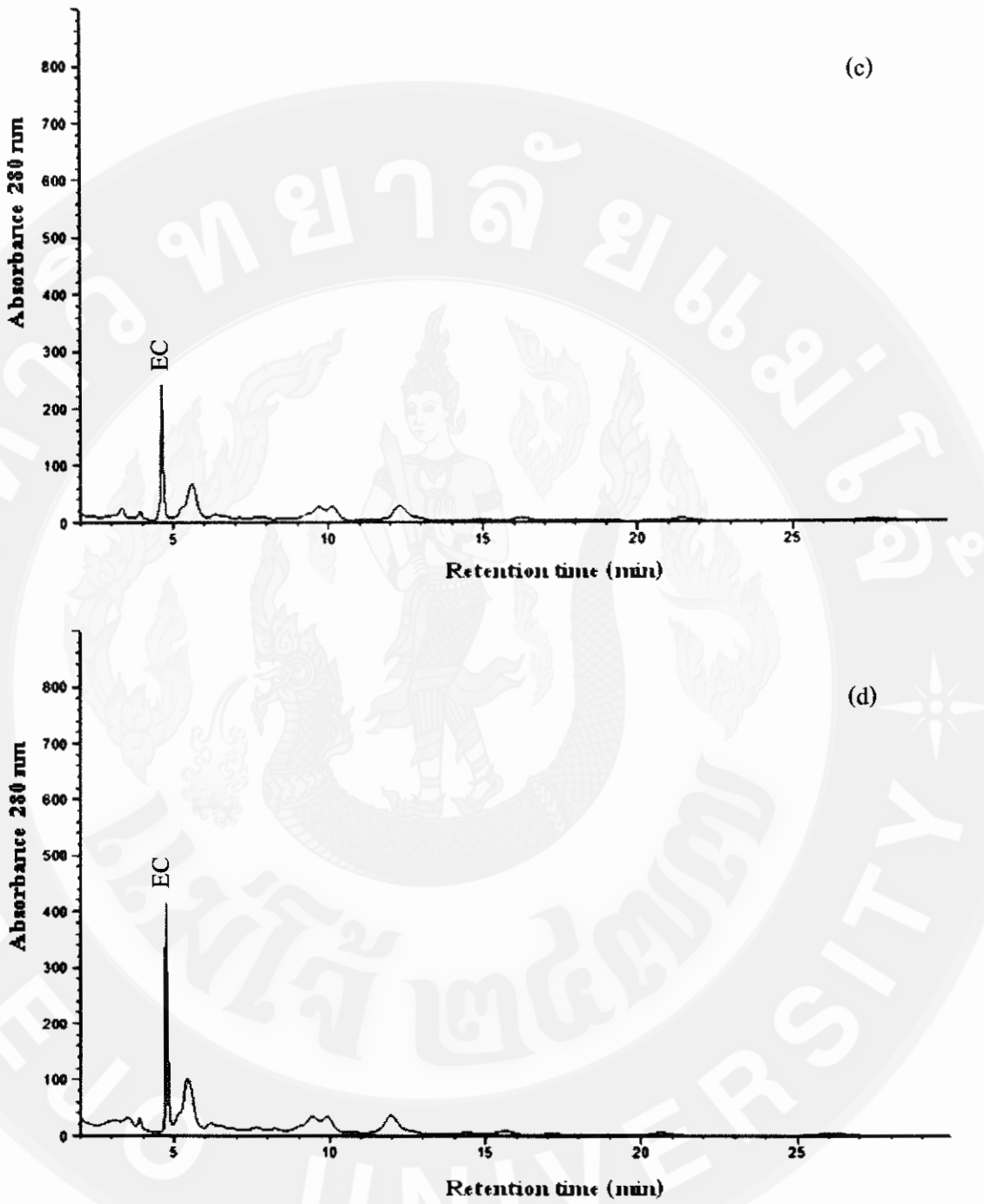
ภาพ 32 โครงสร้างเคมีของสารสกัดกล้ามข้าวจาก การสกัดด้วยเอทานอล 70% (ต่อ)

(c) คลื่นอัลตร้าโซนิกความถี่ 45kHz (d) คลื่นอัลตร้าโซนิกความถี่ 100kHz



ภาพ 33 โปรแกรมของสารสกัดกล้าฯ ขาวจากการสกัดด้วยโซหานอล 95%

(a) สกัดด้วยวิธีเบี่ยง (b) คลื่นอัตตร้าโซนิกความถี่ 28kHz



ภาพ 33 โคมนาไทรแกรมของสารสกัดกล้ามข้าวจาก การสกัดด้วยเอทานอล 95% (ต่อ)

(c) คลื่นอัลตร้าโซนิกความถี่ 45kHz (d) คลื่นอัลตร้าโซนิกความถี่ 100kHz

จากการวิเคราะห์ปริมาณสารในกลุ่มของคานาเทชินโดยเฉพาะอย่างยิ่งสาร EC (epicatechin) ของสารสกัดจากกล้ามข้าวพันธุ์สูงทั้ง 1 พันว่าความเข้มข้นของสารละลายนอกออลมีผลต่อปริมาณสารในกลุ่มของคานาเทชิน ซึ่งพบว่าสารสกัดที่สกัดโดยใช้สารละลายนอกออลความเข้มข้น 70% มีปริมาณของ EC ในระดับที่สูงเมื่อเปรียบเทียบกับสารสกัดที่สกัดโดยใช้สารละลายนอกออลความเข้มข้น 50%, 95% และน้ำดังภาพ 30-33 ทั้งนี้อาจเนื่องจากโมเลกุลของสารคานาเทชินต่าง ๆ มีความเป็นขั้วไกล์เดียวกับออลจึงส่งผลทำให้สารคานาเทชินสามารถละลายได้ดีและให้ปริมาณสารคานาเทชินสูง แต่การใช้ออลที่มีความเข้มข้นมากกว่า 85% อาจมีผลต่อการขาดน้ำในเซลล์ที่จะเพียงพอในการช่วยแพร่กระจายของสารภายในโครงสร้างดังจะเห็นได้จากใบชา (Lin et al., 2003) จากผลดังกล่าวแสดงให้เห็นว่า สารละลายนอกออลที่มีความเข้มข้นแตกต่างกันจะส่งผลต่อประสิทธิภาพในการสกัดที่แตกต่างกันออกไป ทั้งนี้ขึ้นอยู่กับความมีขั้วหรือความสามารถในการละลายของสารสำคัญที่ต้องการในตัวทำละลายนั้นๆ เมื่อสารละลายนี้สภาพความเป็นขั้วเหมือนกับสารสำคัญจะทำให้ความสามารถในการละลายเกิดได้ดีทำให้สามารถสกัดสารสำคัญได้มาก แต่บางครั้งสารสำคัญที่ต้องการอาจมีทั้งความเป็นขั้วมากหรือความเป็นขั้วน้อย เช่น การใช้ออลที่ความเข้มข้น 70% มีประสิทธิภาพในการสกัดได้สูงกว่าออลความเข้มข้น 95% ทั้งนี้อาจเนื่องจากสารละลายนอกออลความเข้มข้น 70% มีน้ำเป็นส่วนประกอบถึง 30% ซึ่งเป็นสารที่มีความเป็นขั้วมากจึงทำให้สารสำคัญที่มีความเป็นขั้วมากถูกสกัดออกมาได้ดีกว่าการใช้ออลความเข้มข้น 95%

อย่างไรก็ตามตัวทำละลายอินทรีย์ เช่น ออทานอล เมทานอล และอะเซโต้ไนโตรลที่ใช้ในการสกัดทั่วไปจะมีประสิทธิภาพในการสกัดสารคานาเทชินจากชาเขียวโดยไม่ทำให้เกิดปฏิกิริยาอิพิเมอร์ไรเซชัน (epimerization) ของสารที่สำคัญในกลุ่มคานาเทชิน (Suematsu et al., 1995) ซึ่งสอดคล้องกับการศึกษาของ Rusak et al. (2008) ที่พบว่าการใช้ออลความเข้มข้น 40% และระยะเวลาในการสกัด 30 นาทีจะให้ผลต่อปริมาณคานาเทชิน ปริมาณฟินอลิก และปริมาณสารต้านอนุมูลอิสระที่สูงกว่าการใช้ออลความเข้มข้น 70% และ 10% ทั้งนี้ปริมาณสารดังกล่าวที่ได้ขึ้นอยู่กับชนิดของสารละลายนและระยะเวลาที่ใช้ในการสกัด นอกจากนี้รายงานพบว่า การใช้ออลความเข้มข้น 80% ใน การสกัดผลิตภัณฑ์ชาเขียวและผลิตภัณฑ์อาหารเสริมชาเขียวมีผลต่อปริมาณสารคานาเทชิน และชีโรฟลาวินส์ (theaflavins) ซึ่งเป็นสารในกลุ่มของคานาเทชินที่เกิดในระหว่างการบ่มชาอู่หลงและชาคำสูงกว่าการใช้น้ำ (Friedman et al, 2006) แต่ทั้งนี้ปริมาณของสารคานาเทชินที่ได้อาจมีปัจจัยหลายอย่างที่ส่งผลต่อการเปลี่ยนแปลง เช่น แหล่งที่มา ภูมิประเทศ คุณภาพ การเพาะปลูก สายพันธุ์ อายุของใบชา การเก็บรักษาหลังการเก็บเกี่ยว รวมทั้ง โครงสร้างทางกายภาพและองค์ประกอบของใบที่แตกต่างกัน (Wang et al., 2000; Reto et al., 2007)

ตาราง 15 ปริมาณสาร Epicatechin (EC) ของสารสกัดจากกล้ามข้าวพันธุ์สูงทัย 1

Method	Solvent	(mg/g) sample
Shaker	Water	14.80±0.37
	50%EtOH	35.83±3.18
	70%EtOH	45.92±1.69
	95%EtOH	5.57±0.68
US 28kHz	Water	14.21±0.62
	50%EtOH	76.71±8.16
	70%EtOH	76.05±12.61
	95%EtOH	40.12±6.14
US 45kHz	Water	60.53±0.02
	50%EtOH	71.50±0.51
	70%EtOH	102.41±21.72
	95%EtOH	35.09±4.42
US 100kHz	Water	52.92±0.56
	50%EtOH	90.20±9.22
	70%EtOH	137.47±1.12
	95%EtOH	49.09±0.74

หมายเหตุ: - ค่าของข้อมูลแสดงค่าเฉลี่ย ± ค่าเบี่ยงเบนมาตรฐาน (n=2)

US = Ultrasonication

EtOH = Ethanol

Both et al. (2014) พบว่าการใช้คัลลินอัลตร้าโซนิกร่วมกับการใช้ตัวทำละลายด้วยเอทานอลความเข้มข้น 90% ใน การสกัดชาดำจะช่วยทำให้ปริมาณสารประกอบพอลิฟีนอลเพิ่มขึ้น 30-35% ซึ่งมีปริมาณมากกว่าการใช้วิธีการสกัดแบบดึงดูดและยังพบว่าการใช้คัลลินอัลตร้าโซนิกจะช่วยทำให้อุณภูมิของใบชาไม่ขนาดเล็กกว่าการใช้วิธีการสกัดแบบดึงดูด เนื่องจากคัลลินอัลตร้าโซนิกจะทำให้เกิดแรงสั่นสะเทือนซึ่งจะส่งผลให้สารประกอบพอลิฟีนอลสามารถถูกละลายออกมายังตัวทำละลายเป็นผลทำให้เกิดความเข้มข้นของปริมาณสารประกอบพอลิฟีนอลที่สูงในสารละลาย ณ จุดสมดุล อีกทั้งยังเป็นผลจากปริมาณน้ำที่เป็นส่วนผสมในตัวทำละลายจะช่วยเพิ่มความสามารถในการละลายของสารประกอบพอลิฟีนอลที่มีความเป็นข้อจำกัดอย่างสารละลายผสมได้ดีและน้ำยังช่วยทำให้วัตถุคงเดิมเกิดการบวนส่งผลทำให้สารละลายมีการเข้าถึงได้ง่ายขึ้น จากผลดังกล่าวแสดงให้เห็นว่า การใช้ตัวทำละลายเป็นปัจจัยที่สำคัญต่อการสกัดสารสำคัญที่ต้องการ

นอกจากนี้ยังมีการศึกษาพบว่าค่า pH ของสารละลายที่ใช้ในการสกัดสารคาเทชินจากชาเขียวมีผลต่อปริมาณสารดังกล่าว ซึ่งสารละลายที่มีค่า pH สูงถึง 7.6 จะส่งผลทำให้ปริมาณสารคาเทชินลดลง (Yoshida et al., 1999) เช่นเดียวกับการรายงานของ Liang and Xu (2001) ที่พบว่าการเปลี่ยนแปลงของค่า pH อาจมีอิทธิพลต่อการเปลี่ยนแปลงการเคลื่อนไหวในโครงสร้างของสารคาเทชิน เนื่องจากการแสดงออกของกลุ่ม -OH ในโครงสร้างของคาเทชินที่มีความไวต่อผลของค่า pH จะทำให้เกิดไออกอนไนซ์ของโมเลกุลภายในโครงสร้างได้ ซึ่งสอดคล้องกับการศึกษาความคงตัวของสารคาเทชินในชาเขียว ซึ่งพบว่าสารละลายที่มีค่า pH ต่ำกว่า 4 จะส่งผลต่อความคงตัวของสารคาเทชินมากกว่าสารละลายที่มีค่า pH มากกว่า โดยเฉพาะ EC และ ECG จะมีความคงตัวมากกว่า EGCG และ EGC ทั้งนี้เนื่องจาก -OH group ที่ตำแหน่ง 5' ในโครงสร้างของ EGCG และ EGC มีความเสี่ยงต่อการทำลายและเกิดการสลายตัวได้มากกว่า -OH group ที่ตำแหน่ง 3' และ 4' ในโครงสร้างของ EC และ ECG (Zhu et al., 1997)

จากการศึกษาดังกล่าวอาจส่งผลทำให้พบปริมาณสาร EC ที่สูงในสารสกัดจากกล้าข้าว อีกทั้งยังมีการรายงานว่าไโอโซเมอร์ของสาร EC ที่ได้จากชาเขียวจะมีประสิทธิภาพในการป้องกันการเกิดคอเลสเตอรอลชนิด LDL และเยื่อหุ้มเซลล์ของเม็ดเลือดแดงจากการเกิดปฏิกิริยาออกซิเดชัน (Zhang et al., 1997a, b) อย่างไรก็ตามสารคาเทชินในชาเขียวจะมีแนวโน้มที่ลดลงเนื่องจากการเสื่อมสภาพซึ่งเป็นผลจากการเกิดปฏิกิริยาออกซิเดชัน การเกิดอิพิเมอร์ไเรเซชัน และพอลิเมอร์ไเรเซชัน ในระหว่างกระบวนการผลิต ทั้งนี้ปัจจัยที่มีผลต่อการเปลี่ยนแปลงทางเคมีของสารคาเทชินดังกล่าวอาทิเช่น ผลของอุณหภูมิ ค่า pH ของชีวิญญาณ ไออกซิเจน ไออกซิเจนของโลหะ เป็นต้น (Ananingsih et al., 2013)

ผลการวิเคราะห์ปริมาณสารค่าเทชิน โดยเฉพาะสาร EC ที่พบในการวิจัยนี้เป็นการศึกษาในห้องปฏิบัติการเพื่อใช้เป็นข้อมูลเบื้องต้นในการนำสารสกัดจากธรรมชาติตามประยุกต์ใช้แทนสารเคมีที่ใช้ช่วยบำบัดหรือบรรเทาอาการต่างๆ จากการศึกษาดังกล่าวเป็นที่น่าสนใจอย่างยิ่งในการตรวจพบปริมาณสารค่าเทชิน (EC) ในสารสกัดจากกล้ามข้าวพันธุ์สูงทราย 1 ซึ่งเป็นข้าวพันธุ์ไทย โดยตรวจพบในปริมาณที่สูงถึง 137.47 มิลลิกรัมต่อกรัมตัวอย่างกล้ามข้าว

สารค่าเทชินเป็นสารฟลาโวนอยด์ที่สุดในพืชตระกูลชาโดยเฉพาะในยอดใบชาสดและชาเขียวซึ่งมีประมาณ 75% ของสารโพลีฟีโนลด์ทั้งหมด (Balentine et al., 1997) ทั้งนี้สารค่าเทชินเป็นสารพฤตุเคมีที่มีประโยชน์ต่อสุขภาพเนื่องจากมีคุณสมบัติในการต้านอนุมูลอิสระที่เป็นประโยชน์สำหรับริโ哥ชาที่จะได้รับจากการบริโภคชา ซึ่งในปัจจุบันมีการบริโภคชาเขียวรวมทั้งผลิตภัณฑ์ต่างๆ ที่มีส่วนประกอบของชาเขียวเพิ่มสูงขึ้น จากสมบัติการต้านอนุมูลอิสระของสารค่าเทชินทำให้มีประโยชน์ต่อสุขภาพได้ เช่น ช่วยลดความเสี่ยงในการเกิดโรคมะเร็ง ต้านเชื้อจุลทรรศ์ ต้านการอันเสน และต้านโรคอ้วน (Yuan et al., 2011; Rain et al., 2011; Mukhtar and Ahmad, 2000) มีการศึกษาพบว่าการใช้สารสกัดจากชาเขียวจะช่วยยับยั้งการเกิดออกซิเดชันของไขมัน LDL ซึ่งเป็นคอเลสเตอรอลชนิดเลข และยังสามารถเพิ่มปริมาณ HDL ซึ่งเป็นคอเลสเตอรอลชนิดดี (Yokozawa et al., 2002) เช่นเดียวกับ Osada et al. (2001) ได้ศึกษาพบว่า สารค่าเทชินในชาสามารถยับยั้งการเกิดออกซิเดชันของคอเลสเตอรอล อีกทั้งยังสามารถจับกับ copper ion และ hydroxyl radical ที่เกิดจากปฏิกิริยา peroxidation ของ superoxide anion

นอกจากนี้ยังมีการศึกษาทางระบบวิทยาพนวจว่า การบริโภคชาเขียวนั้นมีประโยชน์ต่อสุขภาพในการป้องกันการเกิดมะเร็ง โรคหัวใจและหลอดเลือด รวมทั้งโรคทางระบบประสาท (Zaveri, 2006) นอกจากนี้สมเดชและคณะ (2546) ได้ศึกษาพบว่าสารค่าเทชินที่สกัดได้จากใบชาเขียวมีคุณสมบัติในการลดปริมาณอนุมูลอิสระที่มากเกินและมีความสามารถในการจับกับธาตุเหล็ก ซึ่งผลที่ได้จะช่วยทำให้ลดภาวะธาตุเหล็กเกินในผู้ป่วยที่มีภาวะเหล็กเกินได้ อีกทั้งพบว่าการดื่มชาเขียวจะมีส่วนช่วยลดสภาวะ oxidative stress และช่วยป้องกันการเกิดออกซิเดชัน เนื่องจากสารค่าเทชินในชา มีความสามารถในการจับอนุมูลอิสระจำพวก superoxide radical, singlet oxygen, peroxy radical, nitric oxide, nitrogen dioxide และ hydroxyl radical ซึ่งจะช่วยลดการถูกทำลายในเนื้อเยื่อ ไขมัน โปรตีน และกรดนิวคลีอิกภายในเซลล์ (Erba et al. 2005 ถึง โดย ธีรพงษ์, 2013)

จากรายงานการบริโภคชาเพื่อให้ได้ประโยชน์ต่อสุขภาพนั้นขึ้นอยู่กับชนิดปริมาณ
กาแฟชิน รวมทั้งปริมาณสารออกฤทธิ์ ทั้งนี้ขึ้นอยู่กับกลไกในการเผาผลาญ การแพร่กระจาย และ
ความสามารถในการดูดซึมสารโพลีฟินอลที่มีในชาของแต่ละคน (Mukhtar and Ahmad, 2000)

จากผลการวิเคราะห์ปริมาณสารกาแฟชินที่ได้จากสารสกัดกล้าข้าวพันธุ์สุโขทัย ๑ ใน
การศึกษานี้ คาดว่าจะสามารถนำสารสกัดดังกล่าวไปประยุกต์ใช้แทนสารเคมีที่สามารถใช้ช่วยบำบัด
หรือบรรเทาอาการต่าง ๆ หรืออาจพัฒนาสารสกัดให้อยู่ในรูปแบบผงเพื่อเป็นแนวทางที่สะดวกต่อ
การเก็บรักษาต่อไป

บทที่ 5

สรุปผลการวิจัย

สรุปผลการทดลอง

1. การใช้คลื่นอัลตร้าโซนิกร่วมกับตัวทำละลายเอทานอลที่ความเข้มข้น 95% ให้ประสิทธิภาพที่ดีต่อคุณภาพสารสกัดจากกล้าข้าวพันธุ์สูง โดยทัย 1 เมื่อเทียบกับการใช้วิธีการสกัดแบบเบย่าร่วมกับการใช้ตัวทำละลายชนิดอื่น ๆ ซึ่งวิธีการสกัดที่เหมาะสมดังกล่าวจะให้สารสกัดที่มีสมบัติการด้านออกซิเดชัน สารประกอบพอลิฟินอล และปริมาณคลอโรฟิลล์สูงที่สุด คลื่นอัลตร้าโซนิกดังกล่าวจึงถูกนำมาใช้ศึกษาค้นคว้าที่เหมาะสมต่อการสกัดสารจากกล้าข้าวพันธุ์สูง โดยทัย 1 ในขั้นตอนต่อไป

2. สารสกัดจากกล้าข้าวพันธุ์สูง โดยทัย 1 ที่ได้จากการสกัดด้วยคลื่นความถี่ 28kHz และ 45kHz ร่วมกับการใช้อาทานอล 95% ให้ผลของสมบัติการด้านออกซิเดชันมากกว่าการใช้ตัวทำละลายด้วยเอทานอล 70%, 50% และน้ำ โดยสารสกัดที่ได้จากการสกัดด้วยคลื่นความถี่ 28kHz และ 45kHz ร่วมกับการใช้อาทานอล 95% มีค่าสมบัติการด้านออกซิเดชันเมื่อวิเคราะห์ด้วยวิธี ABTS⁺ เท่ากับ 31.60 และ 28.68 มิลลิกรัมสมมูลโลรอลกซ์ต่อตัวอย่างแห้ง 1 กรัม ตามลำดับ สำหรับสมบัติการด้านออกซิเดชันโดยวิเคราะห์ด้วยวิธี FRAP มีค่าเท่ากับ 31.04 และ 27.77 มิลลิกรัมสมมูลเฟอร์รัสซัลเฟตต่อตัวอย่างแห้ง 1 กรัม ตามลำดับ จากการวิเคราะห์ปริมาณสารประกอบพอลิฟินอลมีค่าเท่ากับ 10.49 และ 9.17 มิลลิกรัมสมมูลแกเลลิกต่อตัวอย่างแห้ง 1 กรัม ตามลำดับ ส่วนปริมาณคลอโรฟิลล์นั้น พบร่วมกับการสกัดด้วยคลื่นความถี่ 100 kHz ร่วมกับการใช้อาทานอล 95% ใน การสกัดจะให้ค่าคลอโรฟิลล์สูงสุดเท่ากับ 4.30 มิลลิกรัมต่อตัวอย่างแห้ง 1 กรัม

3. การใช้อุณหภูมิที่ 98 องศาเซลเซียส และเวลา 120 นาที ในการสกัดกล้าข้าวพันธุ์สูง โดยใช้คลื่นอัลตร้าโซนิกช่วยในการสกัด เป็นสภาวะที่เหมาะสมในการสกัด ซึ่งสภาวะที่ใช้ดังกล่าวจะส่งผลให้สารสกัดมีสมบัติการด้านออกซิเดชัน ปริมาณสารประกอบพอลิฟินอลและปริมาณคลอโรฟิลล์สูง โดยมีค่าสมบัติการด้านออกซิเดชันด้วยวิธี ABTS⁺ มีค่าเท่ากับ 20.62 มิลลิกรัมสมมูลโลรอลกซ์ต่อตัวอย่างแห้ง 1 กรัม และค่าสมบัติการด้านออกซิเดชันด้วยวิธี FRAP มีค่าเท่ากับ 12.21 มิลลิกรัมสมมูลเฟอร์รัสซัลเฟตต่อตัวอย่างแห้ง 1 กรัม ปริมาณสารประกอบพอลิฟินอลมีค่าเท่ากับ 7.67 มิลลิกรัมสมมูลกรดแกเลลิกต่อตัวอย่างแห้ง 1 กรัม และปริมาณคลอโรฟิลล์มีค่าเท่ากับ 3.91 มิลลิกรัมต่อตัวอย่างแห้ง 1 กรัม

4. กล้าม้าวที่ผ่านการให้รังสี UV-C เป็นเวลา นาน 60 นาที ก่อนนำมาสกัดโดยการใช้คลื่นอัลตร้าโซนิกความถี่ 28 kHz ที่อุณหภูมิ 98 องศาเซลเซียส เป็นเวลา 120 นาที มีผลต่อการลดลงของสมบัติการต้านออกซิเดชัน ปริมาณสารประกอบพอลิฟินอล และปริมาณคลอโรฟิลล์

5. จากการตรวจวัดคุณภาพที่ปริมาณสารประกอบในกลุ่มฟืนอலของสารสกัดจากกล้าม้าวพันธุ์สูงทัย 1 ที่ได้จากการสกัดด้วยวิธีการเขย่าและการใช้คลื่นอัลตร้าโซนิกความถี่ 3 ระดับ คือ 28kHz, 45kHz และ 100kHz ร่วมกับการใช้ตัวทำละลาย คือ น้ำ เอทานอล 50% เอทานอล 70% และเอทานอล 95% ด้วยวิธี HPLC พบร่วมสาร ในกลุ่มของคากาเทชิน โดยเฉพาะอย่างยิ่งสาร epicatechin (EC) ที่มีอยู่ในสารสกัดจากกล้าม้าวสายพันธุ์สูงทัย 1 ซึ่งพบว่าสารสกัดจากการสกัดด้วยคลื่นอัลตร้าโซนิกความถี่ 100kHz ร่วมกับเอทานอลความเข้มข้น 70% จะมีสาร EC ในปริมาณที่สูงโดยพบในปริมาณ 137.47 มิลลิกรัมต่อกิโลกรัมตัวอย่างกล้าม้าว

ข้อเสนอแนะ

1. การศึกษานี้เป็นเพียงการศึกษาในระดับห้องปฏิบัติการซึ่งใช้อัตราส่วนกล้าม้าวเพียง 3 กรัมต่ตัวทำละลาย 50 มิลลิลิตร ดังนั้นจึงควรมีการศึกษาเพิ่มเติมหากต้องการเพิ่มกำลังการผลิตสารสกัดจากกล้าม้าว โดยมุ่งเน้นการศึกษาระดับพลังงานของคลื่นอัลตร้าโซนิกต่อปริมาตรที่ใช้ในการสกัดด้วย

2. หากมีการศึกษาในระดับอัตราส่วนที่มากขึ้น ควรศึกษาระบบทองคลื่นอัลตร้าโซนิก เช่น เครื่องกำเนิดกระแสไฟฟ้าให้เพียงพอต่อกำลังที่ต้องการในการสกัด การออกแบบทรายสติวเชอร์รี่ให้มีขนาดที่เหมาะสม เพื่อให้เกิดการสั่นตามความถี่ของคลื่นที่ต้องการใช้ในการสกัด

3. Epicatechin ที่สกัดได้อาจเป็นประโยชน์ด้านการสมานแผลได้ โดยให้อยู่ในรูปสารสกัดที่มีเอทานอล 70% เป็นตัวทำละลาย และม่าเชื้อ

บรรณานุกรม

- กฤติยา (นามปากกา). 2550. คลอโรฟิลล์ คุณอนันต์ ไทยมหันต์. ชีวจิต 9(199): 62-64.
- จริงแท้ ศิริพานิช. 2546. สรีริวิทยาและเทคโนโลยีหลังการเก็บเกี่ยวผักและผลไม้. กรุงเทพฯ: ภาควิชาพืชสวน คณะเกษตร มหาวิทยาลัยเกษตรศาสตร์. 396 น.
- จริงแท้ ศิริพานิช. 2549. ชีววิทยาหลังการเก็บเกี่ยวและการวิเคราะห์ของพืช. กรุงเทพฯ: ภาควิชาพืชสวน คณะเกษตร มหาวิทยาลัยเกษตรศาสตร์. 453 น.
- จิตธนา แจ่มเมฆ, สายสนม ประดิษฐวงศ์, ทันง กัครัชพันธุ์, ปริยา วิญญาลักษณ์, เนื้อทอง วนานุวัช, มาลัยวรรณ อารยะสกุล, ศิวพร ศิริเวช, สมจิต สุรพัฒน์, สุคนธ์ชั่น ศรีงาม และ อรอนงค์ นัยวิกุล. 2546. วิทยาศาสตร์และเทคโนโลยีการอาหาร. กรุงเทพฯ: มหาวิทยาลัยเกษตรศาสตร์. 528 น.
- จุไรพิพัฒ์ หวังสินทวีกุล. 2551. มหัศจรรย์ข้าวอก. เกษตรธรรมชาติ 11(12): 29-32.
- เจนจิรา จิรัมย์ และ ประสงค์ สีหานาม. 2554. อนุมูลอิสระและสารต้านอนุมูลอิสระ: แหล่งที่มา และกลไกการเกิดปฏิกิริยา. วารสารวิชาการมหาวิทยาลัยราชภัฏกาฬสินธุ์ 1(1): 59-70.
- ชัยรัตน์ บูรณะ และ วริช ศรีละออง. 2552. ผลของการให้รังสี UV-C ต่อ กิจกรรมการต้านอนุมูลอิสระในกระเพาะปัสสาวะ. ว. วิทยาศาสตร์เกษตร 40(3): 137-140.
- ธีรพงษ์ เทพกรรณ์. 2556. คานเทชินในชาเขียวและความคงดั้วยระหว่างเก็บรักษา. ว. วิทยาศาสตร์ มน. 41(1): 46-55.
- นิธิยา รัตนาปันนท์. 2549. เกมอาหาร. พิมพ์ครั้งที่ 2. กรุงเทพฯ: โอดี้ียนสตาร์. 504 น.
- บุญหงส์ จงคิด. 2547. ข้าวและเทคโนโลยีการผลิต. กรุงเทพฯ: มหาวิทยาลัยเกษตรศาสตร์. 184 น.
- ประพันธ์ ปั่นศิริโคม และ วันทนีย์ ช้างน้อย. 2545. การเปรียบเทียบปริมาณสารประกอบโพลีฟิโนอลทั้งหมดและสัดส่วนของสารสกัดจากเมล็ดพืชตระกูลส้มสายพันธุ์ต่างๆ ที่ปลูกในประเทศไทย. อาหาร 32(4): 300-307.
- พริมา พิริยากร, กนกพรรดา อะเอมแทช และ จุฑาทิพย์ โพธิ์อุบล. 2555. ผลของการน้ำรังสีอัลตราไวโอเลต ซึ่งต่อการเปลี่ยนแปลงทางด้านชีวเคมี กายภาพ และลักษณะทางประสานสัมผัสของถั่วลิสงปั่น. ว. วิทยาศาสตร์เกษตร 43(3): 544-547.
- ลักษณา เป็ญจวรรณ. 2551. สุขภาพดีด้วยการดื่มน้ำคั้นตันอ่อนข้าวไทย. เกษตรธรรมชาติ 11(12):

- ลักษณะ เมื่อยจารณ์. 2553. “น้ำคั้นจากใบข้าว” มีคุณค่าทางโภชนาการสูง. [ระบบออนไลน์]. แหล่งที่มา <http://www.manager.co.th/Campus/ViewNews.aspx?NewsID=9530000017558> (1 กันยายน 2556).
- ศิวพงษ์ ศิวเวช. 2546. วัตถุอีอปนอาหาร. นครปฐม: โรงพิมพ์ศูนย์ส่งเสริมและฝึกอบรมการเกษตรแห่งชาติ.
- ศุภกฤต ไทยอุดม. 2538. การพัฒนาระบวนการผลิตนำ้มัวบวก Centella asiatica (Linn.) Urban พง สำเร็จ. วิทยานิพนธ์ปริญญาโท, จุฬาลงกรณ์มหาวิทยาลัย.
- สมเดช ศรีชัยรัตนกุล, อุดมกันต์ ขาดสุวรรณ, จันทร์ศิริ วะทะหงส์, ชัยวัฒน์ ชุมปัน และ สะแกวัลย์ อุ่นใจเจ็น. 2546. การตรวจวิเคราะห์คุณสมบัติค้านออกซิเดชันและจับชาตุเหล็กของสารเคมีในใบจากโครงการหลวง. น. 348-349. ใน รายงานการประชุมวิชาการผลงานวิจัยของนักนิพนธ์โครงการหลวง ประจำปี 2546. เชียงใหม่: นักนิพนธ์โครงการหลวง.
- สุเมธ บุญเกิด. 2551. อัลตร้าซาวน์. [ระบบออนไลน์]. แหล่งที่มา <http://www.gpo.or.th/rdi/html/Ultrasound.html> (31 สิงหาคม 2556).
- แสง เกิดปะทุน. น.ป.ป. แสงอัลตร้าไวโอล็อก. [ระบบออนไลน์]. แหล่งที่มา www.tistr.or.th/ed/images/stories/engineer/article/UVlight.pdf (25 สิงหาคม 2556).
- อรทัย ข้าค้า. 2552. ปัจจัยที่มีผลต่อการออกและคุณค่าทางอาหารของต้นอ่อนธัญพืช. วิทยานิพนธ์ปริญญาโท. มหาวิทยาลัยเทคโนโลยีพระจอมเกล้าธนบุรี. 139 น.
- โสภา วัชระคุปต์, ปรีชา บุญจุ่ง, จันทนา บุณยะรัตน์ และ มาลีรักษ์ อัตต์สินทอง. 2549. สารต้านอนุมูลอิสระ. กรุงเทพฯ: พ.อส.พรีนท์. 200 น.
- โสภา วัชระคุปต์, ปรีชา บุญจุ่ง, จันทนา บุณยะรัตน์ และ มาลีรักษ์ อัตต์สินทอง. 2550. สารต้านอนุมูลอิสระ. กรุงเทพฯ: นิวไทยมิตรการพิมพ์. 262 น.
- A.O.A.C. 2006. **Official Methods of Analysis.** 18th ed. Association of Analytical Chemistry: Gaithersburg, MD.
- Acar, O., I. Turkan and F. Ozdemir. 2001. Superoxide dismutase and peroxidase activities in drought sensitive and resistant barley (*Hordeum vulgare* L.) varieties. **Acta Physiologae Plantarum** 23(3): 351-356.
- Ananingsih, V. K., A. Sharma and W. Zhou. 2013. Green tea catechins during food processing and storage: A review on stability and detection. **Food Research International** 50: 469-479.

- Artes-Hernandez, F., P. A. Robles, P. A. Gomez, A. Tomas-Callejas and F. Artes. 2010. Low UV-C illumination for keeping overall quality of fresh-cut watermelon. **Postharvest Biology and Technology** 55: 114-120.
- Aruoma, O.I. and B. Halliwell. 1987. Superoxide-dependent and ascorbate-dependent formation of hydroxyl radicals from hydrogen peroxide in the presence of iron. Are lactoferrin and transferrin promoters of hydroxyl-radical generation?. **Biochemical Journal** 241(1): 273-278.
- Atchley, A.A. and L. A. Crum. 1998. Acoustic cavitation and bubbles dynamics. pp. 1-64. In **Ultrasound, its chemical, physical and biological effects**. K. S. Suslick (eds.). VCH Publishers, Inc. New York.
- Baka, M., J. Mercier, R. Corcuff, F. Castaigne and J. Arul. 1999. Photochemical treatment to improve storability of fresh strawberries. **Journal of Food Science** 64: 1068–1072.
- Balentine, D.A., S.A. Wiseman and L.C.M. Bouwens. 1997. The chemistry of tea flavonoids. **Critical Review in Food Science and Nutrition** 37: 693-704.
- Bamforth, C.W. 1983. Superoxide dismutase in barley. **Journal of Institute of Brewing** 89(3): 420-423.
- Barka, E. A., S. Kalantari, J. Makhlof and J. Arul. 2000. Impact of UV-C Irradiation on the Cell Wall-Degrading Enzymes during Ripening of Tomato (*Lycopersicon esculentum* L.) Fruit. **Journal of Agriculture and Food Chemistry**. 48: 667-671.
- Ben-Ayre, E., E. Goldin, D. Wengrower, A. Stamper, R. Kohn and E. Berry. 2002. Wheat grass juice in the treatment of active distal ulcerative colitis: a randomized double-blind placebo-controlled trial. **Scandinavian Journal of Gastroenterology** 37(4): 444-449.
- Benzie, I. F. F. and J. J. strain. 1996. The ferric reducing ability of plasma (FRAP) as a measure of “antioxidant power”: the FRAP assay. **Analytical Biochemistry** 239(1): 70-76.
- Bhat, R., N. S. B. Che Kamaruddin, L. Min-Tze and A. A. Karim. 2011. Sonication improves kasturi lime (*Citrus microcarpa*) juice quality. **Ultrasonics Sonochemistry** 18: 1295-1300.
- Both, S., F. Chemat and J. Strube. 2014. Extraction of polyphenols from black tea – Conventional and ultrasound assisted extraction. **Ultrasonics Sonochemistry** 21: 1030-1034.

- Bradbury, L. M. T., S.A. Gillies, D. J. Brushett, D. L. E. Waters and R. J. Henry. 2008. Inactivation of an aminoaldehyde dehydrogenase is responsible for fragrance in rice. **Plant Molecular Biology** 68: 439-449.
- Bravo, L. 1998. Polyphenol: chemistry, dietary sources, metabolism and nutritional significance. **Nutrition Review** 56(11): 317-333.
- Burkholder, R. and I. McVeigh. 1942. The Increase of B vitamins in germinating seeds. **Botany** 28(10): 440-446.
- Calzuola, I., V. Marsili and G.L. Gianfranceschi. 2004. Synthesis of antioxidant in wheat sprouts. **Journal of Agricultural and Food Chemistry** 52(16): 5201-5206.
- Carrera, C., A. Ruiz-Rodriguez, M. Palma and C. G. Barroso. 2012. Ultrasound assisted extraction of phenolic compounds from grapes. **Analytica Chimica Acta** 732: 100-104.
- Castro, D. J., C. V. Lohr, K. A. Fischer, K. M. Water, B. Webb-Robertson, R. H. Dashwood, G. S. Bailey and D. E. Williams. 2009. Identifying efficacious approaches to chemoprevention with chlorophyllin purified chlorophylls and freeze-dried spinach in a mouse model of transplacental carcinogenesis. **Carcinogenesis** 30(2): 315-320.
- Chavan, J. K. and S. S. Kadam. 1989. Nutritional improvement of cereals by sprouting. **Critical Reviews in Food Science and Nutrition** 28(5): 401-437.
- Chen, F., Y. Sun, G. Zhao, X. Liao, X. Hu, J. Wu and Z. Wang. 2007. Optimization of ultrasound-assisted extraction of anthocyanins in red raspberries and identification of anthocyanins in extract using high-performance liquid chromatography-mass spectrometry. **Ultrasonics Sonochemistry** 14: 767-778.
- Chen, S. T. and J. F. Hsieh. Monocotyledon plant indication extract compositions, method of preparation and pharmaceutical composition containing them. **United States Patent 2008/0089957 A1.** 17 April 2008.
- Chen, Z. Y., Q. Y. Zhu, D. Tsang, S and Y. Huang. 2001. Degradation of Green Tea Catechins in Tea Drinks. **Journal of Agricultural and Food Chemistry** 49: 477-482.
- Cho, S., D. H. Lee, C. H. Won, S. M. Kim, S. Lee, M. J. Lee and J.H. Chung. 2006. Drink containing chlorophyll extract improves signs of photo aging and increase type I procollagen in human skin in vivo. **Korean Journal of Investigative Dermatology** 13(4): 111-119.

- Choi, Y., S. M. Lee, J. Chun, H. B. Lee and J. Lee. 2006. Influence of heat treatment on the antioxidant activities and polyphenolic compound of Shitake (*Lentinus edodes*) mushroom. **Food chemistry** 99(2): 381-387.
- Chun, H., J. Zawsstowski, W. Ling. and D. D. Kitts. 2003. Black Rice (*Oryza sativa* L. indica) Pigmented Fraction Suppresses both Reactive Oxygen Species and Nitric Oxide in Chemical and Biological Model Systems. **Agricultural and Food Chemistry** 51(18): 5271-5277.
- Cornish, M. L. and D. J. Gerbary. 2010. Antioxdant from microalgae: potential application in human health and nutrition. **Free Radical Biology & Medicine** 25: 155-171.
- Dewanto, V., X. Wu, K. K. Adom and R. H. Liu. 2002. Thermal processing enhances the nutritional value of tomatoes by increasing total antioxidant activity. **Agricultural and Food Chemistry** 50: 3010-3014.
- Donkor, O.N., L. Stojanovska, P. Ginn, J. Ashton and T. Vasiljevic. 2012. Germinated grains – Sources of bioactive compounds. **Food Chemistry** 135: 950–959.
- Egner, P. A., A. Munoz and T. W. Kensler. 2003. Chemoprevention with chlorophyllin in individuals exposed to dietary aflatoxin. **Mutation Research-Fundamental and Molecular Mechanisms of Mutagensis** 523-524: 209-216.
- Erba, D., P. Riso, A. Bordoni, P. Foti, P. L. Biagim and G. Testolin. 2005. Effectiveness of moderate green tea consumption on antioxidative status and plasma lipid profile in humans. **Journal of Nutritional Biochemistry** 16: 144-149.
- Estrella, A. and F. Katherina. 2011. The effect of different extraction techniques on extraction yield, total phenolic, and anti-radical capacity of extracts from *Pinus radiate* Bark. **Industrial Crops and Products** 34: 838-844.
- Falguera, V., J. Pagan, S. Garza, A. Garvin and A. Ibarz. 2011. Ultraviolet processing of liquid food: A review Part 2: Effects on microorganisms and on food components and properties. **Food Research International** 44: 1580-1588.
- Feng, M., K. Ghafoor, B. Seo, K. Yang and J. Park. 2013. Effects of ultraviolet-C treatment in Teflon®-coil on microbial populations and physico-chemical characteristics of watermelon juice. **Innovative Food Science and Emerging Technologies** 19: 133-139.

- Fonseca, J. M. and J. W. Rushing. 2006. Effect of ultraviolet-C light on quality and microbial population of fresh-cut watermelon. **Postharvest Biology Technology** 40: 256–261.
- Frei, B. and J. V. Higdon. 2003. Antioxidant activity of tea polyphenols in vivo: evidence from animal studies. **Nutrition** 133: 3275S-3284S.
- Friedman, M., C. E. Levin, S. H. Choi, E. Kozukue and N. Kozukue. 2006. HPLC Analysis of Catechins, Theaflavins, and Alkaloids in Commercial Teas and Green Tea Dietary Supplements: Comparison of Water and 80% Ethanol/Water Extracts. **Journal of Food Science** 71(6): C328-C337.
- Garza, S., A. Ibarz, J. Pagan and J. Giner. 1999. Non-enzymatic browning in peach puree during heating. **Food Research International** 32:335-343.
- Gohari, A. R., H. Hajimehdipoor, S. Saeidnia, Y. Ajani and A. Hadjiakhoondi. 2009. Antioxidant activity of some medicinal species using FRAP assay. **Journal of Medicinal Plants** 10:54-60.
- Gonzalez-Barrio, R., M. L. Vidal-Guevara, F. A. Tomas-Barberan and J. C. Espin. 2009. Preparation of a resveratrol-enriched grape juice based on ultraviolet C-treated berries. **Innovative Food Science and Emerging Technologies** 10:374-382.
- Guerrero, R. F., B. Puertas, M. I. Fernandez, Z. Pineiro and E. Cantos-Villar. 2010. UVC-treated skin-contact effect on both white wine quality and resveratrol content. **Food Research International** 43: 2179-2185.
- Guerrero, R. F., B. Puertas, M. I. Fernandez, M. Palma and E. Cantos-Villar. 2010. Induction of stilbenes in grapes by UV-C: Comparison of different subspecies of *Vitis*. **Innovative Food Science and Emerging Technologies** 11: 231-238.
- Hagiwara, Y. and H. Hagiwara. Powders of plant green juice and process for their production. **United States Patent 5,445,839.** 29 August 1995.
- Hasan, M. M., H. K. Yun, E. J. Kwak and K. H. Baek. 2013. Preparation of resveratrol-enriched grape juice from ultrasonication treated grape fruits. [Online]. Available <http://dx.doi.org/10.1016/j.ultrasonch.2013.08.008> (8 April 2013)

- Hayouni, E. A., M. Abedrabba, M. Bouix and M. Hamdi. 2007. The effects of solvents and extraction method on the phenolic contents and biological activities in vitro of Tunisian *Quercus coccifera* L. and *Juniperus phoenicea* L. fruit extracts. **Food Chemistry** 105: 1126-1134.
- Hirano, R., Y. Momiyama, R. Takahashi, H. Taniguchi, K. Kondo, H. Nakamura and F. Ohusuzu. 2002. Comparision of green tea intake in Japanese patients with and without angiographic coronary artery disease. **American Journal of Cardiology** 90: 1150-1153.
- Hoover, D. G. 2000. Ultrasound. Kinetics of microbial inactivation for alternative food processing technologies. **Food Sci. Supplement** : 93-95.
- Hossain, M. B., N. P. Brunton, A. Patras, B. Tiwari, C. P. O'Donnell, A. B. Martin-Diana and C. Barry-Ryan. 2012. Optimization of ultrasound assisted extraction of antioxidant compounds from marjoram (*Origanum majorana* L.) using response surface methodology. **Ultrasonics Sonochemistry** 19: 582-590.
- Huang, W., A. Xue, H. Niu, Z. Jia and J. Wang. 2009. Optimised ultrasonic-assisted extraction of flavonoids from *Folium eucommiae* and evaluation of antioxidant activity in multi-test systemsin vitro. **Food Chemistry** 114: 1147-1154.
- Iyer, U., M. Sharma, S Dhruv and U. V. Mani. 2010. Glycemic and lipemic response of wheat grass incorporated recipes. **Journal of Herbal Medicine and Toxicology** 4(1): 161-164.
- Janda, T., G. Szalai, K. Rios-Gonzales, O. Veisz and E. Pldi. 2003. Comparative study of frost tolerance and antioxidant activity in cereals. **Plant Science** 164(2): 301-306.
- Jang, M. S., E. N. Cai, G. O. Udeani, K. V. Slowing, C. F. Thomas, C. W. W. Beecher, H. H. S. Fong, N. R. Farnsworth, A. D. Kinghorn, R. G. Mehta, R. C. Moon and J. M. Pezzuto. 1997. Cancer chemopreventive activity of resveratrol, a natural product derived from grapes. **Science** 275 (5997): 218-220.
- Jay, J.M. 1997. Radiation preservation of foods and nature of microbial radiation resistance. Pp. 304-323. **In Modern Food Microbiology**. Jay, J. M. (Ed.). Chapman and Hall, New York.
- Jimenez, M. J., L.G. Elias, R. Bressani, D. A. Navarrete, R. Gomez-Brenes and M. R. Molina. 1985. Biochemical and nutritional studies of germinated soybean seeds. **Archivos Latinoamericanos de Nutrition** 35(3): 480-490.

- Johnson, D. W. and D. J. Mokler. 2000. Barley grass and green barley grass juice. **New Hope Institute of Retailing**. Continuing Education Module, pp. 2-7.
- Johnson, J. J., Bailey, H. H. and Mukhtar, H. 2010. Green tea polyphenols for prostate cancer chemoprevention: A translational perspective. **Journal of Phytomedicin** 17: 3-13.
- Jubert, C., J. Mata, G. Bench, R. Dashwood, C. Pereira, W. Tracewell, K. Turteltaub, D. Williams and G. Bailey. 2009. Effects of chlorophyll and chlorophyllin on low-dose aflatoxin B-1 pharmacokinetics in human volunteers. **Cancer Prevention Research** 2(12): 1015-1022.
- Julino, C., M. Cossu, M. C. Alamanni and L. Piu. 2005. Antioxidant activity of gamma-oryzanol: Mechanism of action and its effect on oxidative stability of pharmaceutical oils. **International Journal of Pharmaceutics** 299: 146-154.
- Kao, Y.H., H.H. Chang, M.J. Lee and C.L. Chen. 2006. Tea, obesity, and diabetes. **Molecular Nutrition and Food Research** 50: 180-210.
- Kayahara, H., K. Tsukahara and T. Tatai. 2000. Flavor, health and nutritional quality of pre-germinated brown rice. pp. 546-551. In **Spanier**. 10th International Flavor Conference, 4-7 July 2000. Paros, Greece.
- Kaul, S., G. Sharma, J. Porwal and N. Bisht. 2011. Effect of low frequency ultrasonic assisted extraction on the quality of seed oils of Indian origin. **Fuel Processing Technology** 92: 1813-1820.
- Keshava, C., R. L. Divi, T. L. Einem, D. Keshava, M. C. Poirier and A. Weston. 2009. Chlorophyllin significantly reduces benzo(a)pyrene-DNA adduct formation and alters cytochrome P450 1A1 and 1B1 expression and EROD activity in normal human mammary epithelial cells. **Environ Mol Mutagen** 50(2): 134-144.
- Khalil, A.W., A. Zeb, F. Mahmood, S. Tariq, A.B. Khattak and H. Shah. 2007. Comparison of sprout quality characteristics of desi and kabuti type chickpea cultivars (*Cicer arietinum* L.). **Swiss Society of Food Science and Technology** 40: 937-945.
- King, G. A. and S. C. Morris. 1994. Early compositional changes during postharvest senescence of broccoli. **Journal of the American Society for Horticultural Science**. 119: 1000-1005.

- Kirpalani, D. M. and McQuinn K. J. 2006. Experimental quantification of cavitation yield revisited: focus on high frequency ultrasound reactors. **Ultrasonics Sonochemistry** 13: 1-5.
- Knorr, D., B. I. O. Ade-Omowaye, and V. Heinz. 2002. Nutritional improvement of plant foods by non-thermal processing. **Proceedings of the Nutrition Society** 61(22): 311-318.
- Kono, Y., A. Kojima, R. Nagai, M. Watanabe, T. Kawashima, T. Onizawa, T. Teraoka, M. Watanab, H. Koshino, J. Uzawa, Y. Suzuki and A. Sakurai. 2004. Antibacterial diterpenes and their fatty acid conjugates from rice leaves. **Phytochemistry** 65: 1291-1298.
- Kubota, K., Y. Matsuoka and H. Seld. 1983. Isolation of potent anti-inflammatory protein from barley leaves. **The Japanese Journal of Inflammation** 3(4): 145-150.
- Kulkarni, S.D., J. Tilak, R. Acharya, N. S. Rajurkar, T. P. A. Devasagayam and A. V. R. Reddy. 2006. Evaluation of the antioxidant activity of wheatgrass (*Triticum aestivum* L.) as a function of growth under different conditions. **Phytotherapy Research** 20(3): 218-227.
- Kulkarni, V. M. and V. K. Rathod. 2014. Mapping of an ultrasonic bath for ultrasound assisted extraction of mangiferin from *Mangifera indica* leaves. **Ultrasonics Sonochemistry** 21: 606-611.
- Labbe, D., A. Tremblay and L. Bazinet. 2006. Effect of brewing temperature and duration on green tea catechin solubilization: Basis for production of EGC and EGCG-enriched fractions. **Separation and Purification Technology** 49: 1-9.
- Lanfer-Marquez, U. M., R. M. C. Barros and P. Sinnecker. 2005. Antioxidant activity of chlorophylls and their derivatives. **Food Research International** 38: 885-891.
- Lee, S. H., S. S. Jew, P.S. Chang, I.J. Hong, E.S. Hwang, K.S. Kim, K.T. Kim and H.L. Sung. 2003. Free radical scavenging effect and antioxidant activities of barley leaves. **Food Science and Biotechnology** 12(3): 263-273.
- Li, H., E. Ohdaira and M. Ide. 1995. Enhancement in diffusion of electrolyte through membrane using ultrasonic dialysis equipment with plane membrane. **Japanese Journal of Applied Physics** 34: 2725-2729.
- Liang, Y. R and Y. R. Xu. 2001. Effect of pH on cream particle formation and solids extraction yield of black tea. **Food Chemistry** 74: 155-160.

- Liebert, M., U. Licht, V. Bohm and R. Bitsch. 1999. Antioxidant properties and total phenolics content of green and black tea under different brewing conditions. **Z Lebensm Unters Forsch A** 208: 217-220.
- Lin, Y. M., Y. J. Tsai, J. S. Tsay and J. K. Lin. 2003. Factors Affecting the Levels of Tea Polyphenols and Caffeine in Tea Leaves. **Journal of Agricultural and Food Chemistry**. 51: 1864-1873.
- Lotito, S.B. and B. Frei. 2006. Consumption of flavonoid-rich foods and increased plasma antioxidant capacity in humans: cause, consequence, or epiphenomenon?. **Free Radical Biology & Medicine** 41: 1727-1746
- Maillard, M.N. and C. Berset. 1995. Evolution of antioxidant activity during kilning: role of insoluble bound phenolic acids of barley and malt. **Agricultural and Food Chemistry** 43(7): 1789-1793.
- Marwaha, R.K., D. Bansal, S. Kaur and A. Trehan. 2004. Wheat grass juice reduces transfusion requirement in patients with thalassemia major: a pilot study. **Indian Pediatrics** 41(7): 716-720.
- Mason, T. J. and Y. Zhao. 1994. Enhancement in of ultrasonic cavitation yield by multi-frequency sonication. **Ultrasonics Sonochemistry** 29(5): 567-582.
- Mason, T. J. 1998. Power ultrasound in food processing-the way forward. pp. 105-126. In **Ultrasound in Food Processing**. Povey, M. J. W. and Mason, T. J. (eds.). Blackie Academic & Professional, London.
- Meng, F.H., Y.B. Li, Z. L. Xiong, Z. M. Jiang and F. M. Li. 2005. Osteoblastic proliferative activity of *Epimedium brevicornum* Maxim. **Phytomedicine** 12:189-193.
- Michael, H. and B. Marie-Luis. 2003. **Ultraviolet radiation basics and technology**. [Slides]. Heraeus Noblelight GmbH: Industrial Process Technology.
- Mukhtar, H. and N. Ahmad. 2000. Tea polyphenols: prevention of cancer and optimizing health 1-3. **American Journal of Clinical Nutrition** 71: 1698S-1702S.
- Nishiyama T., Y. Hagiwara, H. Hagiwara and T. Shibamoto. 1993. Inhibition of malondialdehyde formation from lipids by an isoflavonoid isolated from young green barley leaves. **Journal of the American Oil Chemists Society** 70: 911-913.

- Nishiyama, T., Y. Hagiwara, H. Hagiwara and T. Shibamoto. 1994. Inhibitory effect of 2"-O-glycosyl isovitexin and α -tocopherol on genotoxic glyoxal formation in a lipid peroxidant system. **Food and Chemical Toxicology** 32(11): 1047-1051.
- Oliveira, R. C. D., S. T. D. Barros and M. L. Gimenes. 2013. The extraction of passion fruit oil with green solvents. **Journal of Food Engineering** 117: 458-463.
- Osada, K., M. Takahashi, S. Hoshina, M. Nakamura, S. Nakamura and M. Sugano. 2001. Tea catechins inhibit cholesterol oxidation accompanying oxidation of low density lipoprotein in vitro. **Comparative Biochemistry and Physiology Part C** 128: 153-164.
- Osawa, T., H. Katsuzaki, Y. Hagiwara, H. Hagiwara and T. Shibamoto. 1992. A novel antioxidant isolated from green barley leaves. **Journal of Agricultural and Food Chemistry** 40(7): 1135-1138.
- Panda, S.K., I. Chaudhury and M.H. Khan. 2003. Heavy metals induce lipid peroxidation and affect antioxidants in wheat leaves. **Biologia Plantarum** 2: 289-294.
- Park H. L., S. W. Lee, K. H. Jung, T. R. Hahn and M. H. Cho. 2013. Transcriptomic analysis of UV-treated rice leaves reveals UV-induced phytoalexin biosynthetic pathways and their regulatory networks in rice. **Phytochemistry** 96: 57-71.
- Peryt, B., T. Szymczyk and P. Lesca. 1992. Mechanism of antimutagenicity of wheat sprout extracts. **Mutation research** 269(2): 201-215.
- Pinsirodom, P., and W. Changnoi. 2001. Comparison of total polyphenol content and antioxidant potential of extracts obtained from seeds of different citrus fruits cultivated in Thailand. **Food** 34(4): 300-307.
- Pratt, D. E. and Hudson, B. J. F. 1990. Natural antioxidants not exploited commercially. In **Hudson BJF (Ed.), Food Antioxidant**. Amsterdam: Elsevier.
- Premier group of industries. 2009. **Organic-Chemicals** [Online].
<http://www.premierindiaa.com/organic-chemicals.html>. (2 September 2013).
- Rains, T.M., S. Agarwal and K.C. Maki. 2011. Antiobesity effects of green tea catechins: a mechanistic review. **Journal of Nutritional Biochemistry** 22: 1-7.
- Ramos, S.N. 2007. Effects of dietary flavonoids on apoptotic pathways related to cancer chemoprevention. **Journal of Nutritional Biochemistry** 18: 427 – 442.

- Randhir, R., Y. I. Kwon and K. Shetty. 2008. Effect of thermal processing on phenolics, antioxidant activity and health-relevant functionality of select grain sprouts and seedlings. **Innovative Food Science and Emerging Technologies** 9: 355-364.
- Rattanathanalerk, M., N. Chiewchan and W. Srichumpoung. 2005. Effect of thermal processing on the quality loss of pineapple juice. **Food Engineering** 66: 259-265.
- Re, R., N. Pellegrini, A. Proteggente, A. Pannala, M. Yang and C. Rice-Evans. 1999. Antioxidation activity applying an improved ABTS radical cation decolorization assay. **Free Radical Biology and Medicine** 26(9-10): 1231-1237.
- Reto, M., M. E. Figueira, M. F. Filipe and C. M. M. Almeida. 2007. Chemical composition of green tea (*Camellia sinensis*) infusions commercialized in Portugal. **Plant Foods for Human Nutrition**. 62: 139–144.
- Rimsten, L., T. Stenberg, R. Andersson, A. Andersson and P. Aman. 2003. Determination of beta-glucan molecular weight using SEC with calcofluor detection in cereal extracts. **Cereal Chemistry** 80(4):485-490.
- Rosenthal, I. 1992. Electromagnetic radiations in Food Science. In **Biomedical and Life Sciences**. Germany: Springer Berlin Heidelberg.
- Rozan, P., Y. H. Kuo and F. Lambein. 2000. Free amino acids presented in commercially available seedling sold for human consumption. A potential hazard for consumers. **Journal of Agricultural and Food Chemistry** 48(3): 716-723.
- Rusak, G., D. Komes, S. Likic, D. Horziv and M. Kovac. 2008. Phenolic content and antioxidative capacity of green and white tea extracts depending on extraction conditions and the solvent used. **Food Chemistry** 110: 852–858.
- Ryer, A.D. 1997. **Light Measurement Tutorial** [Online]. ແຫ່ງທີ່ນາ <http://www.intl-lighttech.com/support/what-is-light-chapter-1-light-measurement-tutorial> (12 September 2013).
- Sagliano, F.S. and E.A. Sagliano. Method for growing and preserving wheatgrass nutrients and products thereof. **United States Patent 5,820916**. 13 October 1998.
- Sales, J. M. and A. V. A. Resurreccion. 2010. Phenolic profile, antioxidants, and sensory acceptance of bioactive-enhanced peanuts using ultrasound and UV. **Food Chemistry** 122: 795-803.

- Salleh-Mack, S. Z. and J. S. Roberts. 2007. Ultrasound pasteurization: The effects of temperature, soluble solids, organic acids and pH on the inactivation of *Escherichia coli* ATCC 25922. **Ultrasonics Sonochemistry** 14: 323–329.
- Scalzoa, R. L., T. Iannocaria, C. Summaa, R. Morellib and P. Rapisardac. 2004. Effect of thermal treatment on antioxidant and antiradical activity of blood orange juice. **Food Chemistry.** 85(1): 41-47.
- Schnabel, C. 1940. We're harvesting our crops too late! **Magazine Digest.** November, 1940.
- Seeram, N. P., S. M. Henning, Y. Niu, R. Lee, H. S. Scheuller and D. Heber. 2006. Catechins and Caffeine Content of Green Tea Dietary Supplements and Correlation with Antioxidant Capacity. **Journal of Agricultural and Food Chemistry** 54: 1599-1603.
- Shahidi, F. 1997. Natural Antioxidant: Chemistry, Health Effects and Applications. Illinois. **AOCS Press.**
- Shama, G. 2006. Ultraviolet light. pp. 122 In Y. H. Hui, (Ed.), **Handbook of Food Science Technology and Engineering**, vol. 3. CRC/Taylor and Francis, Boca Raton, Florida.
- Shukla, V., M. Vashistha and S. N. Singh. 2009. Evolution of antioxidant profile and activity of analaki (*Emblica Officinalis*) spirulina and wheat grass. **Clinical Biochemistry** 24(1): 70-75.
- Sies, H., W. Stahl and A. Sundquist. 1991. Antioxidant functions of vitamins, vitamin E and C, beta-carotene and other carotenoids. **Annals of the New York Academy of Sciences** 368: 7-19.
- Smith, L. J., A. Kahraman and J. M. Thornton. 2010. Heme proteins-Diversity in structural characteristics, function, and folding. **Proteins** 78: 2349-2368.
- Spigno, G., L. Tramelli, and D. M. De Faveri. 2007. Effect of extraction time, temperature and solvent on concentration and antioxidant activity of grape marc phenolics. **Journal of Food Engineering** 81: 200-208.
- Sthiskumar, R., P. T. V. Lakshmi and A. Annamalai. 2009. Effect of drying treatment on the content of antioxidants in *Enicostemma littorale* Blume. **Medical Plant** 3: 93-101.
- Su, X., J. Duan, Y. Jiang, X. Duan and F. Chen. 2007. Polyphenolic profile and antioxidant activities of oolong tea infusion under various steeping conditions. **Molecular Sciences** 8: 1196-1205.

- Suematsu, S., Y. Hisanobu, H. Saigo, R. Matsuda and Y. Komatsu. 1995. A new extraction procedure for determination of caffeine and catechins in green tea. **Nippon Syokuhin Kagaku Kaishi.** 42: 419-424.
- Suslick, K. S. 1998. Homogeneous sonochemistry. pp. 121-164. In **Ultrasounds, its chemical, physical and biological effects.** K. S. Suslick (eds.). VCH Publishers, Inc. New York.
- Swamy, K. M. and K. L. Narayana, 2001. Intensification of leaching process by dual-frequency ultrasound. **Ultrasonics Sonochemistry** 8: 341-346.
- Tabaraki, R. and A. Nateghi, 2011. Optimization of ultrasound-assisted extraction of natural antioxidants from rice bran using response surface methodology. **Ultrasonics Sonochemistry** 18: 1279-1286.
- Takaoka, T. Food provided for emergencies. **United States Patent 2004/0185163 A1.** 23 September 2004.
- Tiwari, B. K., A. Patras, N. Brunton, P. J. Cullen and C. P. O'Donnell. 2010. Effect of ultrasound processing on anthocyanins and color of red grape juice. **Ultrasonics Sonochemistry** 17: 598-604.
- Tiwari, B. K., C. P. O'Donnell and P. J. Cullen. 2009. Effect of sonication on retention of anthocyanins in blackberry juice. **Journal of Food Engineering** 93: 166-171.
- U.S. Food and Drug Administration, 2000. **J. Food Sci.** 65 (Suppl.).
- Verma, S. and R.S. Dubey. 2003. Lead toxicity induces lipids peroxidation and alters the activities of antioxidant enzyme in growing rice plants. **Plant Science** 164(4): 645-655.
- Vicente, A. R., C. Pineda, L. Lemoine, P. M. Civello, G. A. Martinez and A. R. Chaves. 2005. UV-C treatments reduce decay, retain quality and alleviate chilling injury in pepper. **Postharvest Biology and Technology** 35: 69-78.
- Voest, E. E., G. Vreugdenhil and J. Marx. 1994. Iron-chelating agents in non-iron overload conditions. **Annals of Internal Medicine** 120: 490-499.
- Wang, C. Y., C. T. Chen and S. Y. Wang. 2009. Changes of flavonoid content and antioxidant capacity in blueberries after illumination with UV-C. **Food Chemistry** 117: 426-431.
- Wang, L. F., D. M. Kim and C. Y. Lee. 2000. Effect of heat processing and storage on flavanols and sensory qualities of green tea beverage. **Journal of Agricultural and Food Chemistry** 48(9): 4227-4232.

- Xia, E. Q., X. X. Ai, S. Y. Zang, T. T. Guan, X. R. Xu and H. B. Li. 2011. Ultrasound-assisted extraction of phillyrin from *Forsythia suspensa*. **Ultrasonics Sonochemistry** 18: 549-552.
- Yang, F., T. K. Basu and B. Ooraikul. 2001. Studies on germination conditions and antioxidant contents of wheat grain. **International Journal of Food Sciences and Nutrition** 52(4): 319-330.
- Yokozawa, T., T. Nakagawa and K. Kitani. 2002. Antioxidative Activity of Green Tea Polyphenol in Cholesterol-Fed Rats. **Journal of Agricultural and Food Chemistry** 50: 3549-3552.
- Yoshida, Y., M. Kiso and T. Goto. 1999. Efficiency of the extraction of catechins from green tea. **Analytical, Nutritional and Clinical Methods Section** 67: 429-433.
- Yu, Y. M., W. C. Chang, C. T. Chang, C. T. Hsieh and C. T. Tsai. 2002. Effect of young barley leaf extract and antioxidative vitamins on LDL oxidation and free radical scavenging activities in type 2 diabetes. **Diabetes Metabolism** 28: 107-114.
- Yuan, J. M., C. Sun and L. M. Butler. 2011. Tea and cancer prevention: Epidemiological studies. **Pharmacological Research** 64: 123-135.
- Zaveri, N. T. 2006. Green tea and its polyphenolic catechins: Medicinal uses in cancer and noncancer applications. **Life Sciences** 78: 2073-2080.
- Zhang, A., P. T. Chan, Y. S. Luk, W. K. K. Ho and Z. Y. Chan. 1997a. Inhibitory effect of jasmine green tea epicatechin isomers on LDL-oxidation. **Journal of Nutritional Biochemistry** 8: 334-340.
- Zhang, A., Q. Y. Zhu, Y. S. Luk, K. Y. Ho, K. P. Fung and Z. Y. Chan. 1997b. Inhibitory effects of jasmine green tea epicatechin isomers on free radical-induced lysis of red blood cells. **Life Sciences** 61: 383-394.
- Zhang, H. F., X. H. Yang, L. D. Zhao and Y. Wang. 2009. Ultrasonic-assisted extraction of epimedin C from fresh leaves of *Epimedium* and extraction mechanism. **Innovative Food Science and Emerging Technologies** 10:54-60.
- Zhu, Q. Y., A. Zhang, D. Tsang, Y. Huang and Z. Y. Chen. 1997. Stability of Green Tea Catechins. **Journal of Agricultural and Food Chemistry** 45: 4624-4628.

Zou, T. B., M. Wang, R. Y. Gan and W. H. Ling. 2011. Optimization of Ultrasound-Assisted Extraction of Anthocyanins from Mulberry, Using Response Surface Methodology. **International Journal of Molecular Sciences** 12: 3006-3017.



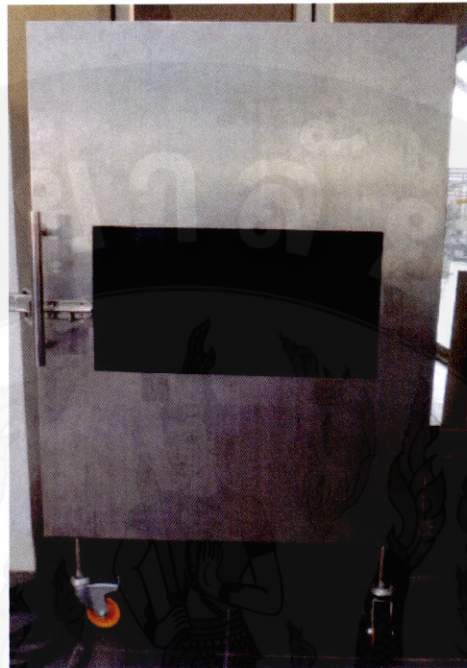




ภาพพนวก 1 กล้าข้าวพันธุ์สูงทัย 1

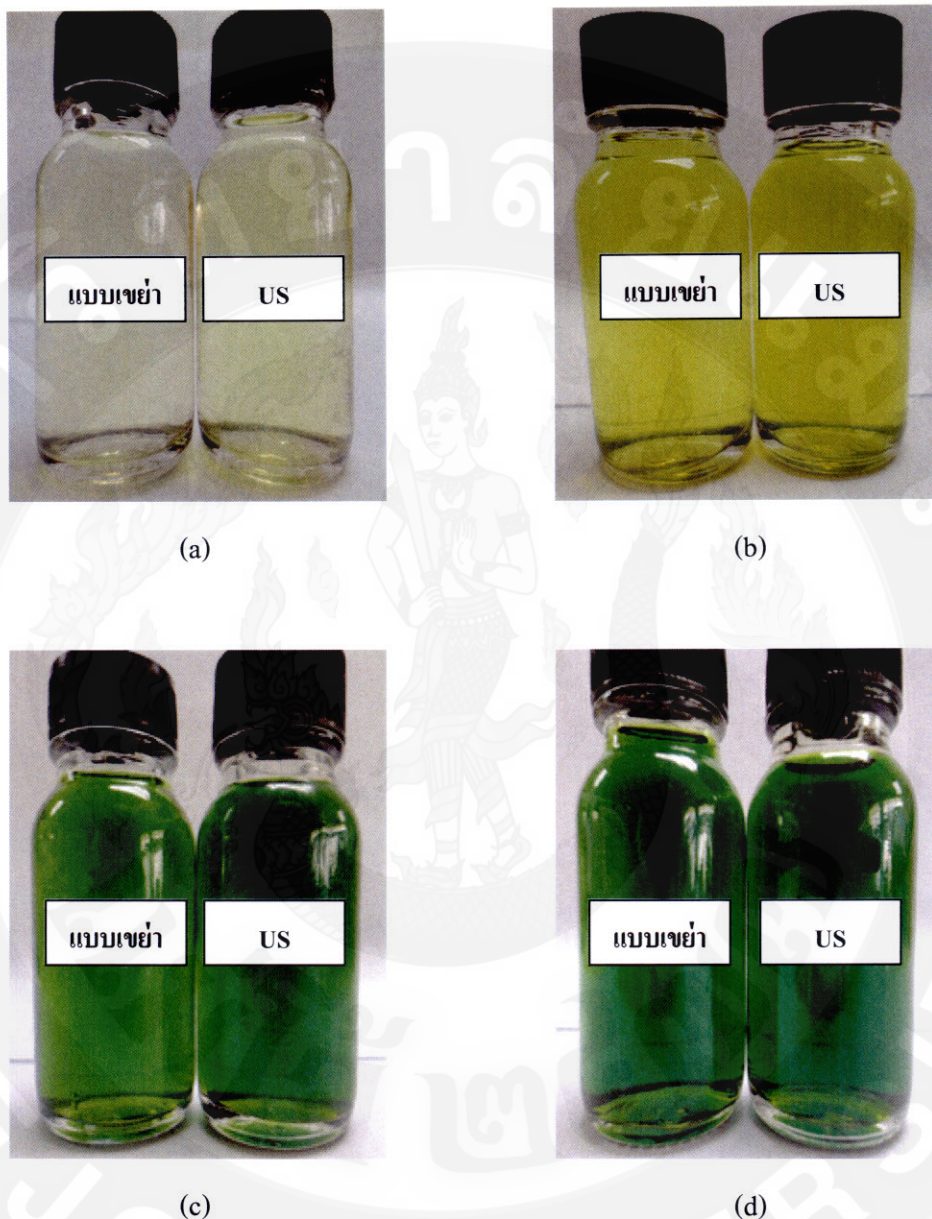


ภาพพนวก 2 เครื่องอัลตร้าโซนิก (SANPA W-113, Japan)



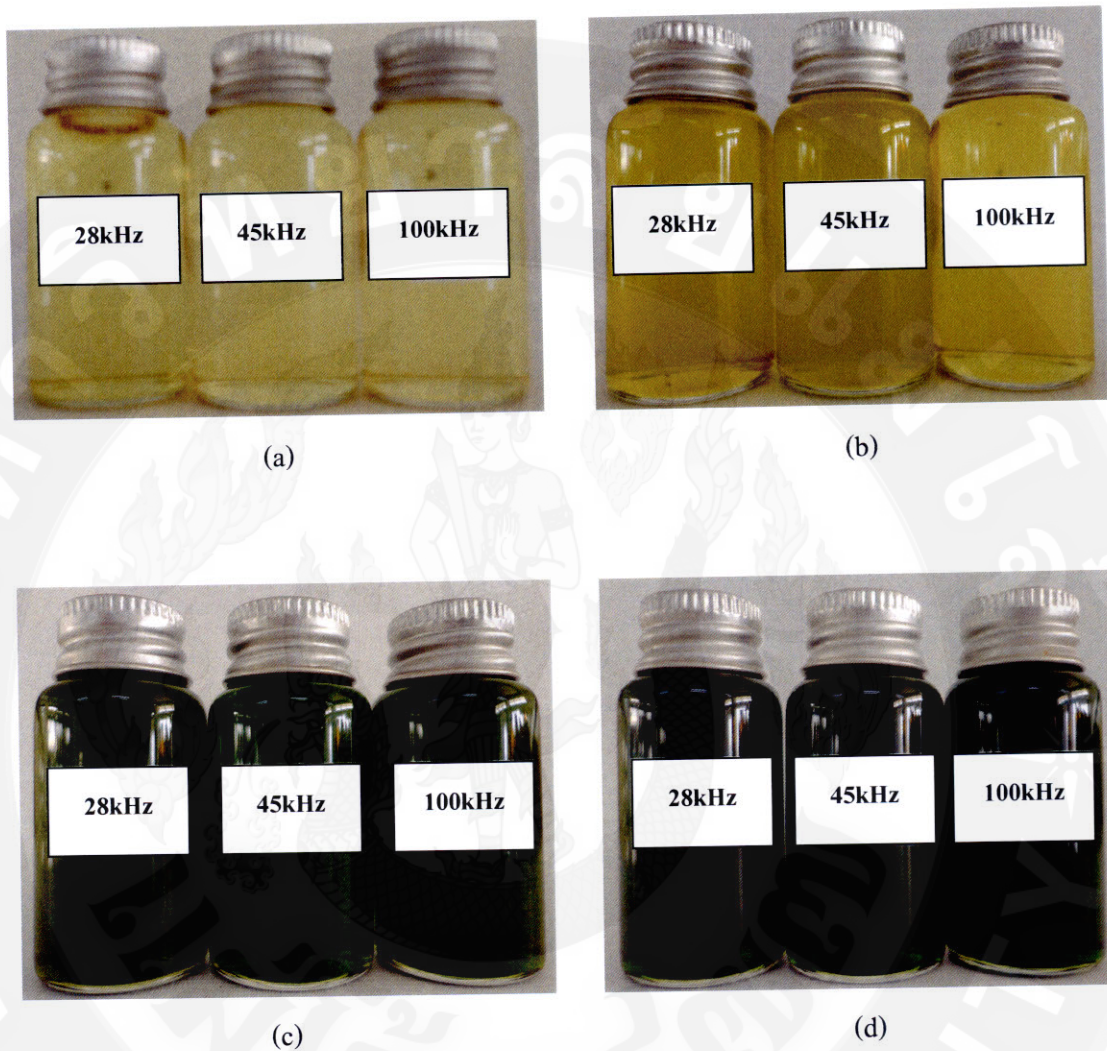
ภาพพนวก 3 ตู้สแตนเลสปิดสนิท ภายในบรรจุหลอดดักตราไวนิล (ultraviolet chamber)



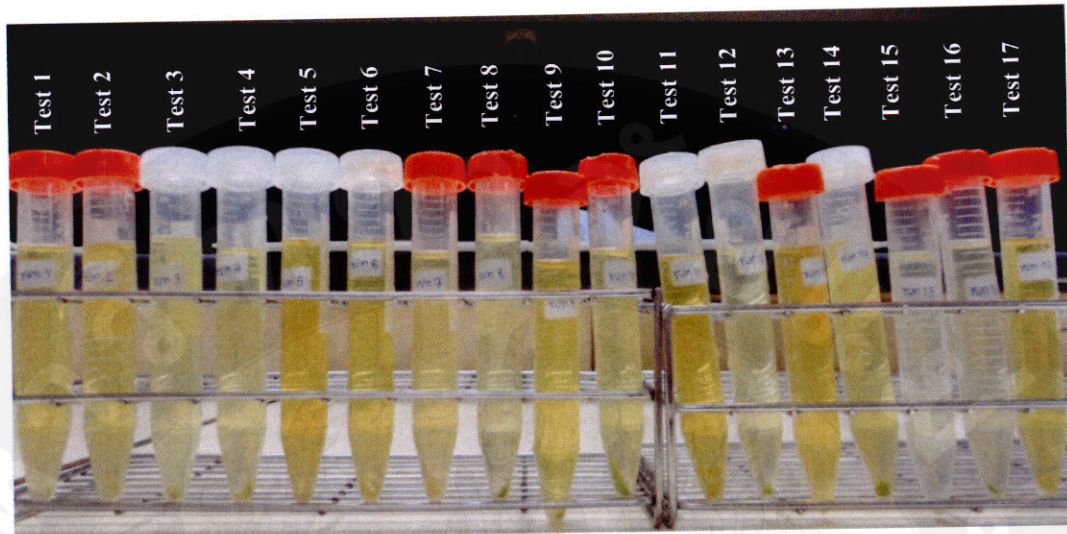


ภาพพนัก 4 สารสกัดจากกล้ามข้าวพันธุ์สุโขทัย 1 ที่ได้จากการสกัดแบบเบี่ยงเทียบกับการใช้คลื่นอัลตร้าโซนิก (a) การสกัดโดยใช้ตัวทำละลายด้วยน้ำ (b) การสกัดโดยใช้ตัวทำละลายด้วยเอทานอล 50% (c) การสกัดโดยใช้ตัวทำละลายด้วยเอทานอล 70% (d) การสกัดโดยใช้ตัวทำละลายด้วยเอทานอล 95%

หมายเหตุ: US = Ultrasonication



ภาพพนวก 5 สารสกัดจากกล้าี้ขาวพันธุ์สูขาวทัย 1 ที่ได้จากการสกัดโดยคลื่นอัลตร้าโซนิก ด้วยความถี่ 3 ระดับ (a) การสกัดโดยใช้ตัวทำละลายด้วยน้ำ (b) การสกัดโดยใช้ตัวทำละลายด้วยเอทานอล 50% (c) การสกัดโดยใช้ตัวทำละลายด้วยเอทานอล 70% (d) การสกัดโดยใช้ตัวทำละลายด้วยเอทานอล 95%



ภาพพนวก 6 สารสกัดจากกล้ามข้าวพันธุ์สูงทัย 1 ที่ได้จากการออกแบบโดยใช้วิธีพื้นผิวนบอนสนอง ด้วยการใช้คลื่นอัลตร้าโซนิกความถี่ต่ำ 28kHz

หมายเหตุ: Test 1 = 81°C, 37.50 min

Test 3 = 64°C, 10.00 min

Test 5 = 98°C, 120.00 min

Test 7 = 81°C, 65.00 min

Test 9 = 98°C, 10.00 min

Test 11 = 64°C, 120.00 min

Test 13 = 98°C, 65.00 min

Test 15 = 30°C, 10.00 min

Test 17 = 64°C, 92.50 min

Test 2 = 81°C, 92.50 min

Test 4 = 64°C, 37.50 min

Test 6 = 64°C, 65.00 min

Test 8 = 30°C, 65.00 min

Test 10 = 47°C, 65.00 min

Test 12 = 47°C, 37.50 min

Test 14 = 47°C, 92.50 min

Test 16 = 30°C, 120.00 min



วิธีการวิเคราะห์สมบัติทางกายภาพและเคมี

1. การวิเคราะห์ปริมาณความชื้น (AOAC, 2005)

นำกระปองอะลูมิเนียมพร้อมฝาไปอบในตู้อบลมร้อน (hot air oven) ยี่ห้อ Termaks รุ่น TS4115 ที่อุณหภูมิ 105 °C 1 ชั่วโมง ทำให้เย็นในโถดูดความชื้นแล้วชั่งน้ำหนัก (W_1) ชั่งตัวอย่าง กล้าข้าวสัดที่ผ่านการตัดให้มีขนาด 0.5-1.0 เซนติเมตร จำนวน 3 กรัม ให้ได้น้ำหนักที่แน่นอน (W_s) ใส่ลงในกระปองอะลูมิเนียม นำไปอบที่อุณหภูมิ 105 °C จนมีน้ำหนักคงที่ (W_2) คำนวณหาปริมาณความชื้นจากสมการ

$$\text{ปริมาณความชื้น (\%)} = \frac{(W_2 - W_1) \times 100}{W_s}$$

2. การวัดค่าสี (จิตชนา และคณะ, 2546)

ก่อนการวิเคราะห์ควรอุ่นเครื่องวัดสี (Tri-stimulus colorimeter รุ่น JC801) ประมาณ 30 นาที หลังจากนั้นเลือกแท่นรองให้สัมพันธ์กับขนาดของวัตถุที่วัด วางบนช่องแสงผ่านแล้วปรับมาตรฐานเครื่องวัดสีคือ standard white plate ก่อนการวัดค่าสีของตัวอย่าง ซึ่งการวัดค่าสีระบบ CIE ประกอบด้วยตัวแปรของค่าสี 3 ตัวคือ

1. ค่าสี L* หมายถึง ค่าความสว่างของสี ซึ่งมีค่าจาก 0 คือ สีดำ ถึง 100 คือ สีขาว
2. ค่าสี a* หมายถึง ค่าความเป็นสีเขียวและสีแดง เมื่อ a* มีค่าบวก จะแสดงถึงความเป็นสีแดง และเมื่อ a* มีค่าลบ จะแสดงถึงความเป็นสีเขียว
3. ค่าสี b* หมายถึง ค่าความเป็นสีน้ำเงินและสีเหลือง เมื่อ b* มีค่าบวก จะแสดงถึงความเป็นสีเหลือง และเมื่อ b* มีค่าลบ จะแสดงถึงความเป็นสีน้ำเงิน

3. การวิเคราะห์สมบัติการด้านออกซิเดชัน

3.1 การเตรียมตัวอย่าง

ตัวอย่างสารสักคัตที่ผ่านกรองด้วยกรรดากรองเบอร์ 93 นำมาเก็บไว้ในขวดสีชาขนาด 100 มิลลิลิตร เก็บไว้ที่อุณหภูมิ -20 องศาเซลเซียส เพื่อนำมาวิเคราะห์สมบัติทางเคมี

3.2 วิธี Ferric reducing ability power (FRAP) (ดัดแปลงจาก Benzie and Strain, 1996)

เตรียม working FRAP reagent โดยผสมอะซิเตทบีฟเฟอร์ความเข้มข้น 300 มิลลิโมลาร์ ที่มีค่าความเป็นกรด-ค้าง 25 มิลลิลิตร สารละลาย TPTZ ความเข้มข้น 10 มิลลิโมลาร์ จำนวน 2.5 มิลลิลิตร และสารละลายเพอร์ริโคคลอไรด์ความเข้มข้น 20 มิลลิโมลาร์ จำนวน 2.5 มิลลิลิตร แล้วทดสอบสมบัติการต้านออกซิเดชันของตัวอย่าง โดยผสมตัวอย่างจำนวน 40 ไมโครลิตร ตัวทำละลายของตัวอย่าง 120 ไมโครลิตร และ working FRAP reagent 1.2 มิลลิลิตร หลังจากนั้น 4 นาที วัดค่าการดูดกลืนแสงที่ความยาวคลื่น 593 นาโนเมตร โดยใช้เฟอร์รัสซัลเฟต เป็นสารมาตรฐาน

3.3 วิธี ABTS⁺ radical cation decolorization assay (ABTS⁺) (Re et al., 1999)

เตรียม ABTS stock solution โดยใช้สารละลาย ABTS ความเข้มข้น 7 มิลลิโมลาร์ ผสมกับสารละลายโพแทสเซียมเบอร์ซัลเฟตความเข้มข้น 2.45 มิลลิโมลาร์ ในอัตราส่วน 1:0.5 โกล/โกล ตั้งทิ้งไว้ที่อุณหภูมิห้องในที่มีดี เป็นเวลา 12-16 ชั่วโมง จากนั้นทดสอบ ABTS⁺ working solution โดยนำ ABTS stock solution มาเจือจางด้วยน้ำกลั่นและวัดค่าการดูดกลืนแสงที่ความยาวคลื่น 734 นาโนเมตร ให้อยู่ในช่วง 0.7-0.9 นาโนเมตร แล้วทดสอบสมบัติการต้านออกซิเดชันของตัวอย่าง โดยผสมตัวอย่างจำนวน 20 ไมโครลิตร ตัวทำละลายของตัวอย่าง 80 ไมโครลิตร และ ABTS⁺ working solution 2 มิลลิลิตร หลังจากนั้น 3 นาที วัดค่าการดูดกลืนแสงที่ความยาวคลื่น 734 นาโนเมตร โดยใช้ไครอลอกซ์เป็นสารมาตรฐาน

4. การวิเคราะห์ปริมาณสารประกอบพอดิฟินอล (ประพันธ์ และวนทนีย์, 2544)

วิเคราะห์ตัวอย่างสารสกัด โดยผสมตัวอย่างสารสกัด 0.5 มิลลิลิตร น้ำกลั่น 9.5 มิลลิลิตร และ Folin-ciocalteu 0.5 มิลลิลิตร ลงในหลอดทดลองแล้วเขย่าให้เข้ากัน ตั้งทิ้งไว้ที่อุณหภูมิห้องเป็นเวลา 5 นาที จากนั้นเติมสารละลายโซเดียมคาร์บอนเนตความเข้มข้นร้อยละ 10 ลงไป 2 มิลลิลิตร ผสมให้เข้ากันและตั้งทิ้งไว้ที่อุณหภูมิห้องเป็นเวลา 10 นาที แล้วทำการวัดค่าการดูดกลืนแสงที่ความยาวคลื่น 730 นาโนเมตร

5. การวิเคราะห์ปริมาณคลอโรฟิลล์ (ดัดแปลงจาก AOAC Official Method 942.04, 2006)

ตัวอย่างสารสกัด 20 มิลลิลิตร ลงในกรวยแยกผสมกับแคลเซียมคาร์บอนเนต 0.1 กรัม จากนั้นเติมอะซิโตนความเข้มข้นร้อยละ 85 ปริมาตร 25 มิลลิลิตร เขย่าให้เข้ากันเป็นเวลา 2 นาที ตั้งทิ้งไว้ให้เกิดการแยกส่วนของตะกอน นาน 20นาที นำส่วนไส้ที่ได้มารับปริมาตรให้เป็น 250 มิลลิลิตร ด้วยอะซิโตนที่ความเข้มข้นร้อยละ 85 เขย่าให้เข้ากัน จากนั้นนำตัวอย่าง 50 มิลลิลิตร ผสมกับเอ็อกทิลเอทอール 50 มิลลิลิตร เขย่าให้เป็นเนื้อเดียวกัน ทำการสั่นชั้นอิเทอร์ด้วยน้ำกลั่น 20ครั้งๆ ละ 10 มิลลิลิตร ทำการปรับปริมาตรสารสกัดด้วยเอ็อกทิลเอทอール 100 มิลลิลิตร จากนั้นเติมโซเดียม ซัลเฟต 0.5 กรัม แล้วทำการวัดค่าการดูดกลืนแสงที่ความยาวคลื่น 642.5 และ 660 นาโนเมตร นำค่า การดูดกลืนแสงมาคำนวณหาปริมาณคลอโรฟิลล์ตามสมการ

$$\text{ปริมาณคลอโรฟิลล์ทั้งหมด (mg/g)} = 7.12A_{660} + 16.8A_{642.5}$$

หมายเหตุ A หมายถึง ค่าการดูดกลืนแสงที่อ่านได้จากความยาวคลื่น (นาโนเมตร)

6. การวิเคราะห์ปริมาณสารคาเทชินด้วยวิธี HPLC (ดัดแปลงจาก Chen et al., 2001)

6.1 การเตรียมสารสกัด

นำตัวอย่างสารสกัดที่ผ่านการทำแห้งผสมกับตัวทำละลายที่ใช้ในการสกัดแต่ละ ตัวอย่างให้มีความเข้มข้น 20 มิลลิกรัม กรองด้วยกระดาษกรอง Nylon filter membranes (0.45μm) นำสารสกัดที่ได้มานี้วิเคราะห์ด้วยเครื่อง HPLC หลังจากนั้นเก็บรักษาสารสกัดไว้ที่ -20 องศา เชลเซียสเพื่อเก็บไว้วิเคราะห์ต่อไป

6.2 การวิเคราะห์ปริมาณสารคาเทชินด้วยวิธี HPLC

นำสารสกัดที่ได้จากข้อ 6.1 มาทำการวิเคราะห์ด้วยเครื่อง HPLC ยี่ห้อ Agilent LC 1200 Infinity Series ภายใต้สภาวะที่กำหนดดังนี้

6.2.1 คอลัมน์ที่ใช้วิเคราะห์ คือ Zorbax Eclipse XDB-C18 (4.6x150 mm, 5 μm)

6.2.2 ตัวทำละลายเคลื่อนที่ คือ 0.05%H₂SO₄; acetonitrile: ethylacetate

(86:12:2; v/v/v)

ทำการฉีดสารละลายมาตรฐานสารค่าเท친ต่างๆ หรือตัวอย่างสารสกัด 20 ไมโครลิตร เข้าไปในช่องสำหรับฉีดสารตัวอย่างของเครื่องมือ HPLC แล้วทำการชะล้างด้วยตัวทำละลาย เกลือ่นที่ด้วยอัตราเร็วของการไหล 1 มิลลิลิตรต่อนาที วัดค่าการดูดกลืนแสงของสารที่ถูกชะออกมานะ ที่ความยาวคลื่น 280 นาโนเมตร ด้วยเครื่อง UV-VIS detector (SpectraMonitor LC)

6.3 การหาปริมาณของสารค่าเท친

นำค่าพื้นที่ใต้กราฟ (Peak area) ของสารที่ถูกแยกออกมานะในช่วงเวลาเฉพาะมา เทียบกับกราฟมาตรฐานของสารค่าเท친 (EGC, EC, EGCG, GCG และ ECG) แล้วคำนวณหา ปริมาณสารค่าเท친ที่มีอยู่ในสารสกัด (หน่วยเป็นมิลลิกรัมต่อกิโลกรัมของน้ำหนักกล้ามขา)



ประวัติผู้วิจัย

ชื่อ-สกุล	นางสาวนัตรชฎา แก้วเมืองมา
วันเดือนปีเกิด	1 พฤศจิกายน พ.ศ. 2530
ประวัติการศึกษา	พ.ศ. 2552 วท.บ. (วิทยาศาสตร์และเทคโนโลยีอาหาร) มหาวิทยาลัยแม่โจ้ จังหวัดเชียงใหม่
ผลงานทางวิชาการ	พ.ศ. 2557 “Ultrasonic-assisted extraction of polyphenols and chlorophyll contents from rice seedlings (var. Sukhothai 1)” ในการประชุมวิชาการ The 2 nd International Conference Food and Applied Bioscience; February 6-7, 2014 at The Empress Hotel, Chiang Mai, Thailand.
ทุนการศึกษาที่ได้รับ	พ.ศ. 2555 ทุนสนับสนุนการวิจัยจาก บริษัทข้าวธรรมชาติ จำกัด
ประวัติการทำงาน	พ.ศ. 2553 นักวิทยาศาสตร์ ภาควิชาเกษตรศาสตร์ คณะแพทยศาสตร์-ศิริราชพยาบาล มหาวิทยาลัยมหิดล กรุงเทพมหานคร



Ultrasonic-assisted extraction of polyphenols and chlorophyll contents from rice seedlings (*var. Sukhothai 1*)

Supika Kaewmuangma and Suthaya Phimphilai*

Abstract

Ultrasonic-assisted extraction presently is an interest technique for recovering the valuable compounds from the vegetal materials. This study was conducted for comparing a traditional extracting technique (shaking) to an ultrasonic-assisted extraction (28, 45, 100 kHz) on rice seedling (*var. Sukhothai 1*) sample. In combination, solvent effect (water and various concentrations of ethanol) under 50°C 60 min extracting conditions were also investigated. Antioxidant properties, total polyphenol contents as well as chlorophyll contents in the extracts were analyzed. The extracts obtained by higher ethanol concentration are more desirable and that the ultrasonic technology can be potentially used in the extraction process to improve efficiency.

Keyword: rice seedling, polyphenols, antioxidant properties, chlorophyll, extraction

1. Introduction

Seedlings are young plants grown from seeds i.e. wheat, barley, oat, rye, or rice. During germination, these plants degrade any large compounds into smaller ones such as vitamins, minerals, dietary fiber, antioxidants, superoxide dismutase (SOD), fatty acids, amino acids, polyphenols, and chlorophyll (Hattori, 2002). The cereal seedlings are currently found to be excellent sources of vitamin K, folic acid, calcium and protein as well as good sources of vitamin C and vitamin B, which are beneficial to human health. Gallic acid, catechin, rutin and isoquercetin are common polyphenols found in the rice seedling (Phimphilai et al., 2013). As the rice seedlings are perishable, they have been preserved or extracted for maintaining or minimizing any losses of functional qualities (Phimphilai et al., 2012). A traditional extraction method, especially shaking, requires a long period of maceration and extraction (Carrera et al., 2012). Using other extracting-aid procedures has been recently reported.

Ultrasonic-assisted extraction is a methods utilized for recovering the valuable compounds from the vegetal materials (Vilkhu et al., 2008). In 2000, the U.S. Food and Drug Administration (USFDA) released a report on alternative food processing technologies in which several solvents, such as water and ethanol, have been used in several processes including

Faculty of Engineering and Agro-Industry, Maejo University, Chiang Mai 50290, Thailand

*Corresponding author. email: sphimphi@gmail.com

shaking and ultrasonication to recover active compounds from many plant cells (USFDA, 2000). The naturally active compounds are valuable in food applications, food supplements including pharmaceutical products.

This research was aimed to compare efficacies of extraction conditions on total polyphenols, pigments or chlorophyll, as well as antioxidant activities of the particular Thai rice seedling extracts.

2. Materials and Methods

2.1 Chemicals and solvents

All chemicals used in this study were of analytical grade. Distilled water as well as ethanol solution with concentrations of 95%, 70% and 50% (v/v) were used as extraction solvents.

2.2 Raw materials

Rice seedlings (var. *Sukhothai 1*) were provided by Natural Rice Co., Ltd. (Sukhothai, Thailand). An optimum age of rice seedling is 12-15 days after germination. The seedlings were freshly cut and stored at -20°C under vacuum condition until studied. In preparation, the seedlings were thoroughly water-rinsed, drained and cut into pieces (0.5 -1.0 cm) prior to an extraction step.

2.3 Extraction methods

Three grams each of rice seedling was mixed with 50 mL of extracting solvent; water, 95% ethanol (v/v), 70% ethanol (v/v) and 50% ethanol (v/v), in Erlenmeyer flasks. All the extractions were carried out at 50°C for 60 min using a shaker bath at 120 rpm (Zhang et al., 2009) or an ultrasonic bath (Honda, Japan) with frequencies of 28 kHz, 45 kHz and 100 kHz. All sample extracts then were collected into small vials and stored under -20°C for 24 hours prior to analyses.

2.4 Analysis of antioxidant activity (AOA)

2.4.1 2,2'-azino-bis (3-ethylbenzothiazoline-6-sulfonic acid) (ABTS⁺) assay

Radical scavenging activity determination was modified from the method described by Re and colleagues (1999). Sample solution was diluted before measured an absorbance at 730 nm using UV-VIS spectrophotometer (Perkin Elmer, Germany). Trolox solution was used to

create a standard curve and the activity was reported as trolox equivalent antioxidant capacity (mg) in 1 g dry sample (mg TEAC/1g DM).

2.4.2 Ferric reducing antioxidant power (FRAP) assay

Ferric reducing antioxidant power (FRAP) assay was conducted using the method described by Benzie and Strain (1996) with some modifications. The absorbance was measured at 593 nm and FeSO₄ solution was used to create a standard curve. A result was expressed as FeSO₄ equivalent (mg) in 1 g dry sample.

2.5 Total polyphenol content (TPC)

Total polyphenol content (TPC) was determined using the method described by Pinsirodom and Changnoi (2001) with some modifications. To create a standard curve, gallic acid solution was used and the absorbance was measured at 734 nm. Each result was reported as gallic acid equivalent (mg) in 1 g dry sample (mg GAE/1g DM).

2.6 Chlorophyll content

Chlorophyll contents were determined using the method described by AOAC Official Method 942.04 (2006). Acetone was firstly used in chlorophyll extraction and diethyl ether was applied to purify the sample. After adjusting to a certain volume, absorbances were measured at 642.5 and 660 nm. and reported as total chlorophyll contents.

2.7 Statistical analysis

A completely randomized design (CRD) was applied to this experiment. The data were analyzed using ANOVA (SPSS version 16.0) and mean comparisons were conducted by Duncan's new multiple range test. Any significant differences were defined at $p \leq 0.05$.

3. Results and Discussion

3.1 Antioxidant activities

Both extracting factors; method and solvent, significantly showed differences on antioxidant activities in rice seedling extracts where ABTS^{•+} and FRAP were observed (Table 1). Ultrasonication with all extracting solvents significantly facilitated the rice seedling antioxidant extraction (ABTS^{•+}) comparing to the shaking method. However, water-soluble antioxidants with ferric-reducing ability were not much different among the extracting devices. Combination of 28kHz or 45kHz ultrasonication with 95% ethanol resulted in the highest antioxidation activities

(ABTS⁺) of rice seedling extract with the activities equivalent to 31.60mg trolox per gram of the seedling (dry basis). However, lower antioxidant activities were found in all samples extracted with a 100kHz ultrasonic comparing to other lower frequencies. It has been stated in a literature that cavitation yield from ultrasonic decreases as frequency increases. The cavitation bubbles, therefore, tend to be smaller and less energetic resulting in a reduction yield (Kirpalani and McQuinn, 2006).

Table 1. Effect of extracting method and solvent on antioxidant properties of rice seedling extracts.

Antioxidantactivities (AOA)	Method	Solvent			
		Water	50%Ethanol	70%Ethanol	95%Ethanol
ABTS ⁺ (mgTrolox equiv. perg sample, db.)	Shaker	12.93±0.38 ^{dZ}	16.73±0.56 ^{cZ}	19.10±1.65 ^{bXY}	20.55±1.33 ^{aX}
	US 28kHz	22.38±0.25 ^{dW}	26.66±0.07 ^{bW}	24.01±0.04 ^{cW}	31.60±0.07 ^{aW}
	US 45kHz	19.41±0.06 ^{dx}	25.52±0.02 ^{bX}	21.42±0.04 ^{cWX}	28.68±0.02 ^{aW}
	US 100kHz	17.66±0.04 ^{dy}	23.82±0.09 ^{bY}	19.51±0.03 ^{cY}	26.22±0.10 ^{aX}
FRAP (mgFeSO ₄ equiv. perg sample, db.)	Shaker	7.84 ±0.15 ^{dW}	11.92±1.26 ^{cY}	15.78±2.70 ^{bX}	23.06±1.08 ^{aY}
	US 28kHz	7.76 ±0.12 ^{dx}	19.78±0.47 ^{cW}	19.97±0.79 ^{bW}	27.77±0.71 ^{aX}
	US 45kHz	7.78 ±0.31 ^{dwx}	18.79±0.07 ^{bX}	13.60±0.11 ^{cY}	31.04±0.27 ^{aW}
	US 100kHz	6.96 ±0.44 ^{dy}	18.17±0.70 ^{cX}	21.03±0.51 ^{bW}	29.93±0.64 ^{aWX}

Data are expressed as mean ± SD(n=6).

^{a-d} Values in each row with different letters are significantly different(p<0.05).

^{w-z} Values in each column of each analytical property with different letters are significantly different (p<0.05).

US = Ultrasonication.

From the study, it was revealed that antioxidant compounds in the rice seedling were both in hydrophilic and hydrophobic parts, but likely to have more composition in ethanol-soluble compounds. High concentration of ethanol (95%), therefore, could be used to obtain the highest antioxidant-activity extract from the particular rice seedling.

In 2013, Oliveira and colleagues reported similar results, which were expressed as passion fruit oil extract to solvent ratio, where ethanol was the most efficient solvent. However, the appropriate solvent was selected based upon the economic considerations. Type of solvent is one of the factors generally investigated during the extraction and ethanol was commonly used as a solvent to recover the plant compounds in a conventional method (Hayouni et al., 2007).

3.2 Total polyphenol contents(TPC)

Total polyphenols in the seedling extracts were reported as gallic acid equality (Table 2). Traditional shaking with ethanol combination showed slight increment in total polyphenol contents ($p<0.05$) of the extracts. However, application of ultrasonic wave with ethanol significantly increased amounts of the particular compounds. This study indicated that high concentration of ethanol (95%) could be used to achieve higher total polyphenol contents in the extract with 28kHz, 45kHz, or 100kHz ultrasonic-assisted devices. The ultrasonic frequencies used in this study showed smaller effects on the extracted compounds than that of the solvent factor.

Table 2. Effects of extracting method and solvent on total polyphenol contents (TPC) of rice seedling extracts.

Analyses	Method	Solvent			
		Water	50%Ethanol	70%Ethanol	95%Ethanol
Total polyphenol contents (mggallic acid equiv./g sample, db.)	Shaker	6.17±0.04 ^{dW}	6.61±0.32 ^{cZ}	6.79±0.71 ^{bX}	6.96±0.08 ^{aX}
	US 28kHz	5.88±0.11 ^{dX}	8.82±0.09 ^{cY}	9.51±0.02 ^{bWX}	10.49±0.27 ^{aW}
	US 45kHz	5.22±0.04 ^{dY}	9.99±0.18 ^{aW}	6.98±0.10 ^{cX}	9.17±0.14 ^{bWX}
	US 100kHz	5.34±0.42 ^{dY}	9.30±0.09 ^{cX}	9.56±0.19 ^{bW}	9.00±0.11 ^{aW}

Data are expressed as the mean±SD($n=6$).

^{a-d} Values in each row with different letters are significantly different($p<0.05$).

^{w-z} Values in each column of each analytical property with different letters are significantly different ($p<0.05$).

US = Ultrasonication

Among the studied factors, higher amplitude of ultrasound or ultrasonic could damage more cell wall, then releasing more antioxidants including phenolic compounds to the solvents (Hossain et al., 2012). Ultrasonic extraction could increase the solubility of target compounds as well as their diffusion rate and mass transfer of solvent while decreasing the viscosity and surface tension of solvent. Effect of different ethanol concentrations on plant extracts was previously examined (Spigno et al., 2007). In fact, ethanol could effectively recover tannins and bioactive compounds from raw plant materials, but solubility of these compounds was enhanced by a mixed solvent over a limited compositional range (Cacace and Mazza, 2003).

3.3 Chlorophyll contents

Results for chlorophyll analysis (Table 3) in the rice seedling extract showed that both extracting method and solvent have significant effects on their chlorophyll contents ($p<0.05$). Within each ultrasonic frequency, the stronger ethanol solvent applied, the higher chlorophyll contents were extracted. Maximum total chlorophyll contents were found in 95% ethanol with 100kHz ultrasonic-assisted extraction ($p<0.05$) at 50°C for 60 min extracting time.

Table 3. Effects of extracting method and solvent on chlorophyll contents of rice seedling extracts.

Analyses	Method	Solvent			
		Water	50%Ethanol	70%Ethanol	95%Ethanol
Chlorophyll (mg/100g)	Shaker	3.37±0.39 ^{dx}	5.33±0.14 ^{cy}	81.49±5.96 ^{bz}	197.30±17.87 ^{az}
	US 28kHz	1.75±0.46 ^{dy}	4.81±0.22 ^{cy}	233.88±1.31 ^{bw}	270.28±4.68 ^{ax}
	US 45kHz	5.02±0.53 ^{dW}	28.48±1.12 ^{cW}	203.71±11.16 ^{bx}	237.10±4.04 ^{ay}
	US 100kHz	6.22±2.10 ^{dW}	14.45±0.62 ^{cx}	187.18±0.35 ^{by}	430.30±1.64 ^{aw}

Data are expressed as the mean±SD($n=6$).

^{a-d} Values in each row with different letters are significantly different($p<0.05$).

^{x-z} Values in each column with different letters are significantly different ($p<0.05$).

US = Ultrasonication

Ultrasonic waves promote the extraction through the interaction of waves with organic molecules that are presented in a particular sample. As a result, cell walls are broken and bioactive compounds are released (Oliveira et al., 2013). Besides, an appropriate solvent composition for bioactive recovery is the first critical step to be examined as differing solvents generally result in varying quality and quantity of extract compositions. In this study, water and different concentrations of ethanol were evaluated for the most suitable solvent composition for the rice seedling extractable compounds. Results indicated that the extraction efficiency, which is characterized by total polyphenol contents and chlorophyll contents, was increased with higher concentration of ethanol. Ethyl alcohol is a solvent with less polar than water. As a result, polyphenols and chlorophyll, of which non polar compounds mainly comprised, could be highly extracted from the rice seedling using the particular solvent. On the other hands, more hydroxyl group or more polar compound was more extractable in methanol and water than that in n-butanol and ethanol. Phillyrinin *Forsythia suspensa* was an example (Xia et al., 2011).

A combination of ultrasonic method and 95% ethanol showed the highest extraction efficiency among all examined conditions, suggesting that the ultrasonic vibration has either increased a number of ruptured cells and/or provided the faster access for a solvent to remove solutes from these cells. On the other hand the compounds are more accessible for an extraction solvent so that the external and internal mass diffusivities increase. Therefore, the extraction time and the ratio of solvent to sample were reduced dramatically for the same amount of extract (Chen et al., 2007).

Application of ultrasonication in ambient fluids is well known to cause cavitations in the samples, which were the same in plant materials (Chen et al., 2007). Cavitation refers to the formation, growth and violent collapse of micro-bubbles in the sonication liquid due to pressure fluctuations. Moreover, the type of solvent can play an important role in extracting antioxidant compounds and polyphenol from the complex samples.

4. Conclusion

Extraction method and solvent significantly affect the composition of rice seedling extract. Ethanol and water are effective for recovering antioxidant compounds and polyphenol, yielding extracts with high antioxidant activities as well as total polyphenol and chlorophyll contents. It can be concluded that the extracts obtained by higher ethanol concentration are more desirable and that the ultrasonic technology can be potentially used in the extraction process to improve efficiency. This study will be applied for the large-scale industrial processing and preparation of natural extracts rich in antioxidant compounds.

Acknowledgements

The authors would give their appreciations to Natural Rice Co., Ltd. for providing raw materials and apart of research funding.

References

- AOAC. 2006. Official Methods of Analysis of AOAC International. 18th ed. Gaithersburg, MD: The Association of Analytical Chemists.
- Benzie, I.F.F. and Strain, J.J. 1996. The ferric reducing ability of plasma (FRAP) as a measure of "antioxidant power": the FRAP assay. *Analytical Biochemistry*. 239(1): 70-76.
- Cacace, J. E. and Mazza, G. 2003. Optimization of extraction of anthocyanins from black currants with aqueous ethanol. *Journal of Food Science*. 68(1): 240-248.

- Carrera, C., Ruiz-Rodriguez, A., Palma, M. and Barroso, C. G. 2012. Ultrasound assisted extraction of phenolic compounds from grapes. *Analytica Chimica Acta.* 732: 100-104.
- Chen, F., Sun, Y., Zhao, G., Liao, X., Hu, X., Wu, J. and Wang, Z. (2007). Optimization of ultrasound-assisted extraction of anthocyanins in red raspberries and identification of anthocyanins in extract using high-performance liquid chromatography-mass spectrometry. *Ultrasonics Sonochemistry.* 14: 767-778.
- Hattori, T., inventor. 2002. Young leaves of grass plant. U.S. Patent no. 6,379,717 B1. April 30, 2002.
- Hayouni, E. A., Abedrabba, M., Bouix, M. and Hamdi, M. 2007. The effects of solvents and extraction method on the phenolic contents and biological activities in vitro of Tunisian *Quercuscoccifera* L. and *Juniperusphoenicea* L. fruit extracts. *Food Chemistry.* 105: 1126-1134.
- Hossain, M. B., Brunton, N. P., Patras, A., Tiwari, B., O'Donnell, C. P., Martin-Diana, A. B. and Barry-Ryan, C. 2012. Optimization of ultrasound assisted extraction of antioxidant compounds from marjoram (*Origanum majorana* L.) using response surface methodology. *Ultrasonics Sonochemistry.* 19: 582-590.
- Kirpalani, D. M. and McQuinn K. J. 2006. Experimental quantification of cavitation yield revisited: focus on high frequency ultrasound reactors. *Ultrasonics Sonochemistry.* 13: 1-5.
- Oliveira, R. C. D., Barros, S. T. D. and Gimenes, M. L. (2013). The extraction of passion fruit oil with green solvents. *Journal of Food Engineering.* 117: 458-463.
- Phimphilai, S., Teerawutgulrag, A., Phimphilai, K., Klinkajorn, P., Kapkum N., Thongboon, J., Kantima, S. and Charoenrath, S. 2012. Process development on dried Thai rice grass for making beverage. In Proceeding of the 2nd National Rice Conference. December 21-23, 2012. Swissotel Le Concorde Hotel, Bangkok, Thailand. (In Thai).
- Phimphilai, S., Topoonyanont, N., Srichairatanakool, S., Wangcharoen, W., Teerawutgulrag, A., Poonnoy P. and Charoenrath S. 2013. "Research and development of rice grass products for Thalassemia patients", Final report, 2013, National Research Council of Thailand, Bangkok, Thailand.
- Pinsirodom, P., and Changnoi, W. 2001. Comparison of total polyphenol content and antioxidant potential of extracts obtained from seeds of different citrus fruits cultivated in Thailand. *Food.* 34(4): 300-307.

- Re, R., Pellegrini, N., Proteggente, A., Pannala, A., Yang, M. and Rice-Evans, C. 1999. Antioxidation activity applying an improved ABTS radical cation decolorization assay. *Free Radical Biology and Medicine*. 26(9-10): 1231-1237.
- Spigno, G., Tramelli, L. and De Faveri, D. M. (2007). Effect of extraction time, temperature and solvent on concentration and antioxidant activity of grape marc phenolics. *Journal of Food Engineering*. 81: 200-208.
- U.S. Food and Drug Administration, 2000. *J. Food Sci.* 65 (Suppl.).
- Vilkhu, K., Mawson, R., Simons, L. and Bates, D. 2008. Applications and opportunities for ultrasound assisted extraction in the food industry-A review. *Innovative Food Science and Emerging Technologies*. 9: 161-169.
- Xia, E. Q., Ai, X. X., Zang, S. Y., Guan, T. T., Xu, X. R. and Li, H.B. 2011. Ultrasound-assisted extraction of phillyrin from *Forsythiasuspensa*. *Ultrasonics Sonochemistry*. 18: 549-552.
- Zhang, H. F., Yang, H., X., Zhao, L. D. and Wang Y. 2009. Ultrasonic-assisted extraction of epimedin C from fresh leaves of *Epimedium* and extraction mechanism. *Innovative Food Science and Emerging Technologies*. 10: 54-60.